

# Algorithmen zur Visualisierung von Graphen

Teile & Herrsche-Algorithmen:  
Bäume und serien-parallele Graphen

Vorlesung im Wintersemester 2012/2013

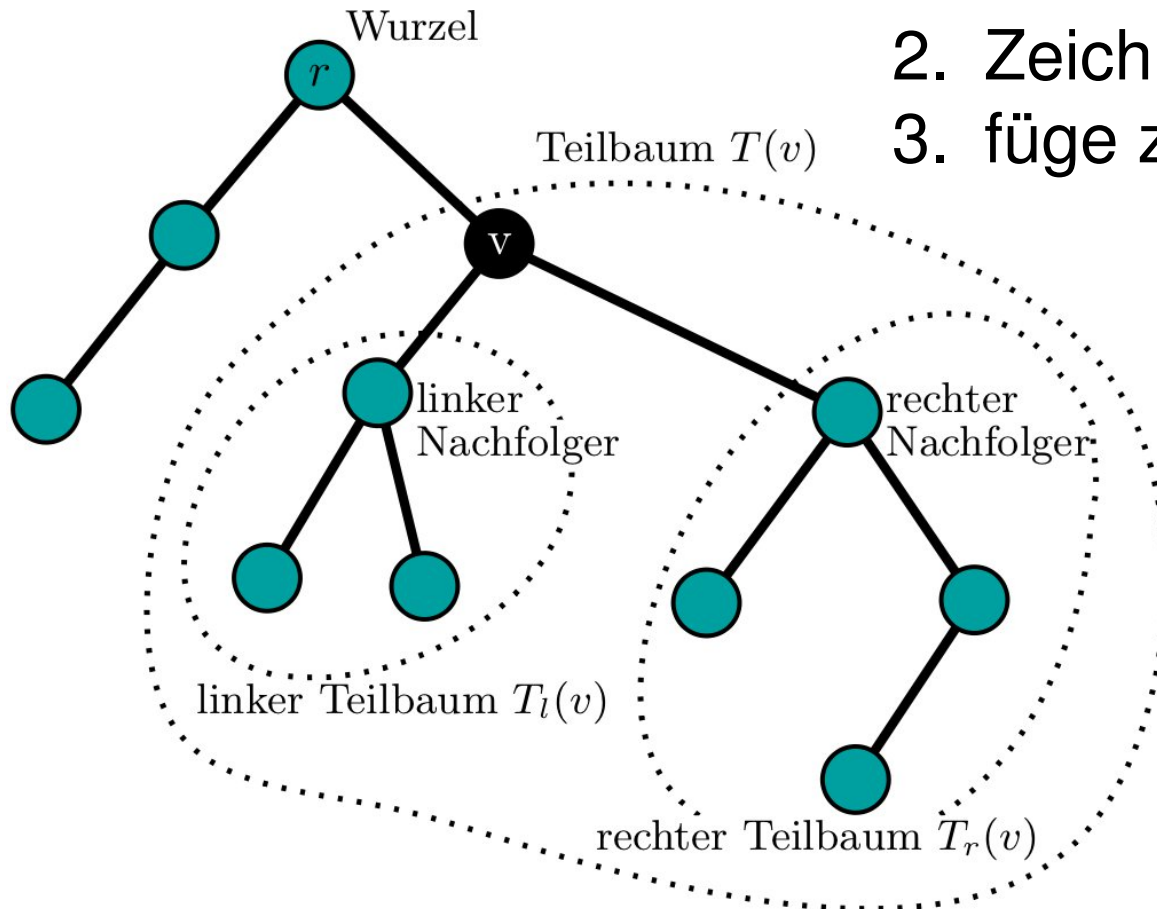
Tamara Mchedlidze – Martin Nöllenburg – Ignaz Rutter

23. Oktober 2012

# Algorithmen zum Zeichnen von Bäumen

Gut bei induktiv oder rekursiv definierten Familien von Graphen

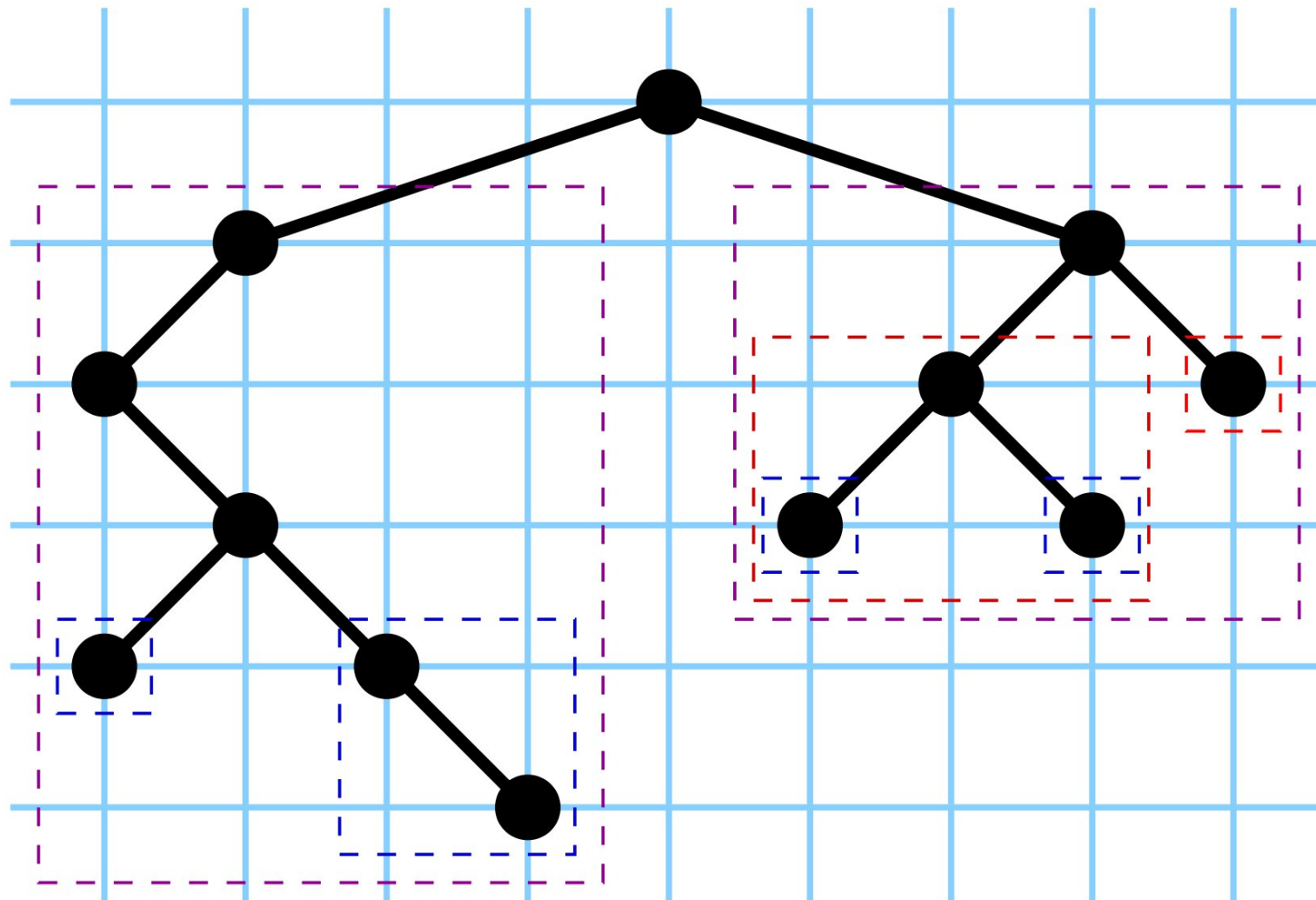
Binärbaum mit Wurzel:



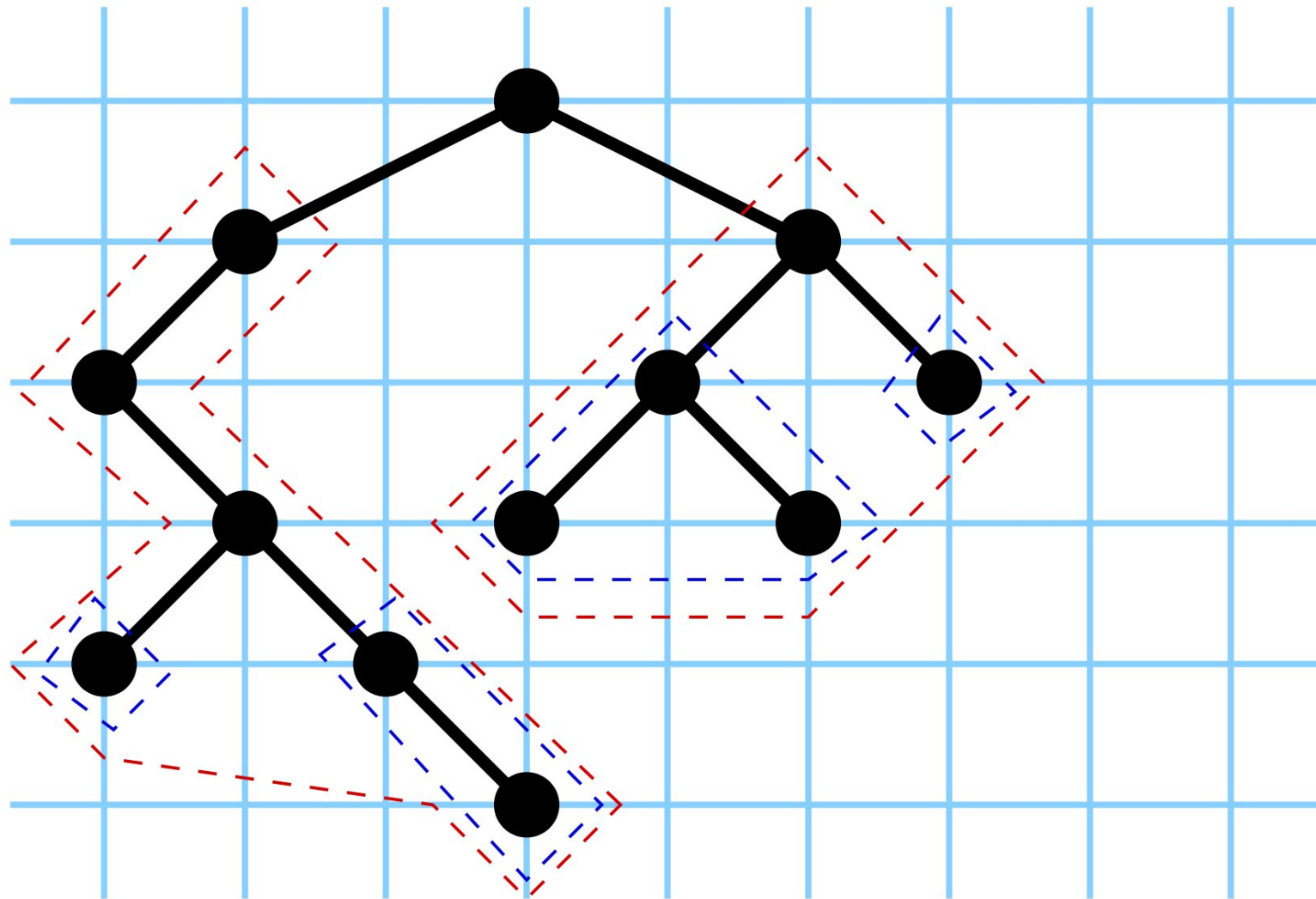
1. Zeichne linken Teilbaum
2. Zeichne rechten Teilbaum
3. füge zusammen + Wurzel

- $\text{tiefe}(v)$ : Abstand zur Wurzel
- Durchlaufreihenfolgen
  - preorder
  - inorder
  - postorder

# Algorithmus von Reingold und Tilford ('81)



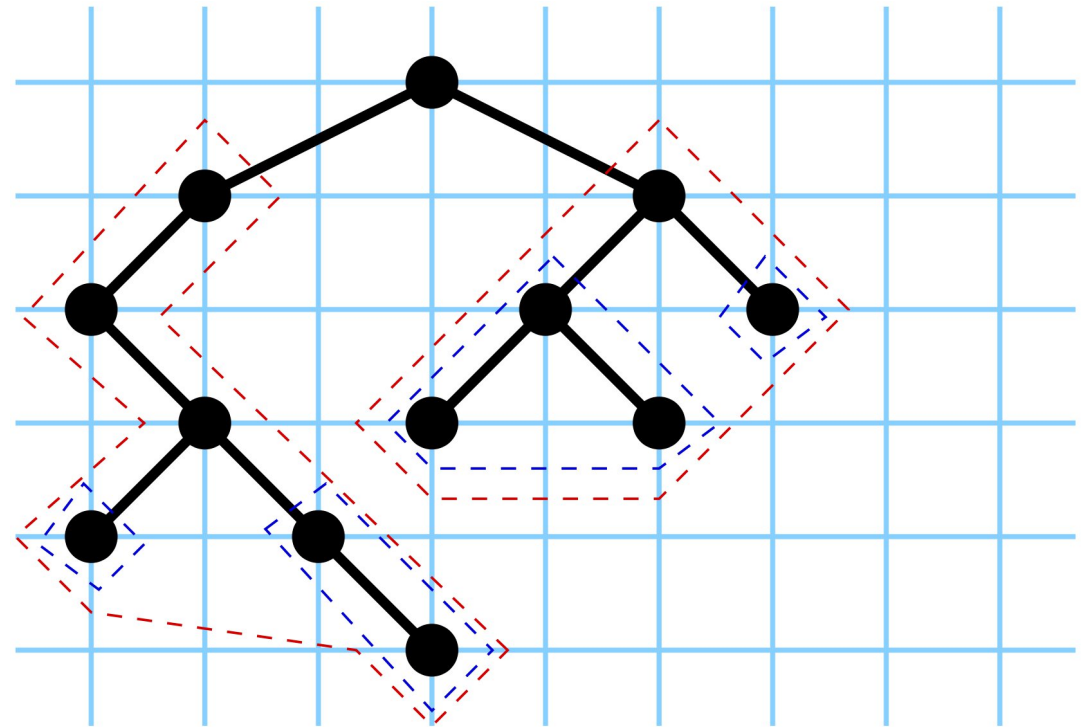
# Algorithmus von Reingold und Tilford ('81)



# Algorithmus von Reingold und Tilford ('81)

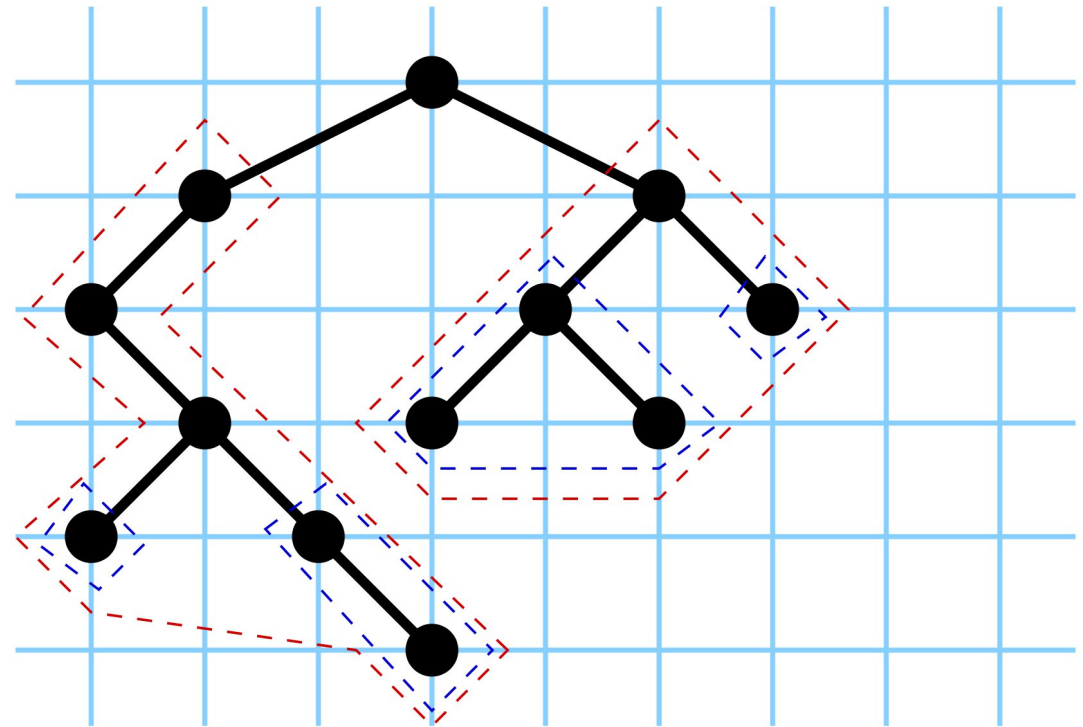
2 Phasen:

1. postorder (bottom-up):  
Konturen und x-Offsets  
zum Vorgänger einsam-  
meln
2. preorder (top-down): ab-  
solute Koordinaten aus-  
rechnen



2 Phasen:

1. postorder (bottom-up):  
Konturen und x-Offsets  
zum Vorgänger einsam-  
meln
2. preorder (top-down): ab-  
solute Koordinaten aus-  
rechnen



Kontur: verkettete Liste von Knoten (-Koordinaten)

## Phase 1:

1. Bearbeite  $T_\ell(v)$  und  $T_r(v)$
2. Laufe parallel linke Kontur von  $T_r(v)$  und rechte Kontur von  $T_\ell(v)$  ab
3. Bestimmt daraus  $d_v$ , den horizontalen Minimalabstand von  $v_\ell$  und  $v_r$
4.  $x\text{-Offset}(v_\ell) = -\lceil \frac{d_v}{2} \rceil$ ,  $x\text{-Offset}(v_r) = \lceil \frac{d_v}{2} \rceil$
5. Baue linke Kontur von  $T_v$  aus:  $v$ , linke Kontur von  $T_\ell(v)$  und evtl. überhängendes Teilstück von linker Kontur von  $T_r(v)$
6. Rechte Kontur analog



## Phase 2

1. Setze  $y$ -Koordinate  $y(v) = -\text{tiefe}(v)$
2. Setze  $x(v) = 0$  für Wurzel und rekursiv die  $x$ -Koordinate  $x(v_\ell)$  und  $x(v_r)$  der Nachfolger von  $v$  auf  $x(v) + x\text{-Offset}(x(v_\ell))$  bzw.  $x(v) + x\text{-Offset}(x(v_r))$

Zusammenfassung:

Algorithmus berechnet **Binärbaumlayout**:

- geradliniges Gitterlayout
- tiefengeschichtet, kreuzungsfrei
- Knoten derselben Tiefe haben Abstand  $\geq 2$
- Knoten sind über Nachfolgern zentriert
- linke/rechte Nachfolger sind strikt links/rechts
- identische Teilbäume gleich gezeichnet

## Satz (Supowit, Reingold)

Die Breitenminimierung von Binärbaumlayouts ist NP-schwer

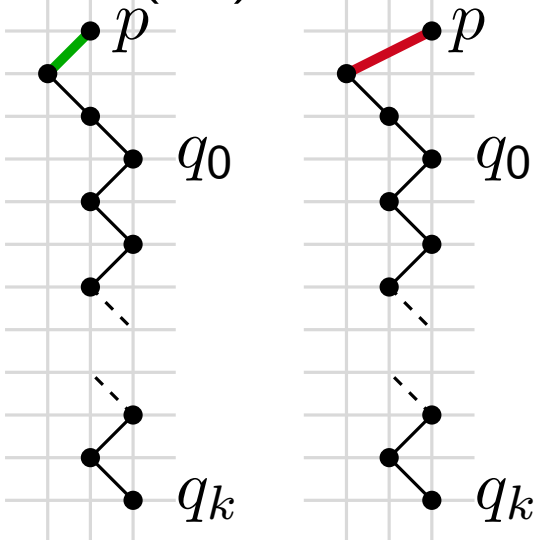
Beweis: Reduktion von 3SAT

$$F = C_1 \wedge \dots \wedge C_m,$$

$$C_i = y_{i,1} \vee y_{i,2} \vee y_{i,3}, \quad y_{i,j} \in \{x_1, \dots, x_n, \overline{x_1}, \dots, \overline{x_n}\}$$

Konstruiere Baum  $T(F)$ , der genau dann Layout mit Breite  $W \leq 24$  hat, wenn  $F$  erfüllbar ist.

Baum  $T(x_k)$  für Var.  $x_k$  :



## Satz (Supowit, Reingold)

Die Breitenminimierung von Binärbaumlayouts ist NP-schwer

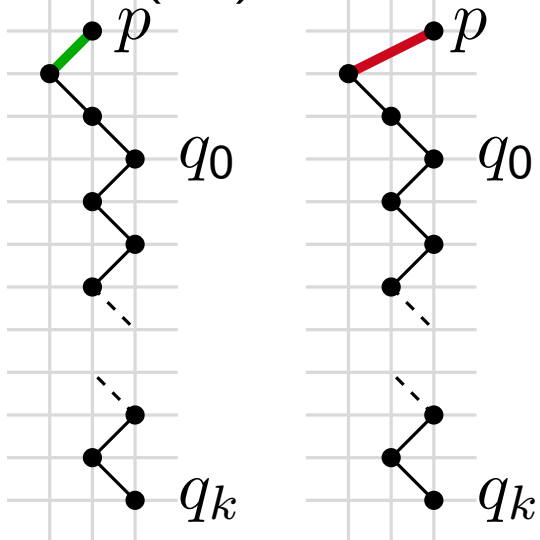
Beweis: Reduktion von 3SAT

$$F = C_1 \wedge \dots \wedge C_m,$$

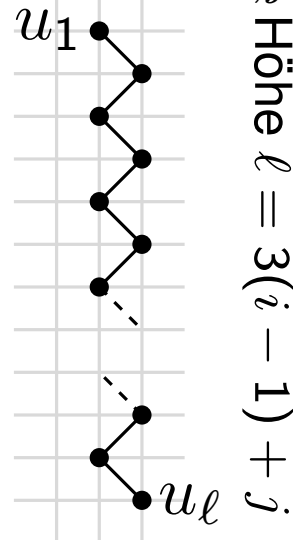
$$C_i = y_{i,1} \vee y_{i,2} \vee y_{i,3}, \quad y_{i,j} \in \{x_1, \dots, x_n, \overline{x_1}, \dots, \overline{x_n}\}$$

Konstruiere Baum  $T(F)$ , der genau dann Layout mit Breite  $W \leq 24$  hat, wenn  $F$  erfüllbar ist.

Baum  $T(x_k)$  für Var.  $x_k$  :



Baum  $T_{i,j}$



## Satz (Supowit, Reingold)

Die Breitenminimierung von Binärbaumlayouts ist NP-schwer

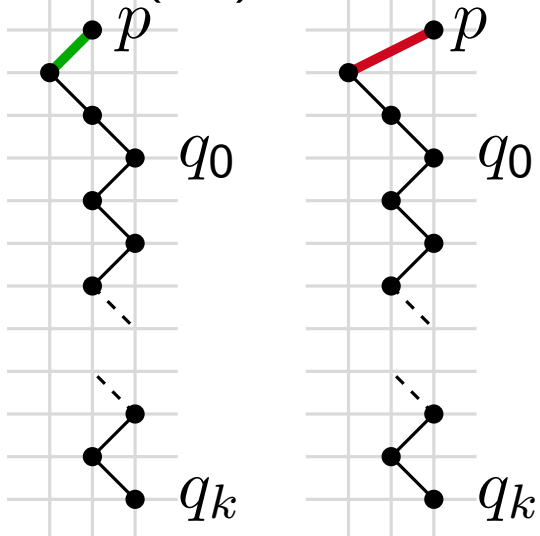
Beweis: Reduktion von 3SAT

$$F = C_1 \wedge \dots \wedge C_m,$$

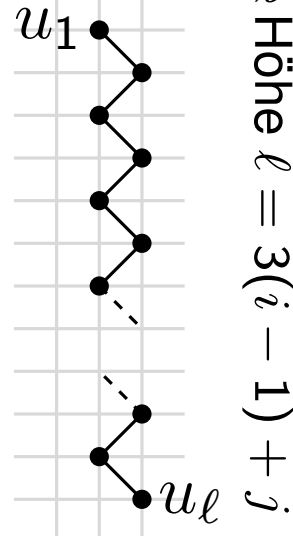
$$C_i = y_{i,1} \vee y_{i,2} \vee y_{i,3}, \quad y_{i,j} \in \{x_1, \dots, x_n, \overline{x_1}, \dots, \overline{x_n}\}$$

Konstruiere Baum  $T(F)$ , der genau dann Layout mit Breite  $W \leq 24$  hat, wenn  $F$  erfüllbar ist.

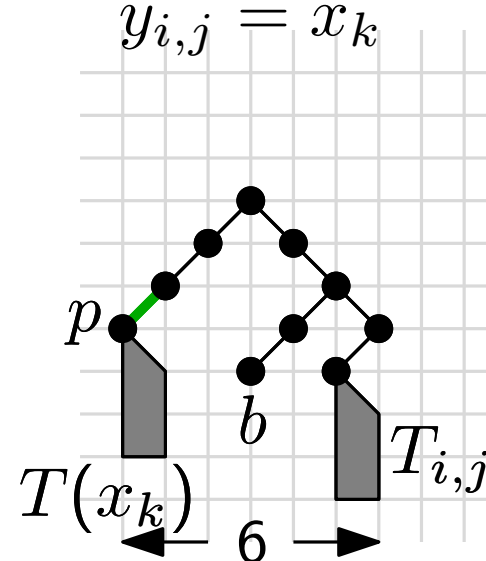
Baum  $T(x_k)$  für Var.  $x_k$  :



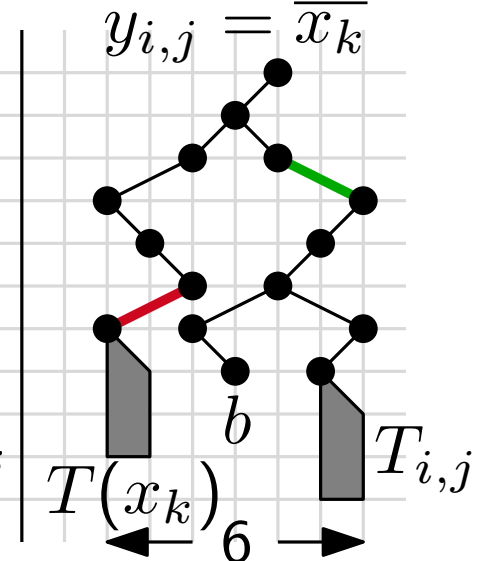
Baum  $T_{i,j}$



Literalbaum:

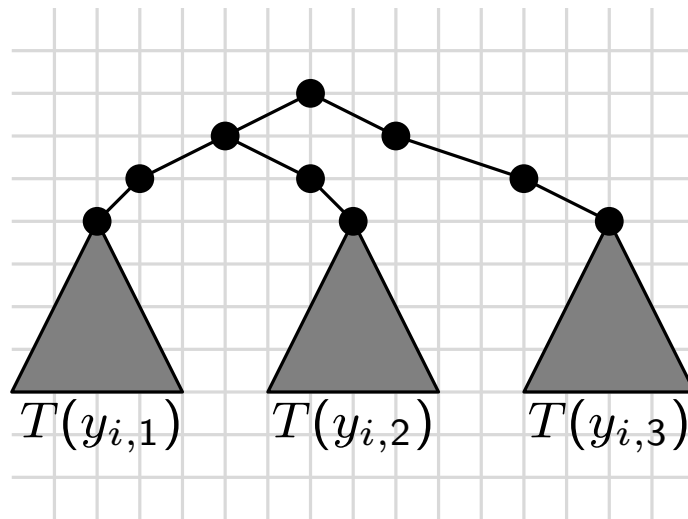


$T(y_{i,j})$  für



# Breitenminierung II

Klauselbaum  $T(C_i)$ :



Erfüllte Klausel hat Breite höchstens

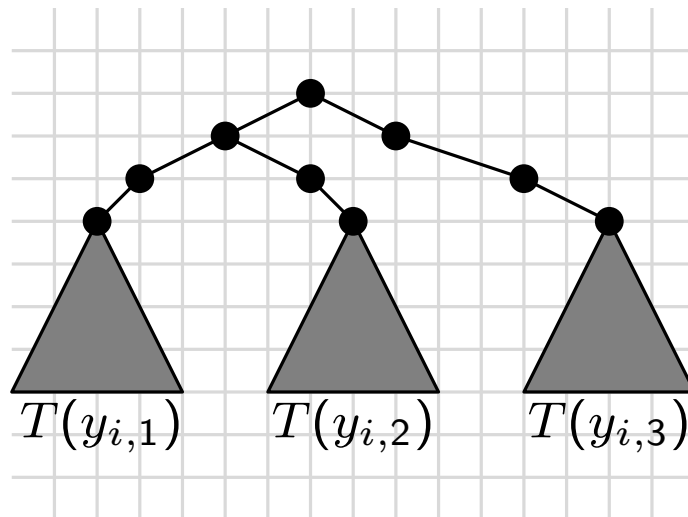
$$6 + 2 + 7 + 2 + 7 = 24$$

Beachte: alle Literalbäume haben volle Breite auf vierter Ebene von oben

Nicht erfüllte Klausel:  $7+2+7+2+7 = 25$

# Breitenminierung II

Klauselbaum  $T(C_i)$ :



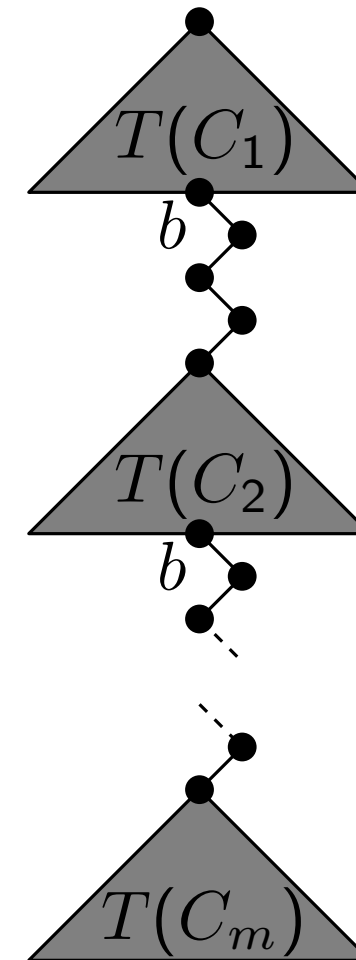
Erfüllte Klausel hat Breite höchstens

$$6 + 2 + 7 + 2 + 7 = 24$$

Beachte: alle Literalbäume haben volle Breite auf vierter Ebene von oben

Nicht erfüllte Klausel:  $7+2+7+2+7 = 25$

Formelbaum  $T(F)$



Breite  $\leq 24 \Leftrightarrow F$  erfüllbar

# HV-Bäume

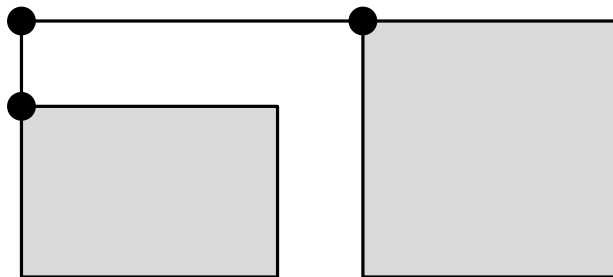
Idee:

- Zeichne Teilbäume in Rechtecke, Wurzel liegt in linker oberer Ecke
- Nachfolger liegen vertikal unterhalb bzw. horizontal rechts

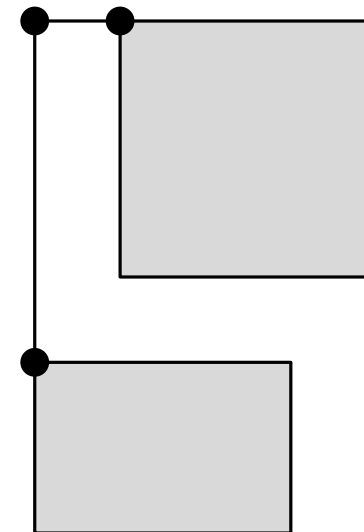
Induktionsanfang:



Induktionsschritt: kombiniere Layouts



horizontale Kombination  
(Fläche:  $3 \times 7$ )



vertikale Kombination  
(Fläche:  $4 \times 6$ )

Berechne optimale Zeichnung mit dynamischer Programmierung

# Rechtslastige hv-Layouts

Rechtslastiges hv-Layout:

- Wähle in jedem Schritt Horizontal-Kombination
- Platziere größeren Teilbaum rechts

## Lemma

Höhe eines rechtslastigen hv-Layouts für Baum mit  $n$  Knoten ist höchstens  $\log n$ .

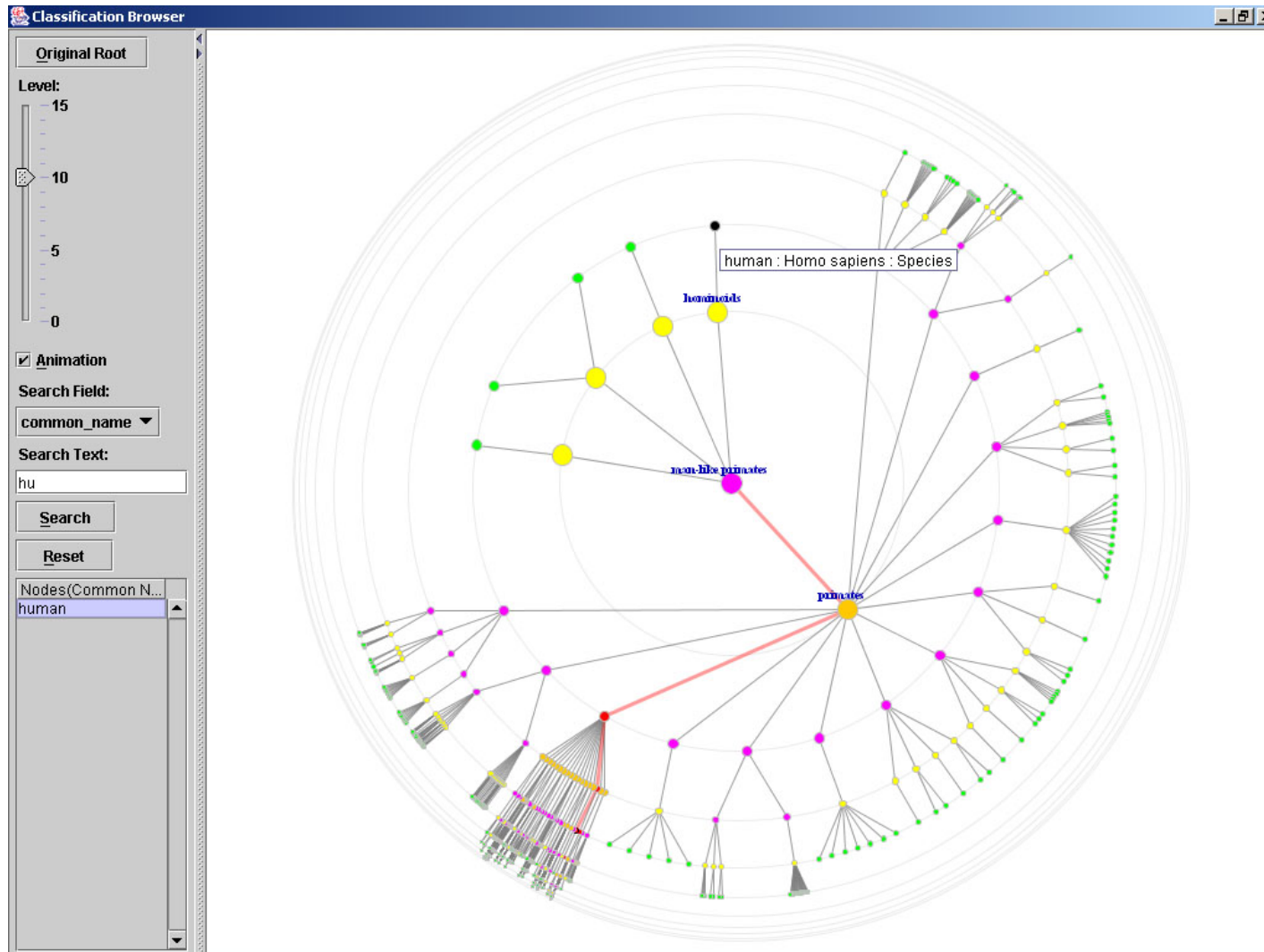
Beweis:

- Vertikale Kanten haben Länge 1
- $w$  Knoten mit minimaler  $y$ -Koordinate
- betrachte eindeutigen Pfad  $P$  zur Wurzel
- für jede vertikale Kante  $(u, v)$  auf  $P$ :  $|T(v)| > |2T(u)|$
- $\Rightarrow P$  enthält höchstens  $\log n$  solcher Kanten

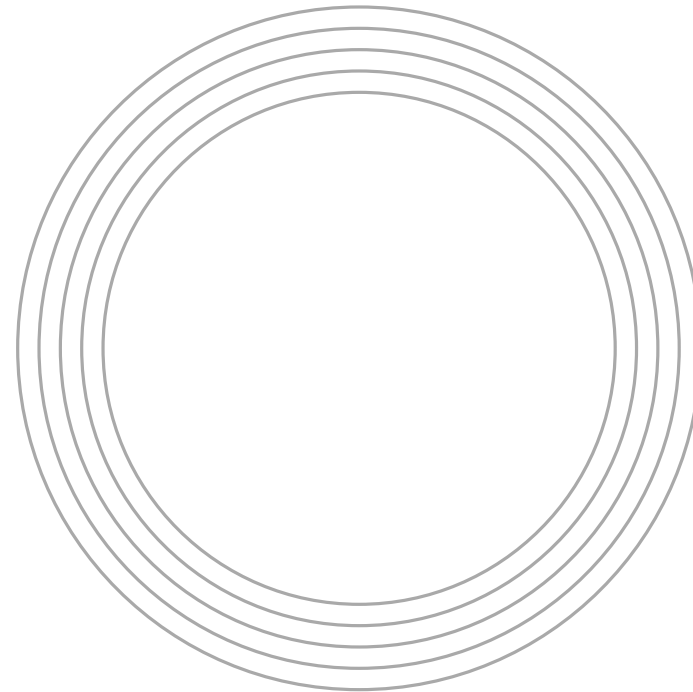
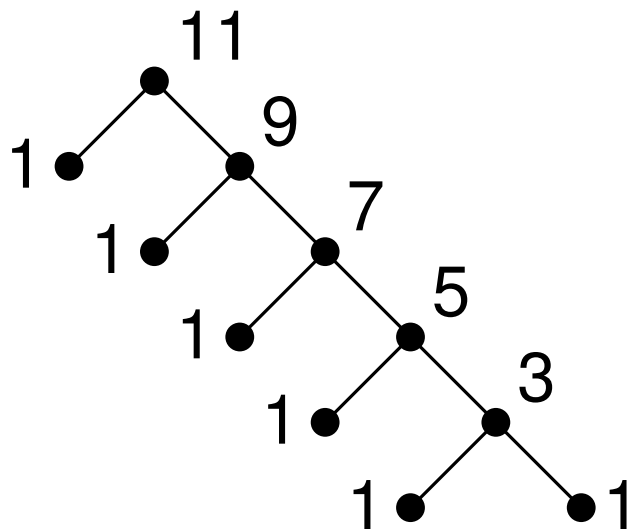
Platzbedarf:  $O(n \log n)$



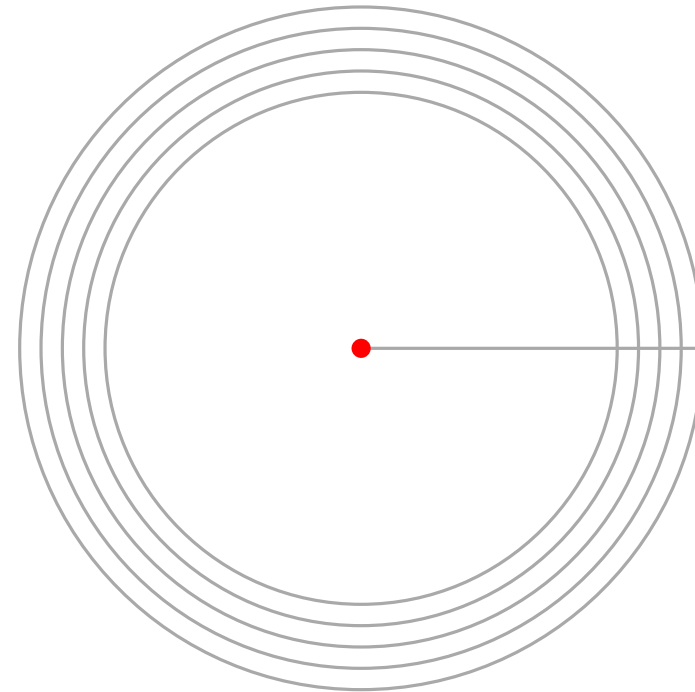
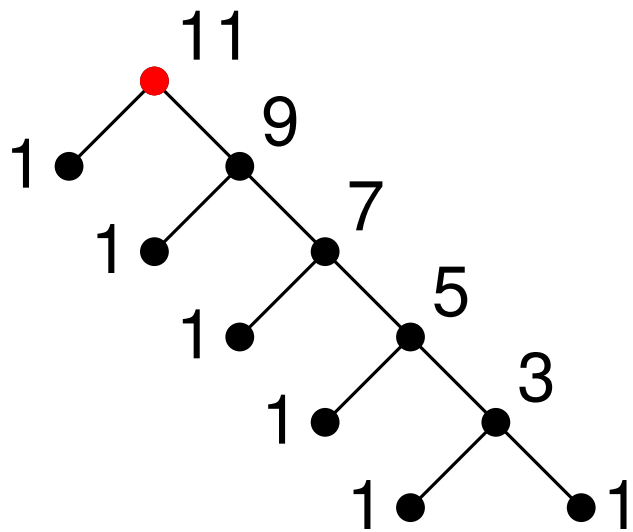
# Radiale Baumlayouts



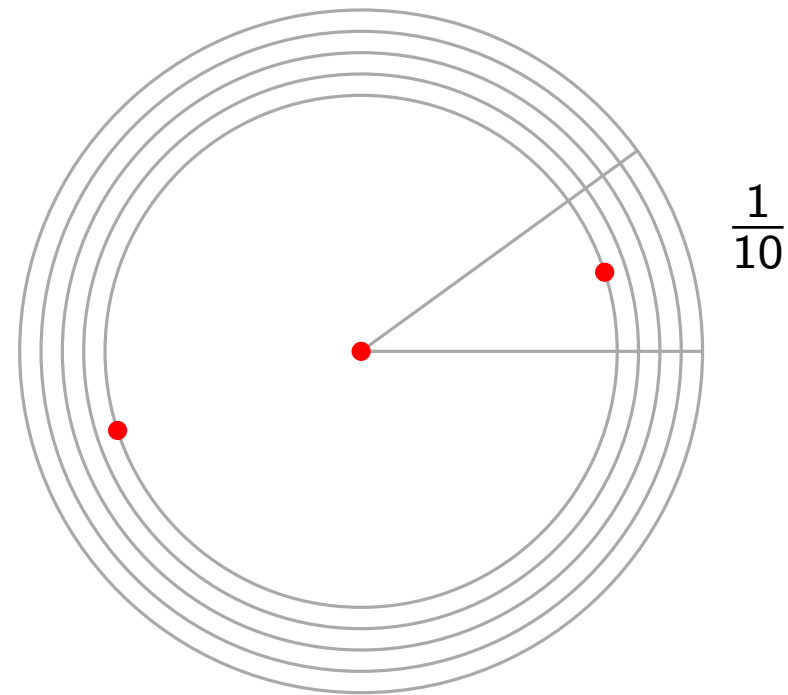
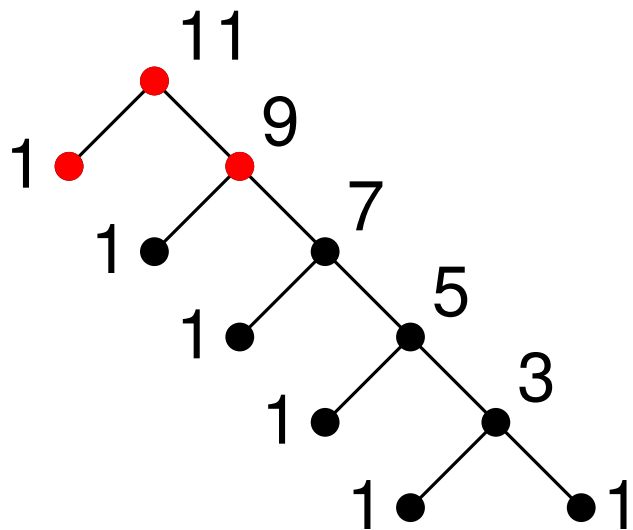
# Beispiel Radiallayout



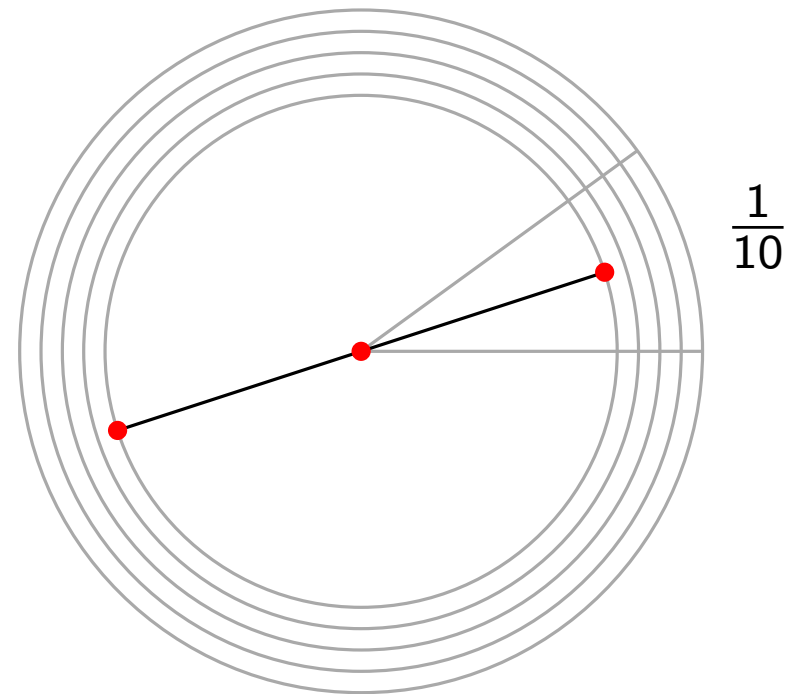
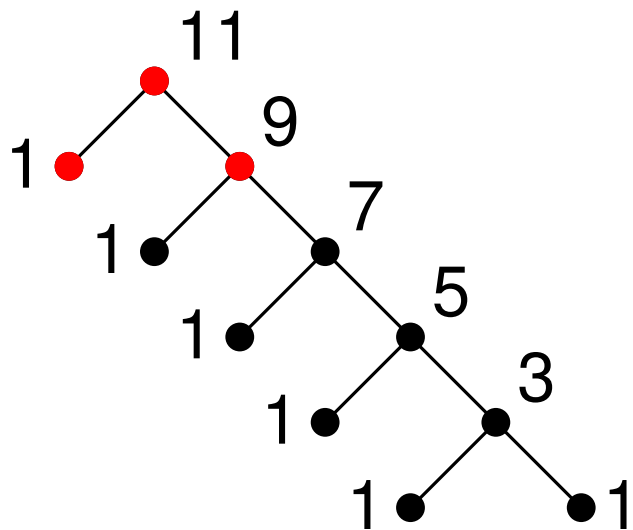
# Beispiel Radiallayout



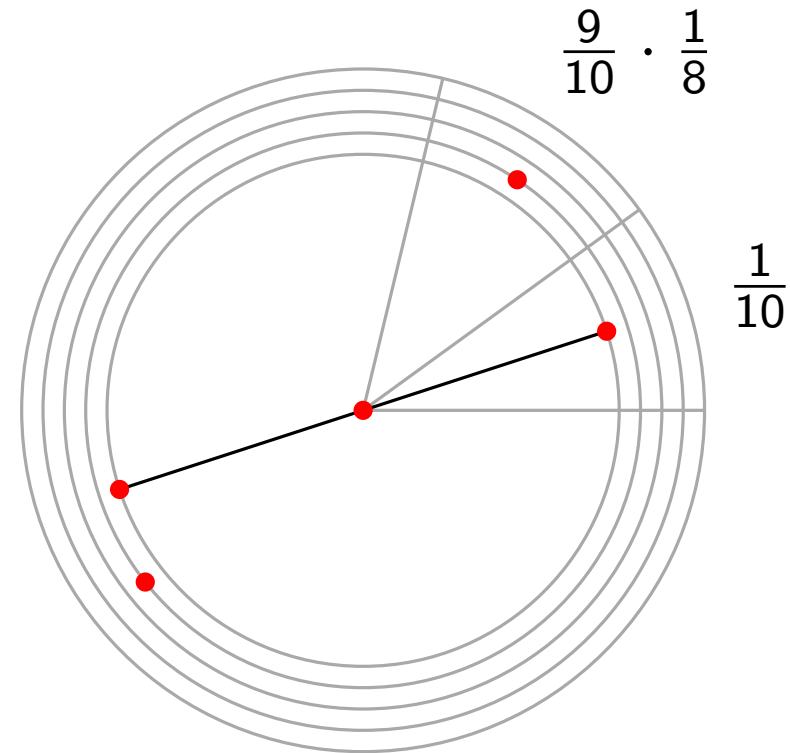
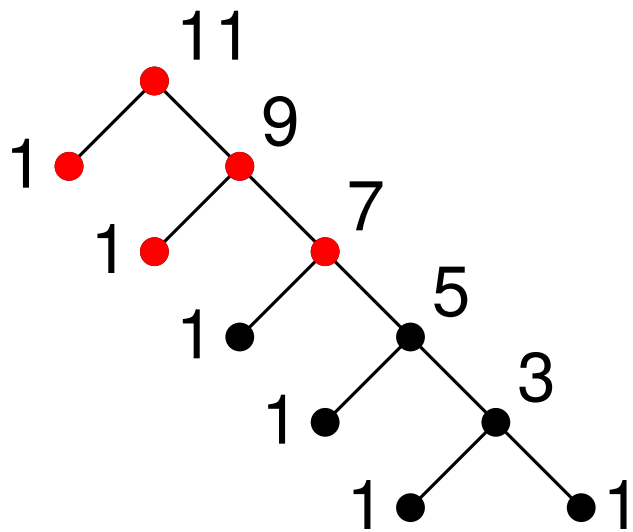
# Beispiel Radiallayout



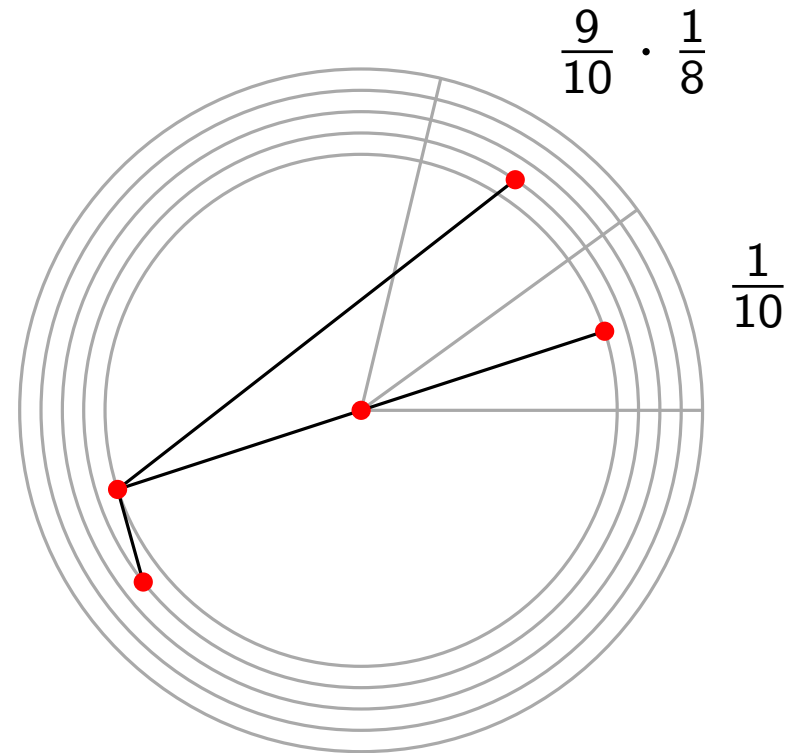
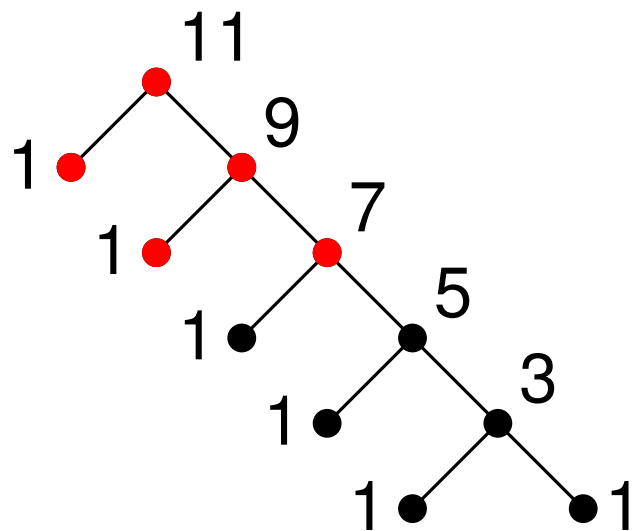
# Beispiel Radiallayout



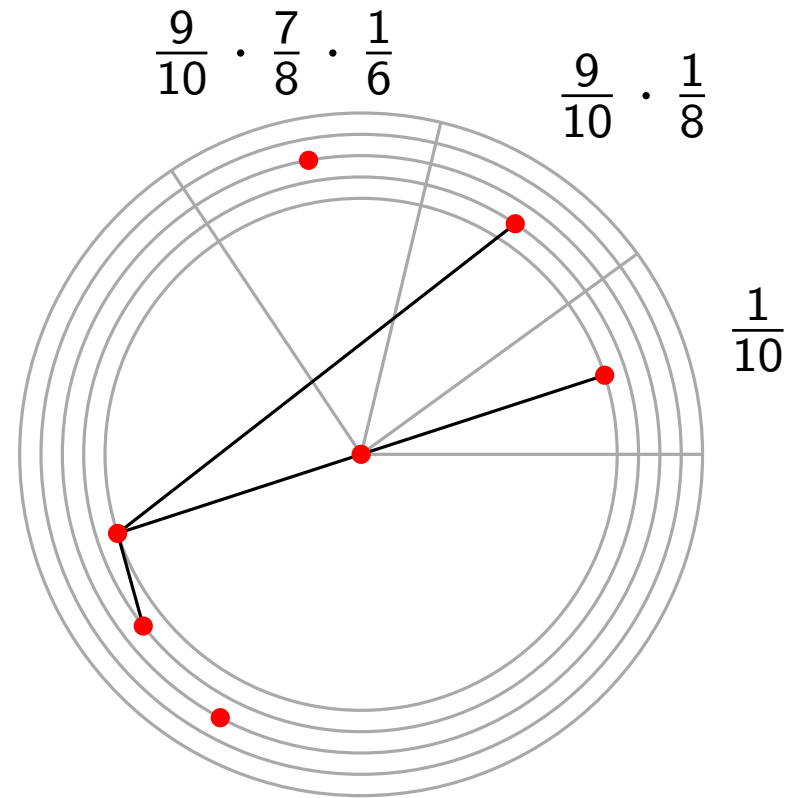
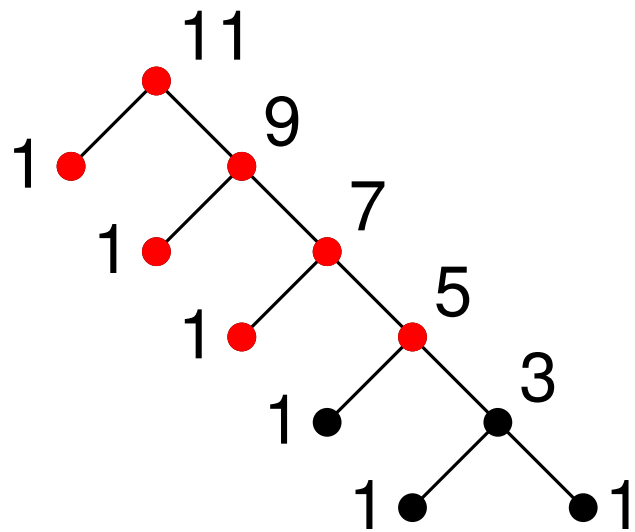
# Beispiel Radiallayout



# Beispiel Radiallayout

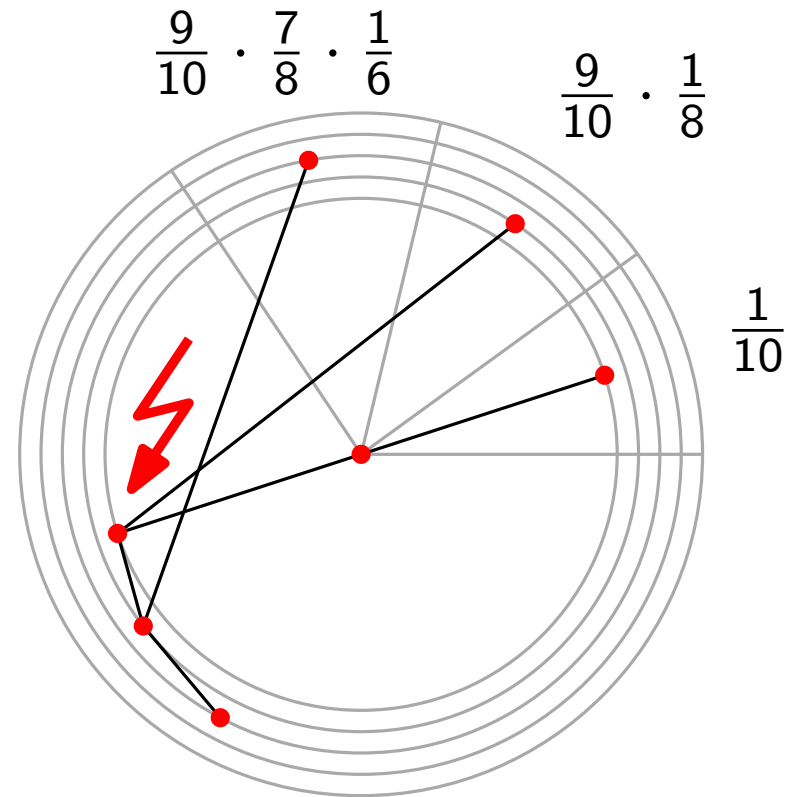
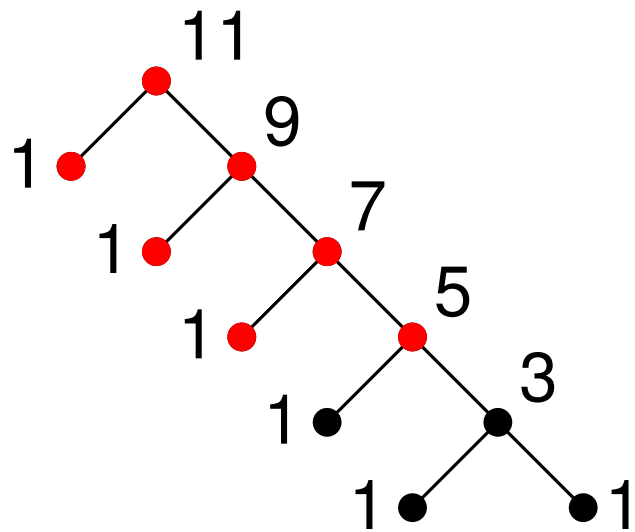


# Beispiel Radiallayout

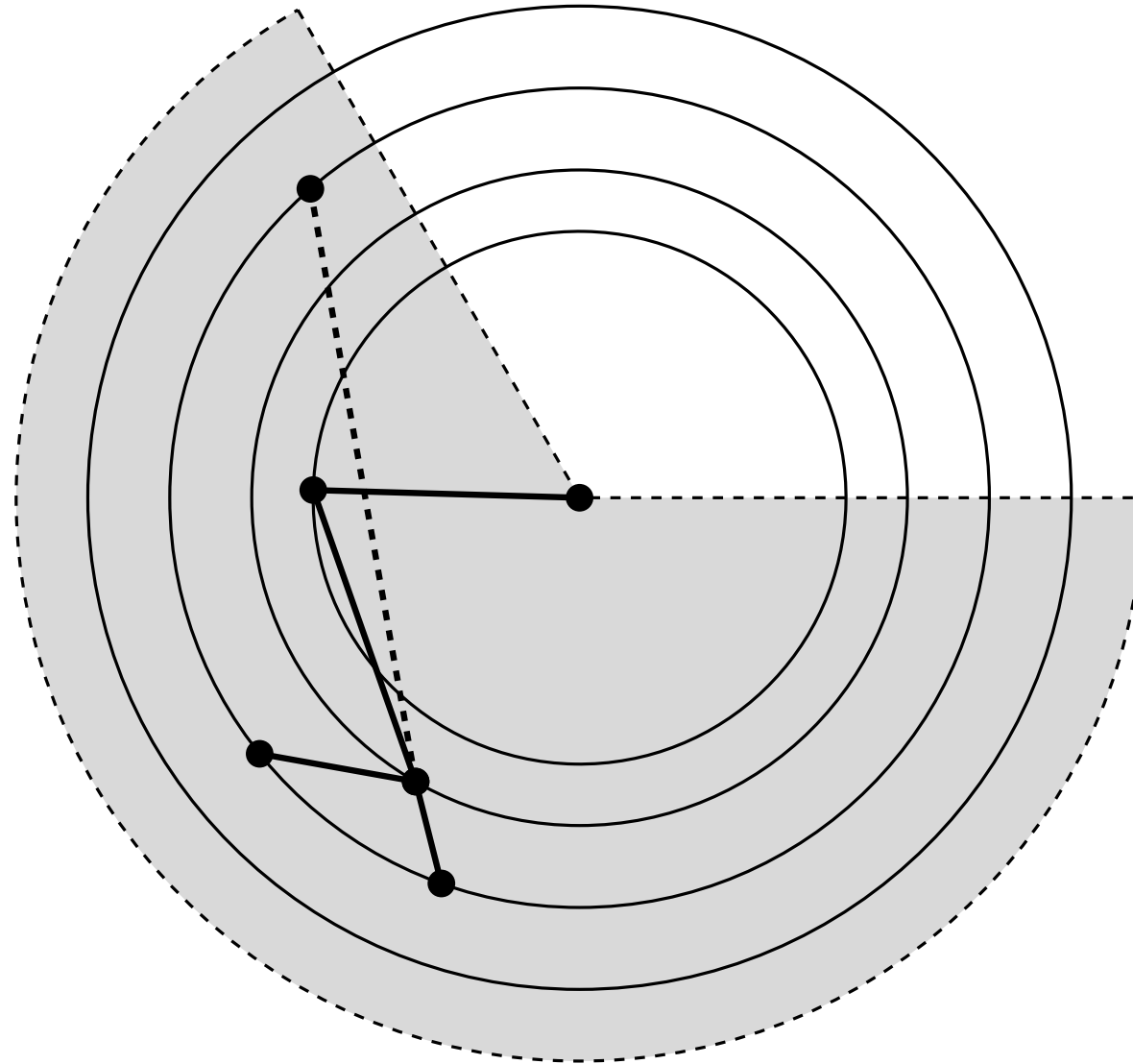




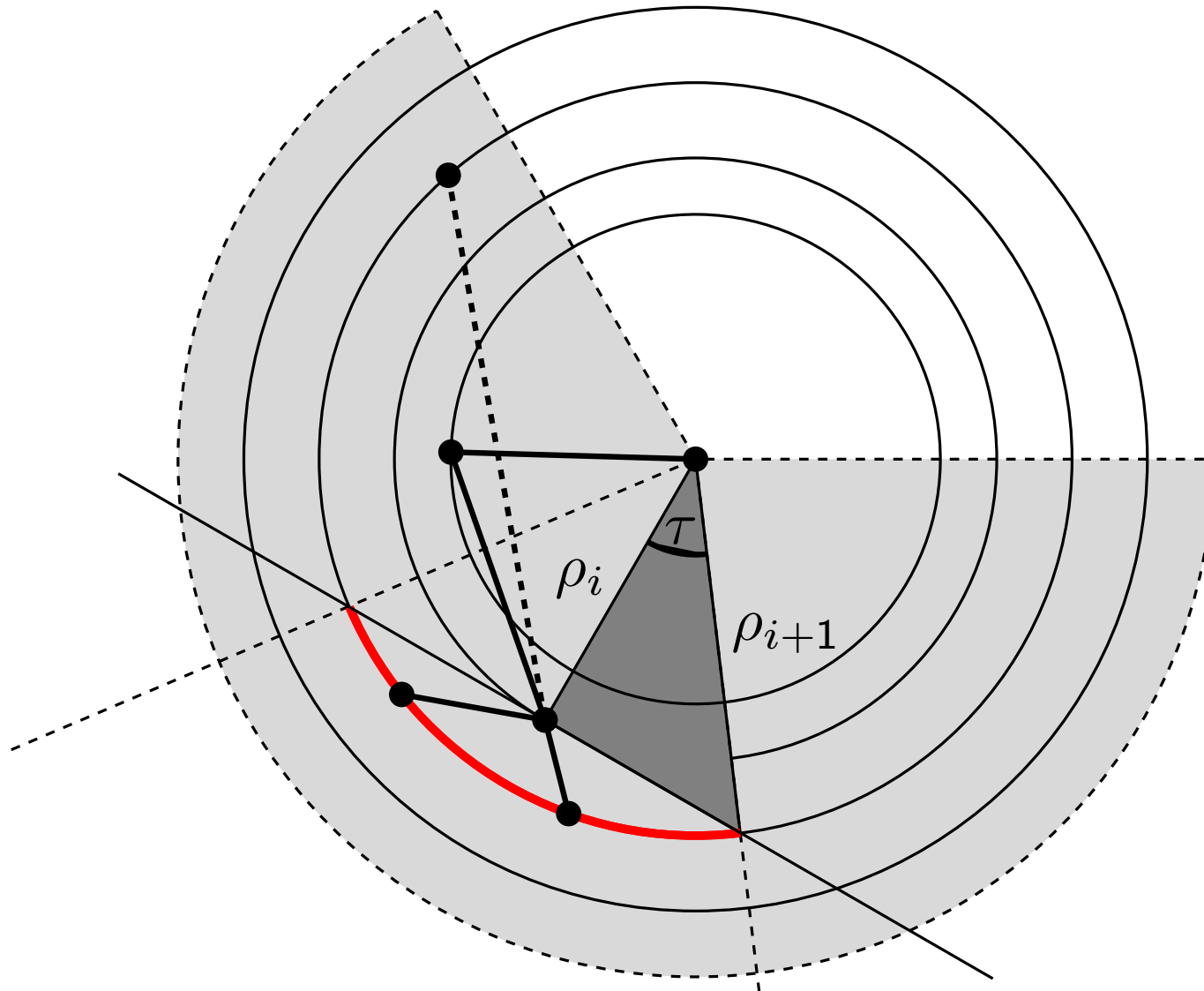
# Beispiel Radiallayout



# Verlassen des Kreisringsektors

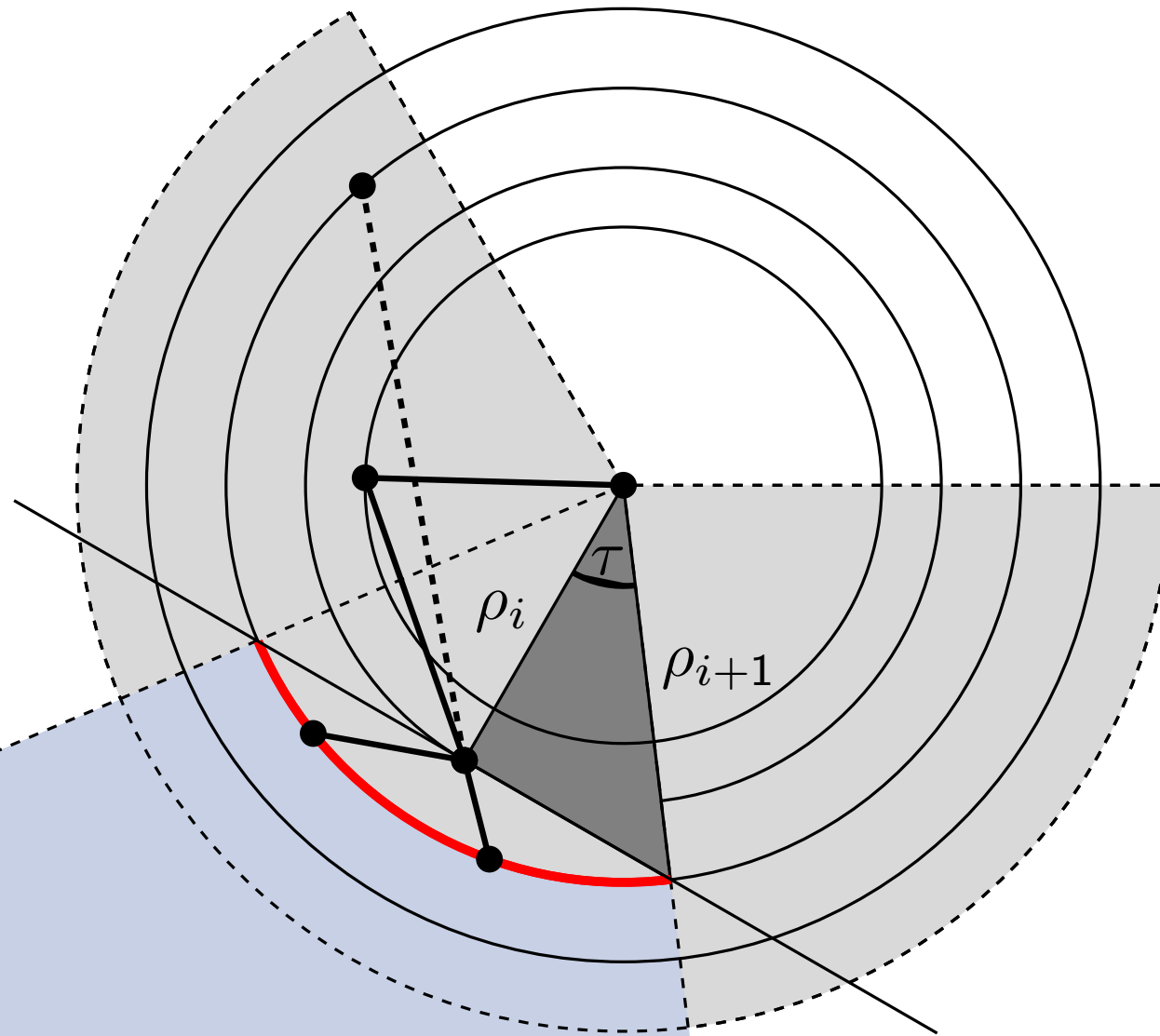


# Verlassen des Kreisringsektors



$$\cos \tau = \frac{\rho_i}{\rho_{i+1}}$$

# Verlassen des Kreisringsektors



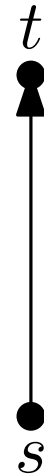
$$\cos \tau = \frac{\rho_i}{\rho_{i+1}}$$

# Serien-parallele Graphen

# Serien-parallele Graphen

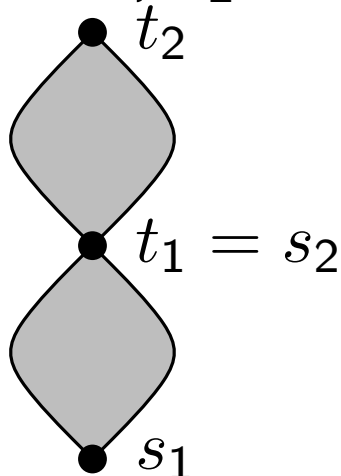
Graph  $G$  heißt **serien-parallel**, wenn er

- aus genau zwei Knoten (Quelle  $s$ , Senke  $t$  sowie der Kante  $(s, t)$  besteht oder
- aus zwei serien-parallelen Graphen  $G_1, G_2$  mit Quellen  $s_1, s_2$  und Senken  $t_1, t_2$  durch eine der folgenden Kombinationen hervorgeht



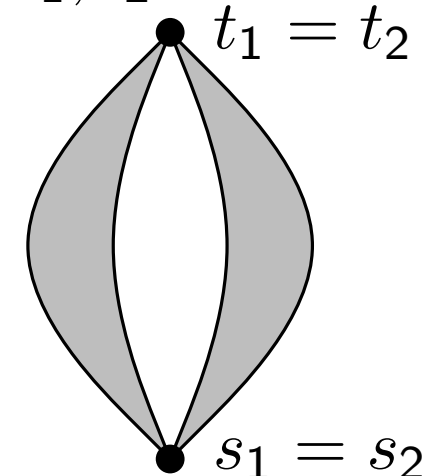
serielle Komposition:

Identifiziere  $t_1$  und  $s_2$ ,  
 $s_1$  neue Quelle,  $t_2$  neue Senke



parallele Komposition:

Identifiziere  $s_1, s_2$  als neue Quelle  
Identifiziere  $t_1, t_2$  als neue Senke



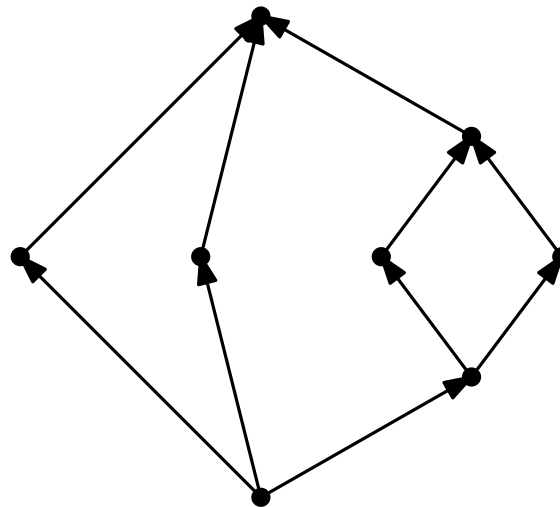
## Lemma

Serien-parallele Graphen sind azyklisch und planar.

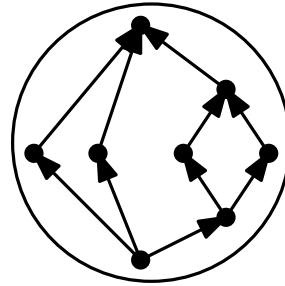
Beschreibung des rekursiven Aufbaus durch binären Baum:

- Blätter sind Kanten (Q-Knoten)
- Innere Knoten sind S- oder P-Knoten

(vgl. SPQR-Baum)

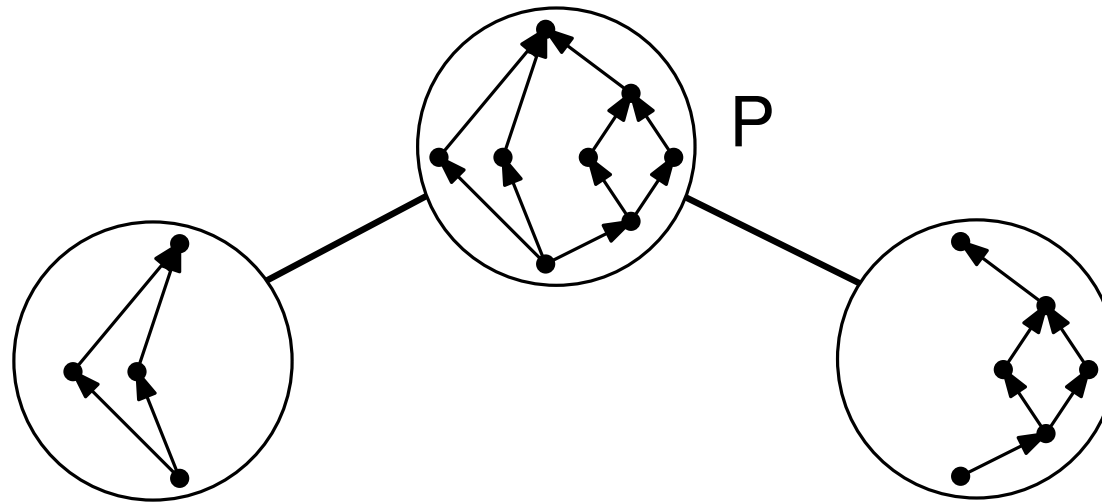


# SP-Graphen: Dekompositionsbaum

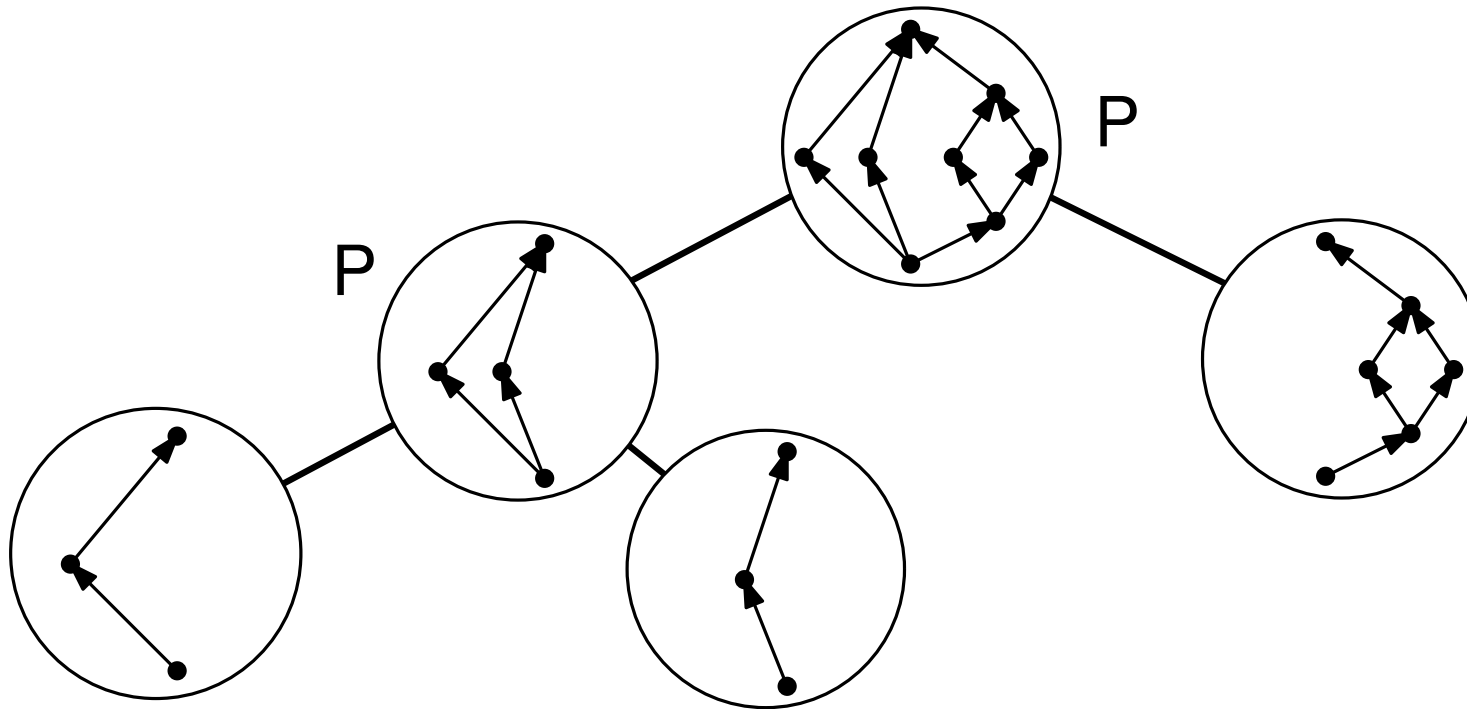




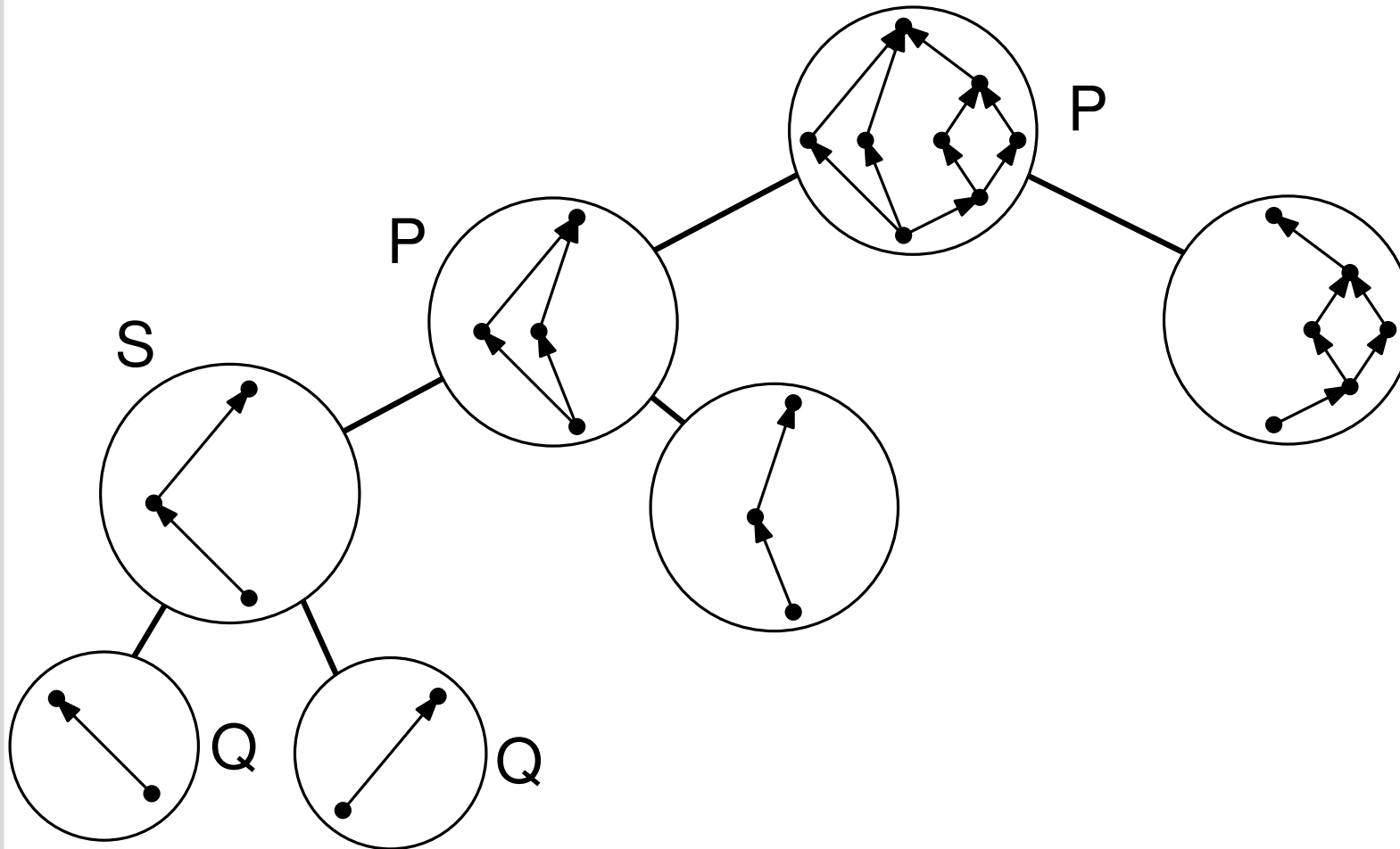
# SP-Graphen: Dekompositionsbaum



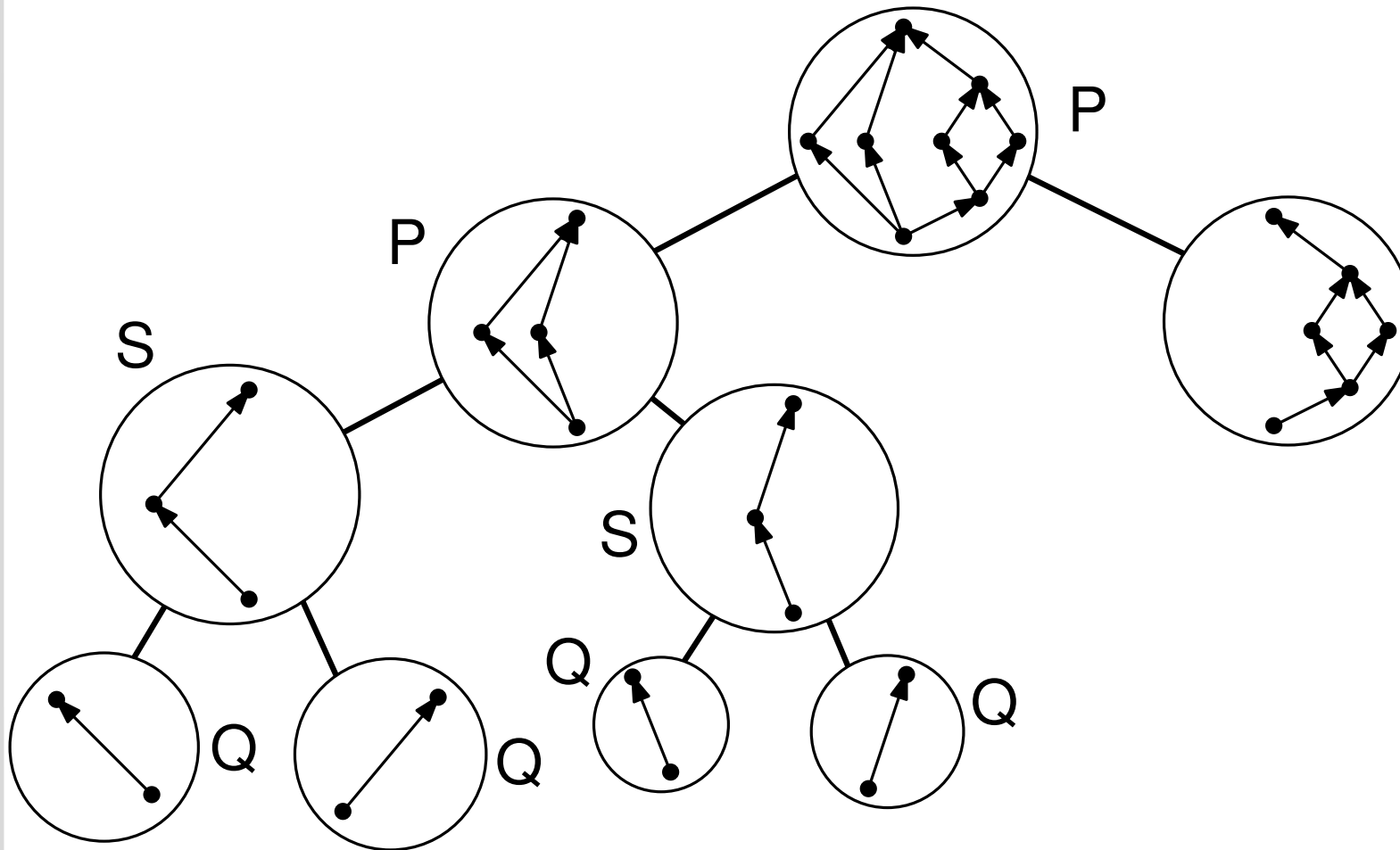
# SP-Graphen: Dekompositionsbaum



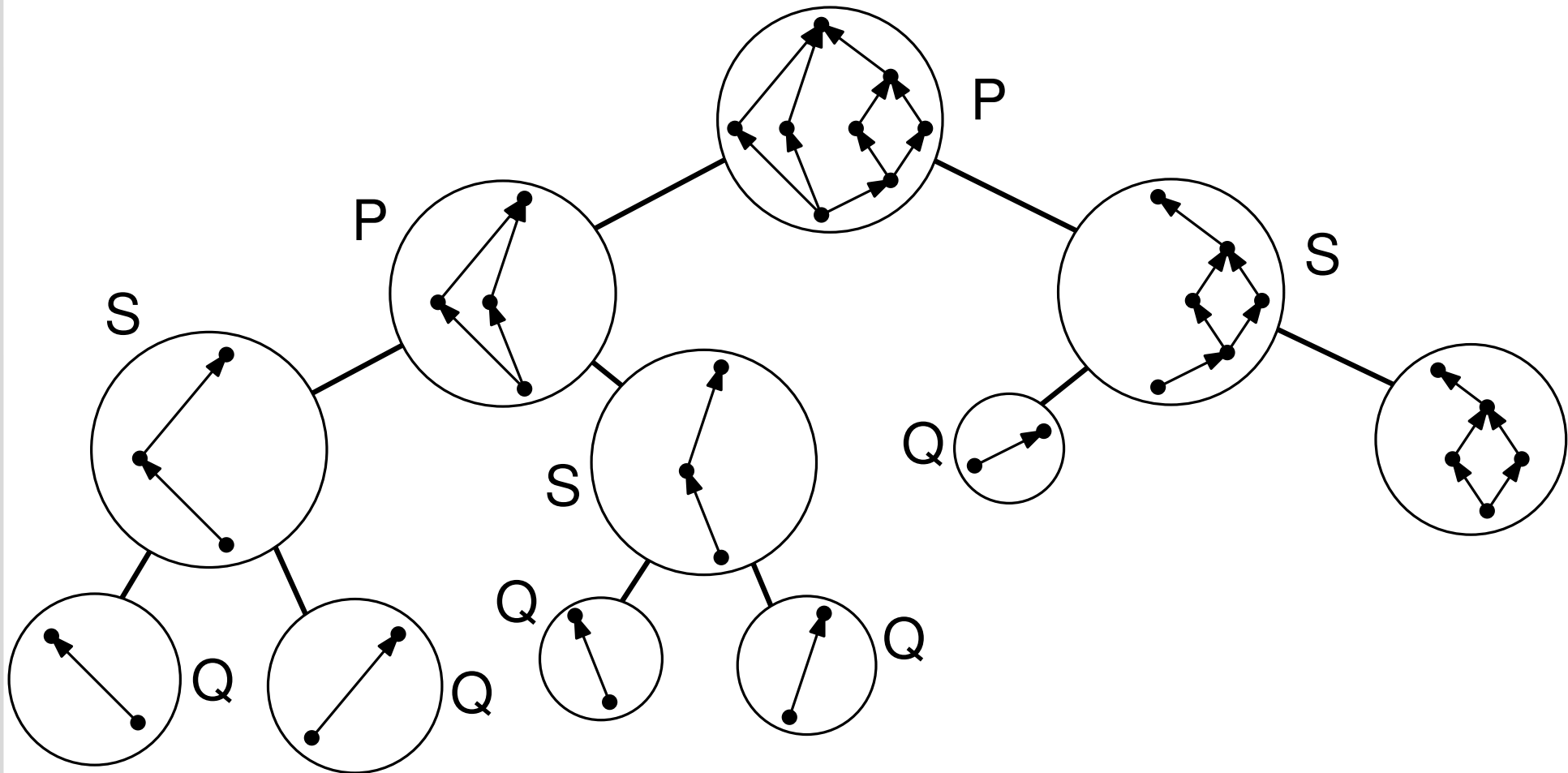
# SP-Graphen: Dekompositionsbaum



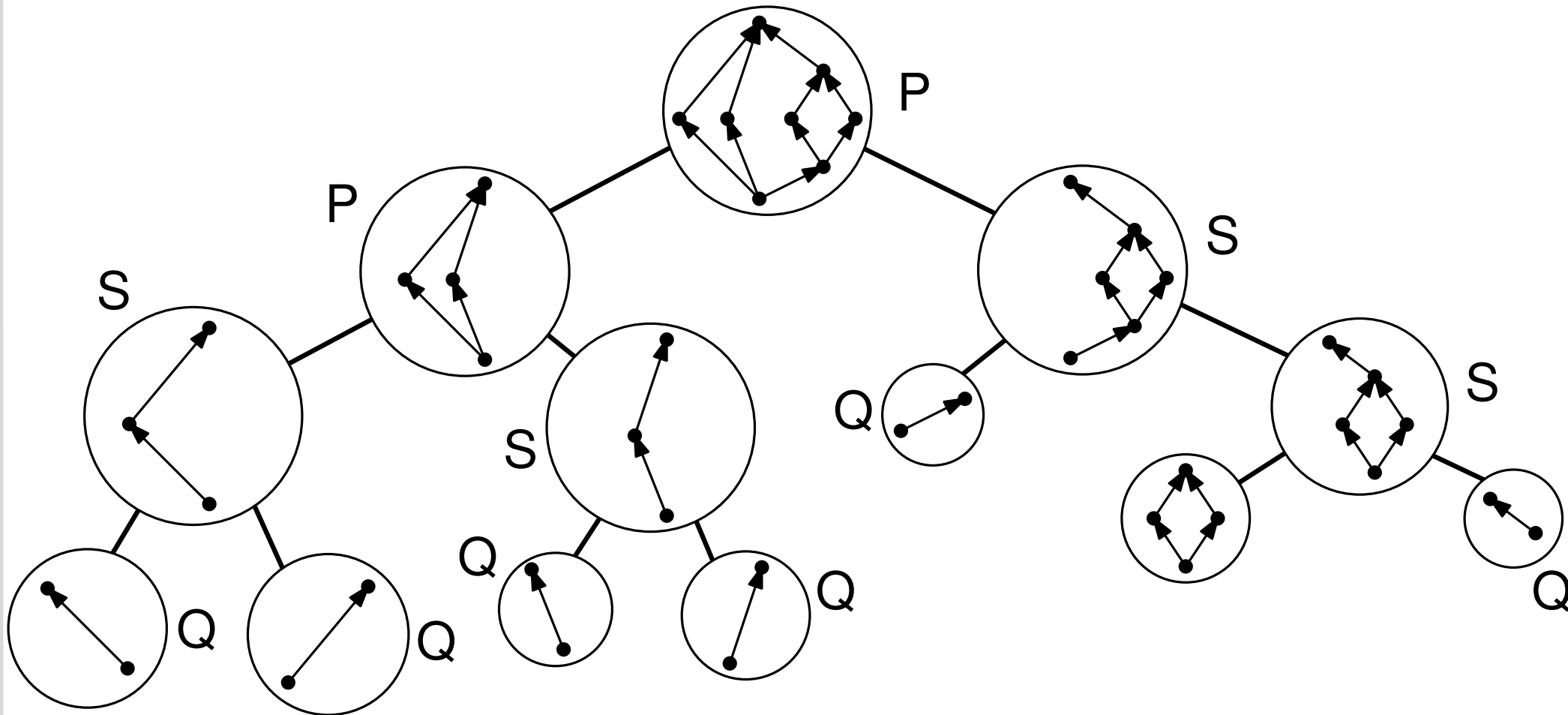
# SP-Graphen: Dekompositionsbaum



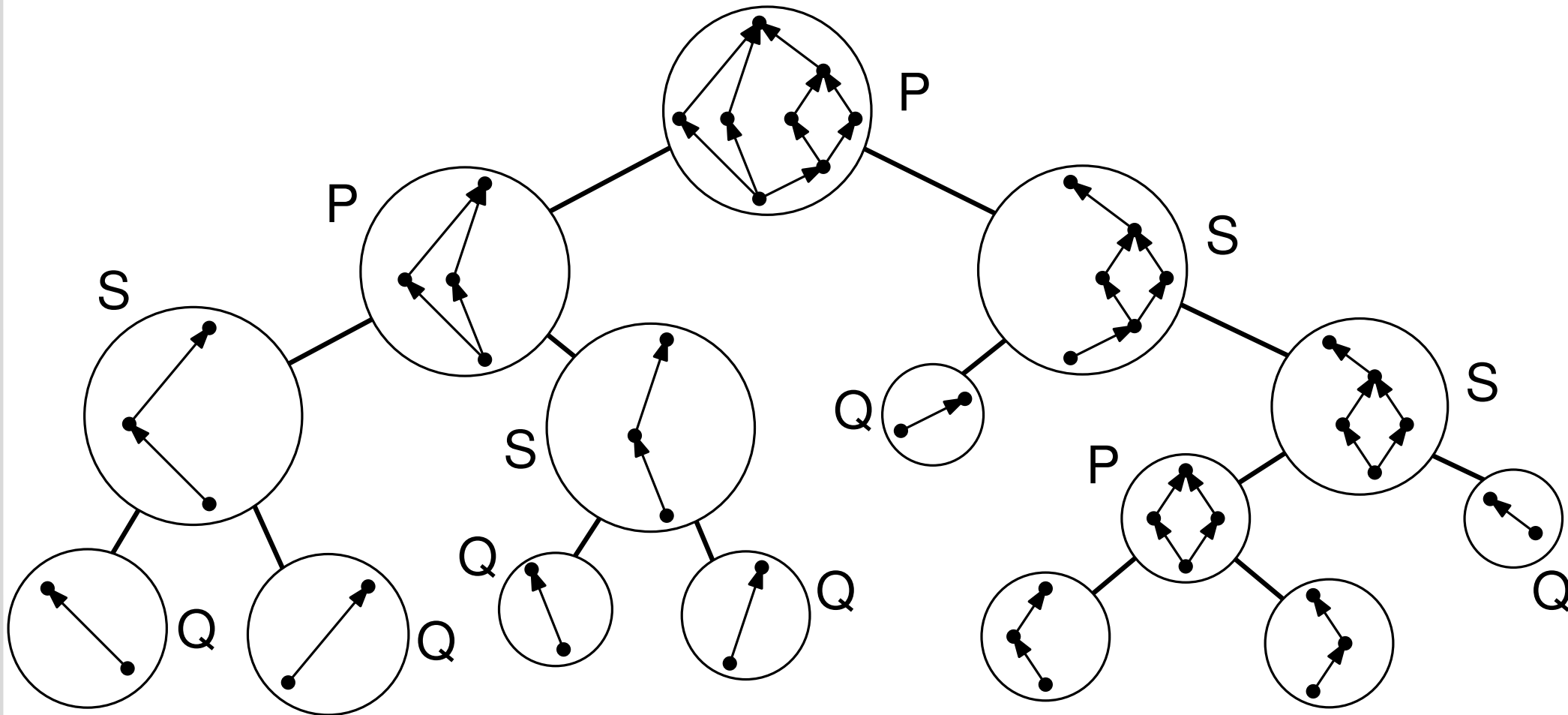
# SP-Graphen: Dekompositionsbaum



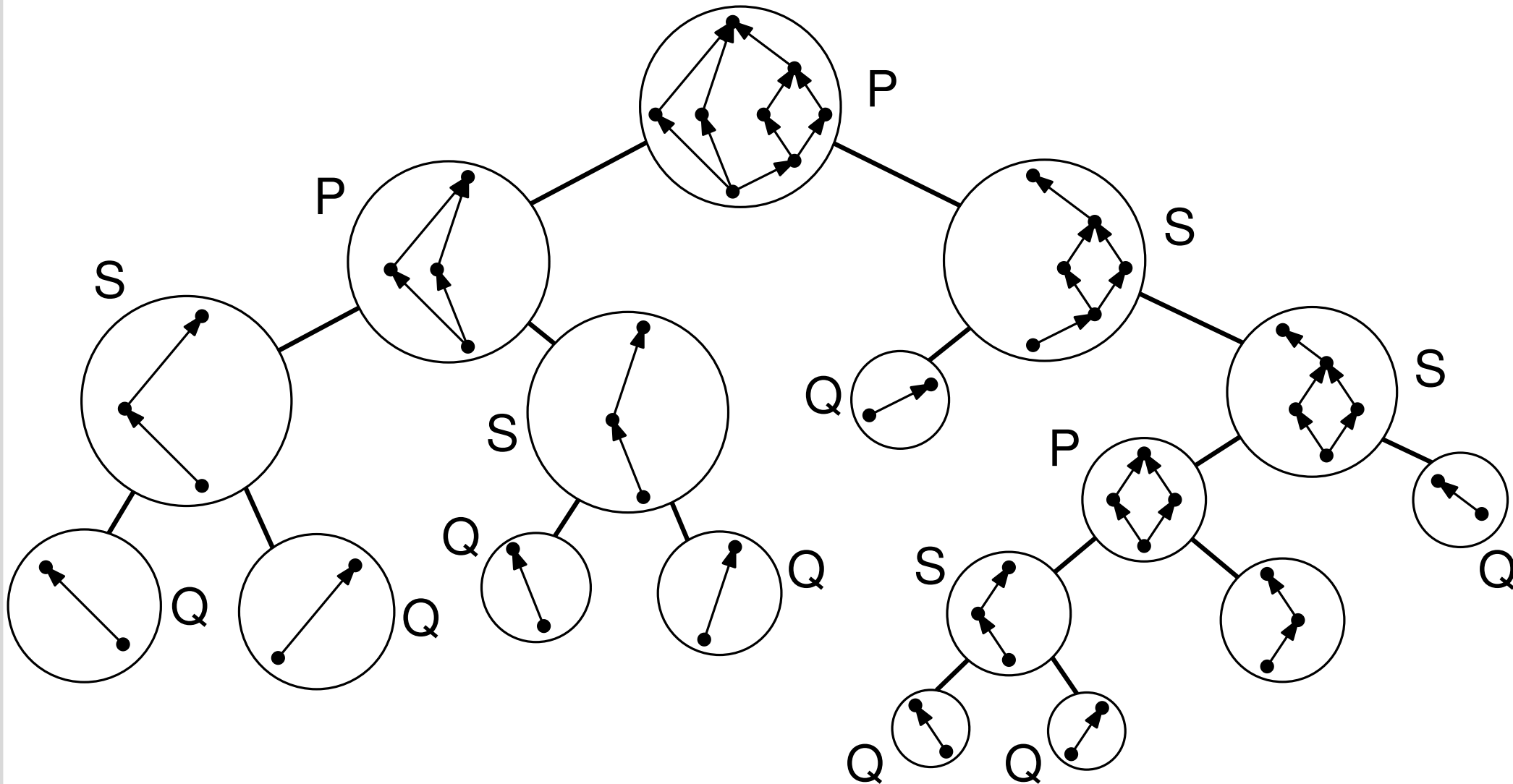
# SP-Graphen: Dekompositionsbaum



# SP-Graphen: Dekompositionsbaum

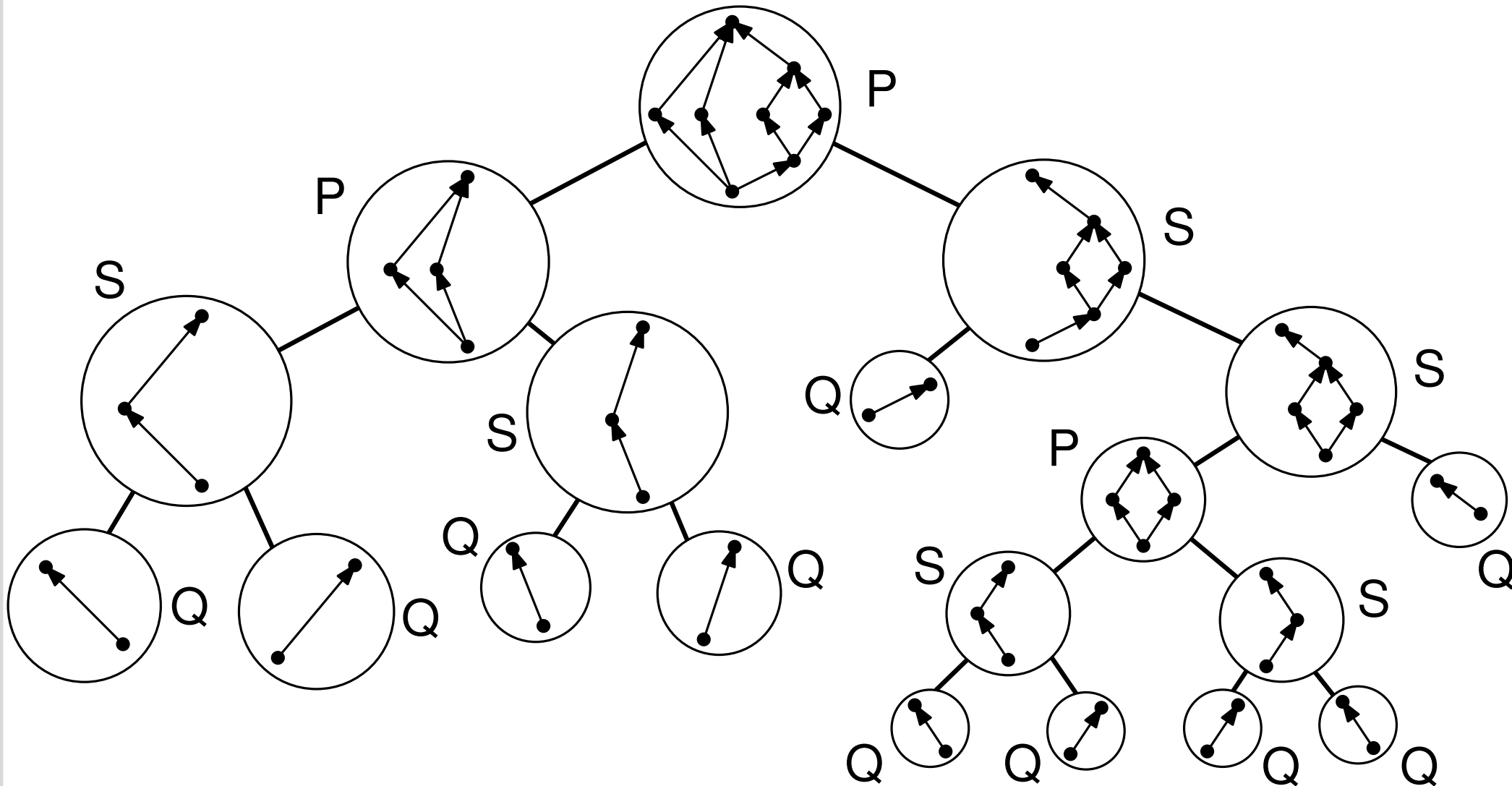


# SP-Graphen: Dekompositionsbaum

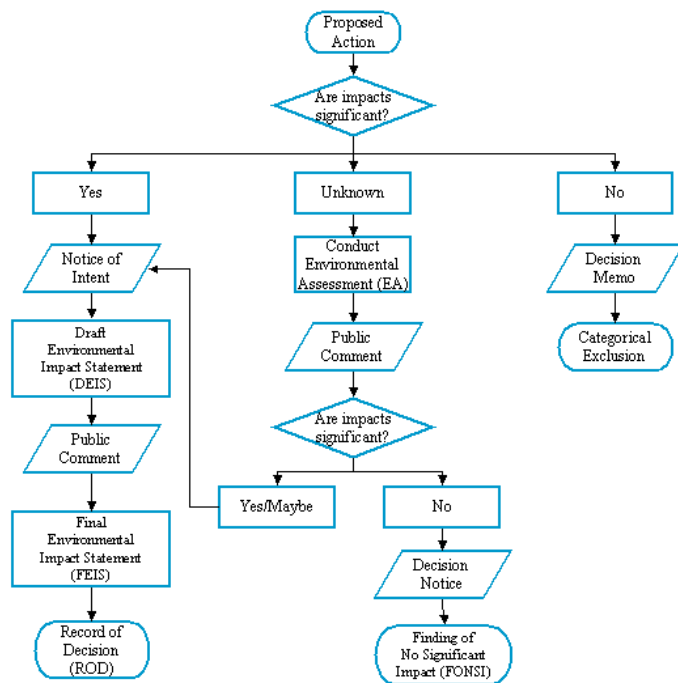




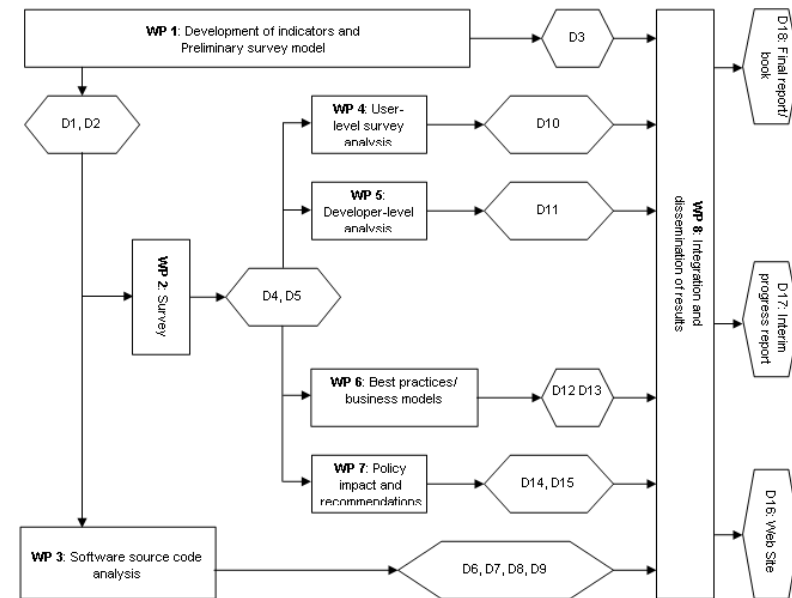
# SP-Graphen: Dekompositionsbaum



# SP-Graphen in Anwendungen



Ablaufdiagramme



PERT-Diagramme

(Program Evaluation and Review Technique)

Außerdem: Linearzeitalgorithmen für sonst NP-vollständige Probleme (z.B. Maximum Independent Set)

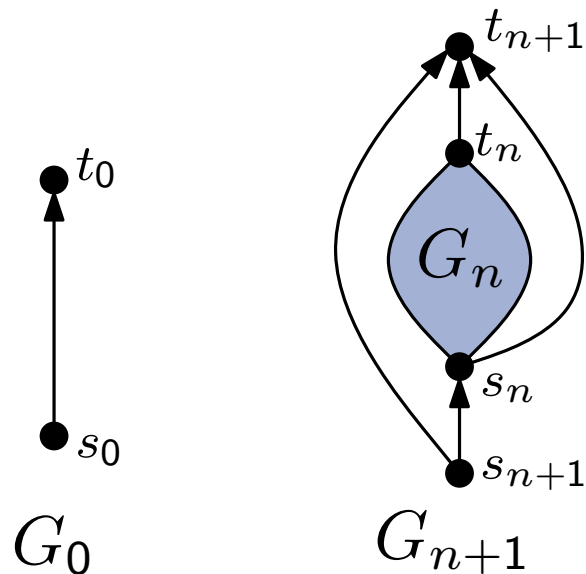
## Satz

Jedes **kreuzungsfreie Aufwärtlayout** für **geordnete** einfache serien-parallele Graphen mit  $n$  Knoten benötigt im worst case ein Gitter der Größe  $\Omega(2^n)$ .

## Satz

Jedes kreuzungsfreie Aufwärtlayout für geordnete einfache serien-parallele Graphen mit  $n$  Knoten benötigt im worst case ein Gitter der Größe  $\Omega(2^n)$ .

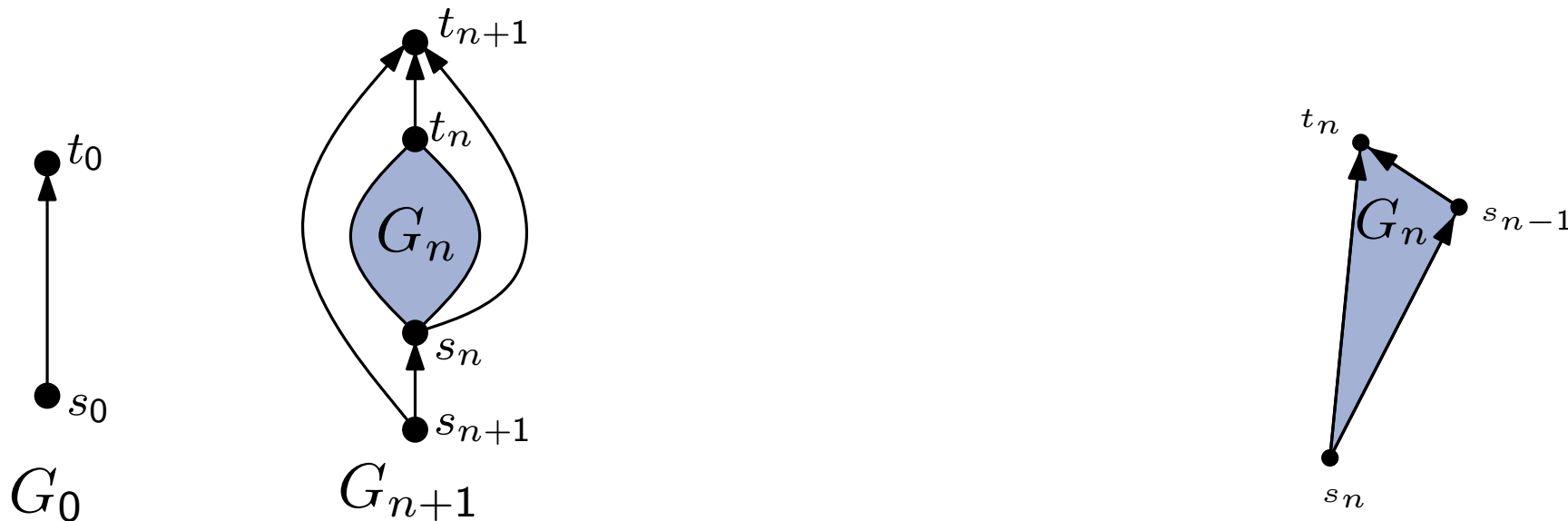
Beweis:



## Satz

Jedes kreuzungsfreie Aufwärtslayout für geordnete einfache serien-parallele Graphen mit  $n$  Knoten benötigt im worst case ein Gitter der Größe  $\Omega(2^n)$ .

Beweis:

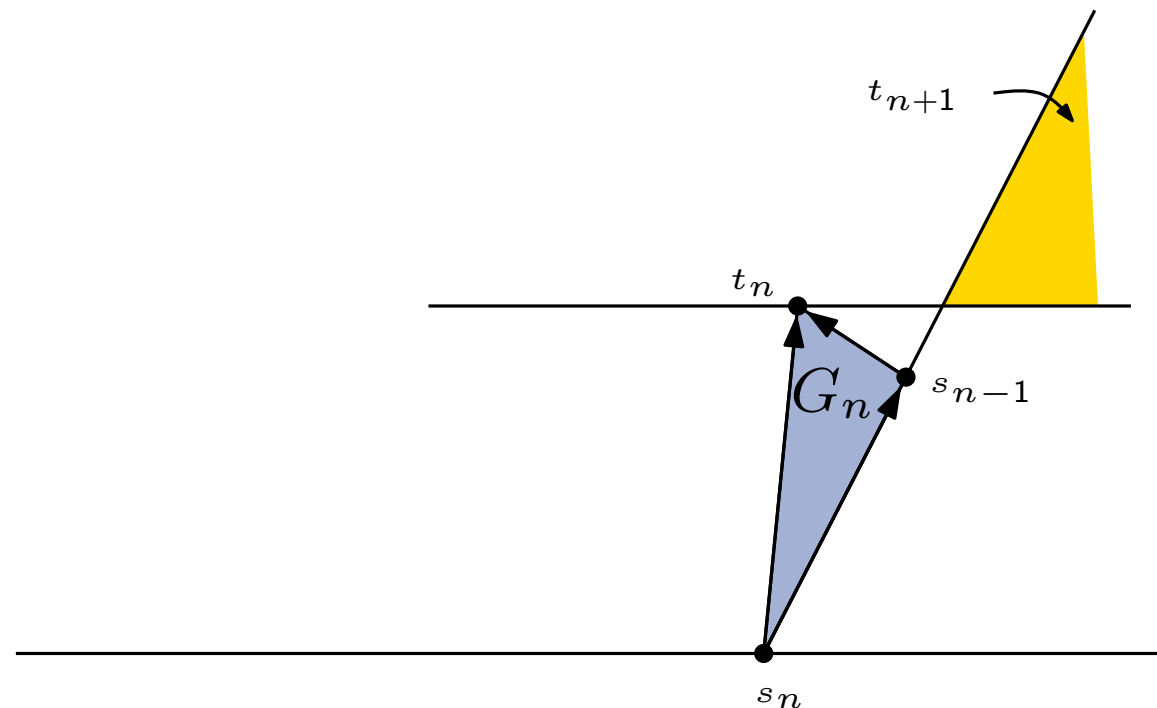
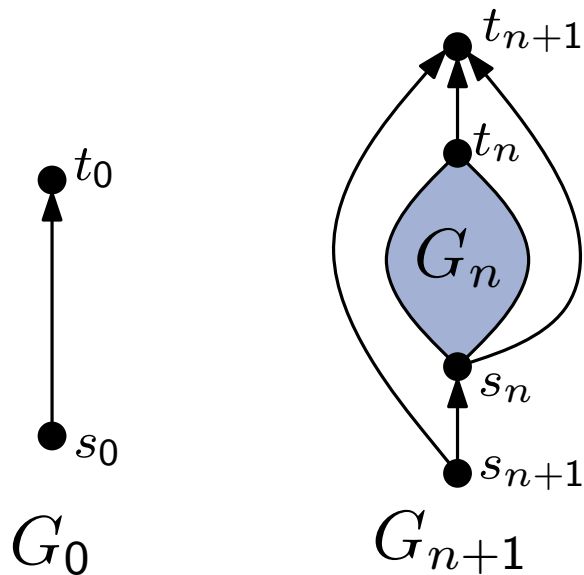


# Untere Schranke für die Fläche

## Satz

Jedes kreuzungsfreie Aufwärtlayout für **geordnete** einfache serien-parallele Graphen mit  $n$  Knoten benötigt im worst case ein Gitter der Größe  $\Omega(2^n)$ .

Beweis:

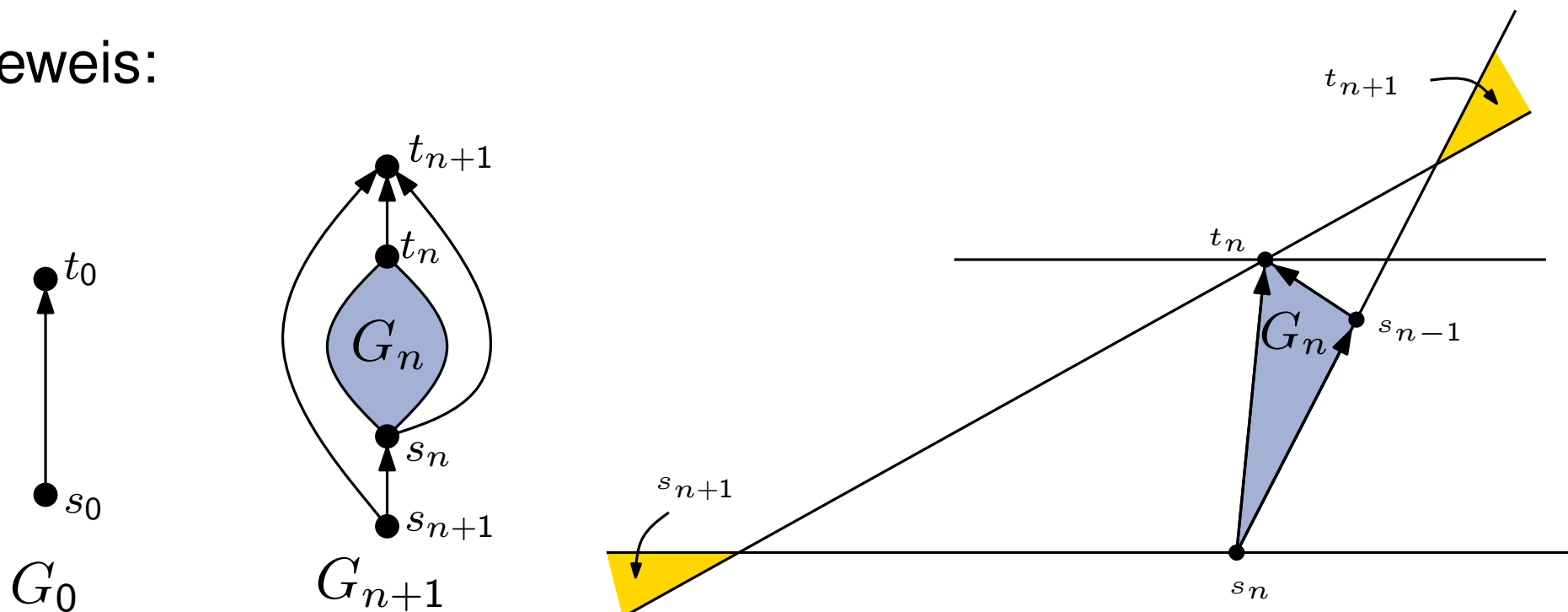


# Untere Schranke für die Fläche

## Satz

Jedes kreuzungsfreie Aufwärtlayout für **geordnete** einfache serien-parallele Graphen mit  $n$  Knoten benötigt im worst case ein Gitter der Größe  $\Omega(2^n)$ .

Beweis:

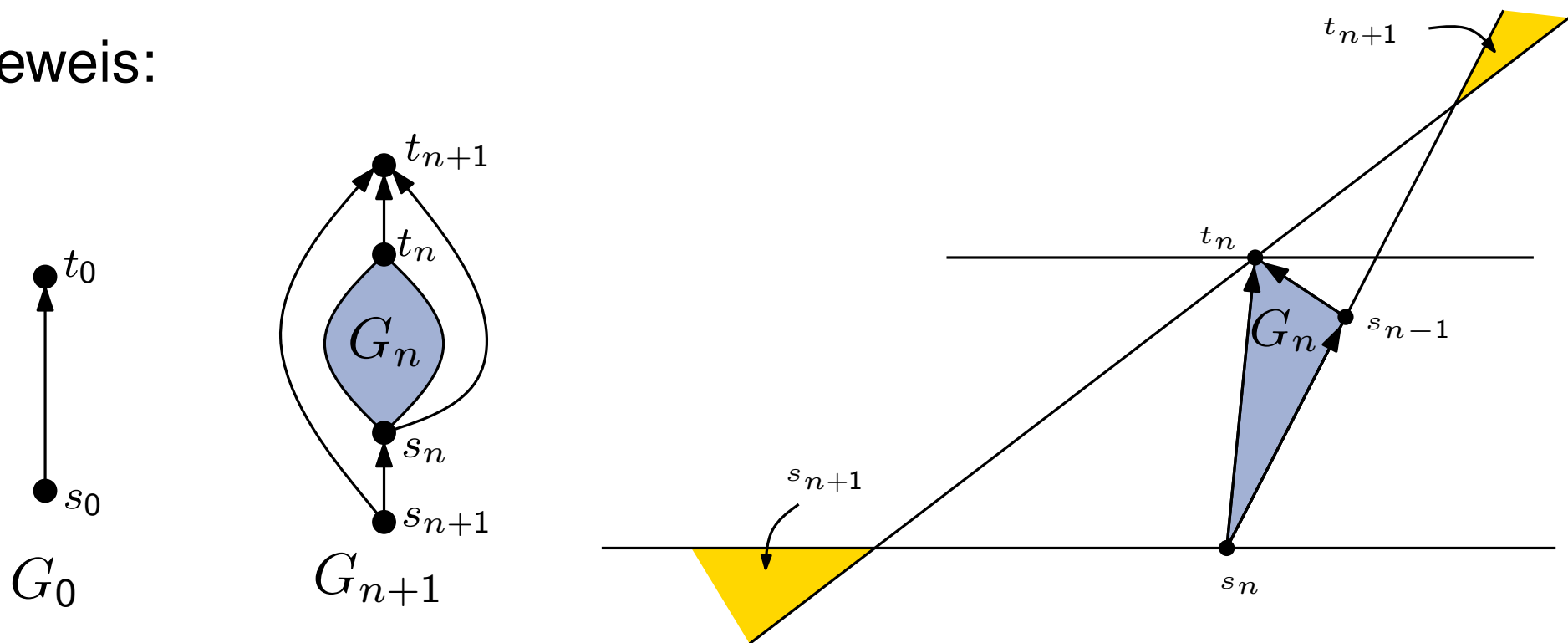


# Untere Schranke für die Fläche

## Satz

Jedes kreuzungsfreie Aufwärtlayout für geordnete einfache serien-parallele Graphen mit  $n$  Knoten benötigt im worst case ein Gitter der Größe  $\Omega(2^n)$ .

Beweis:



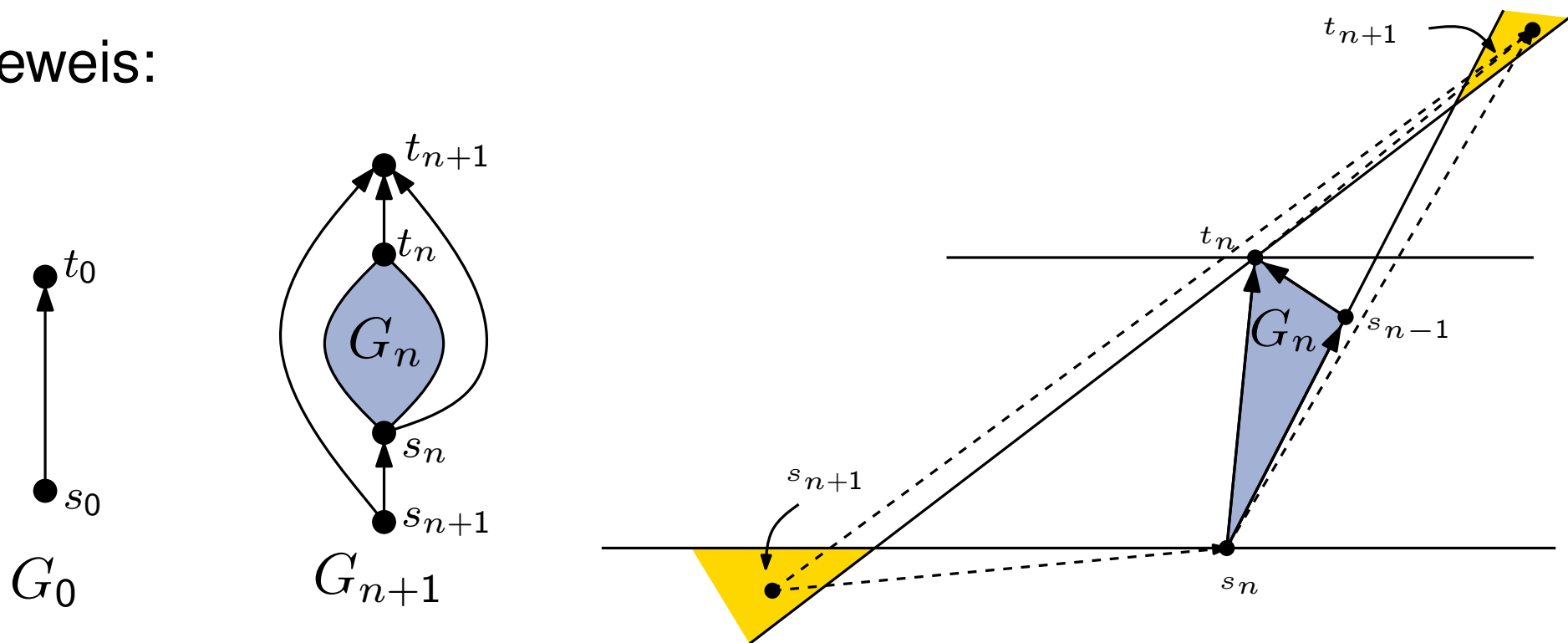


# Untere Schranke für die Fläche

## Satz

Jedes **kreuzungsfreie Aufwärtlayout** für **geordnete** einfache serien-parallele Graphen mit  $n$  Knoten benötigt im worst case ein Gitter der Größe  $\Omega(2^n)$ .

Beweis:

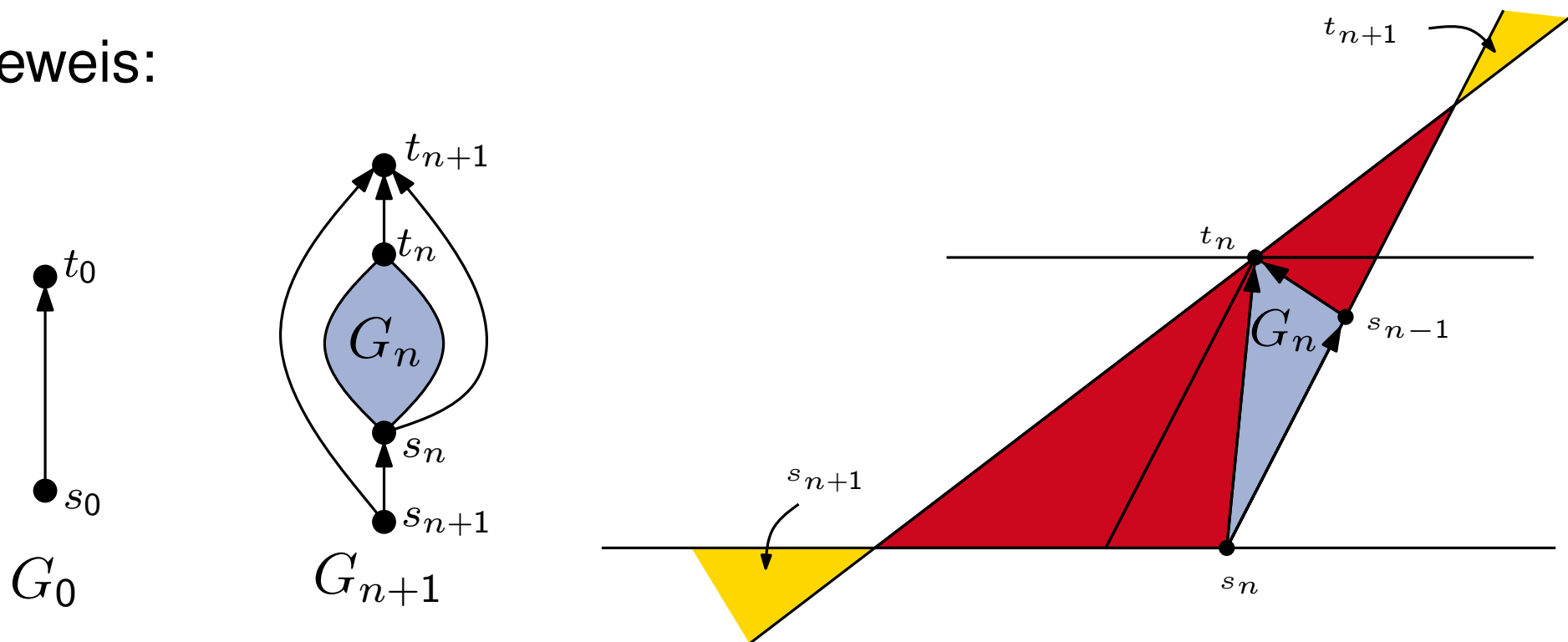


# Untere Schranke für die Fläche

## Satz

Jedes kreuzungsfreie Aufwärtlayout für geordnete einfache serien-parallele Graphen mit  $n$  Knoten benötigt im worst case ein Gitter der Größe  $\Omega(2^n)$ .

Beweis:

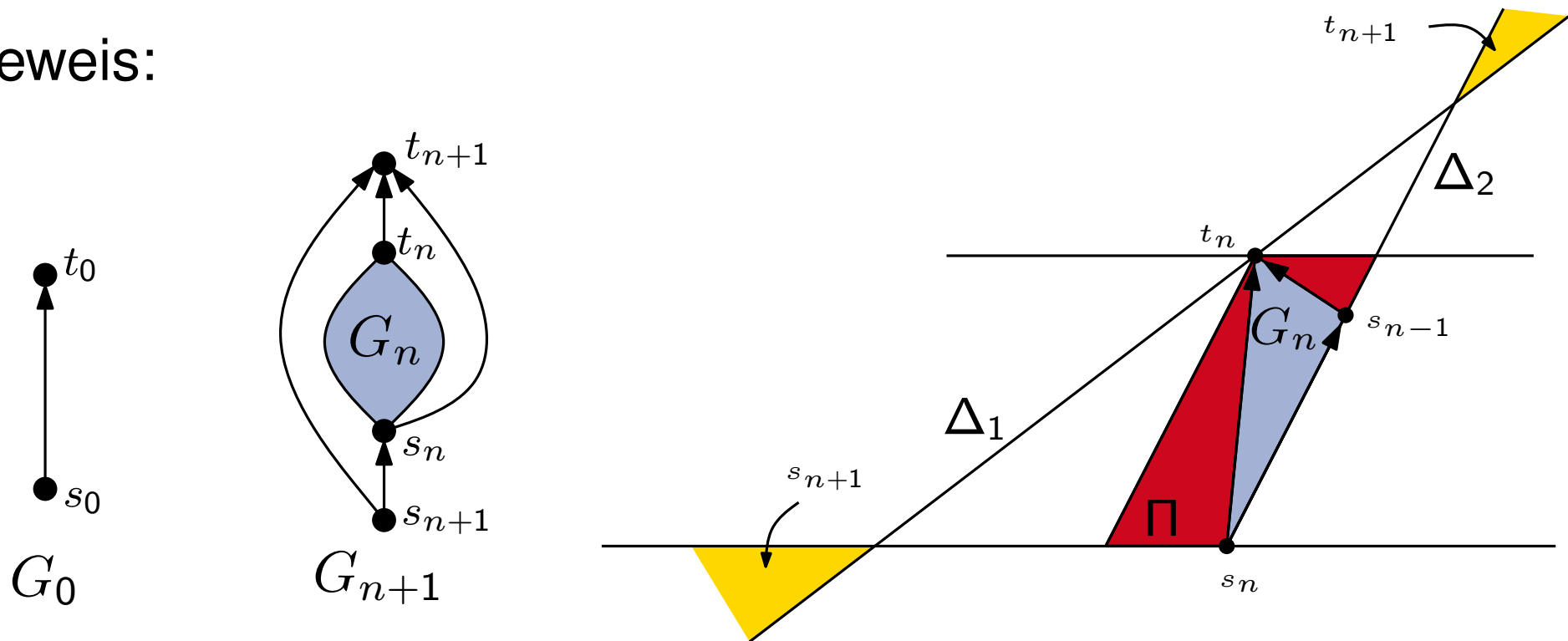


# Untere Schranke für die Fläche

## Satz

Jedes kreuzungsfreie Aufwärtlayout für geordnete einfache serien-parallele Graphen mit  $n$  Knoten benötigt im worst case ein Gitter der Größe  $\Omega(2^n)$ .

Beweis:

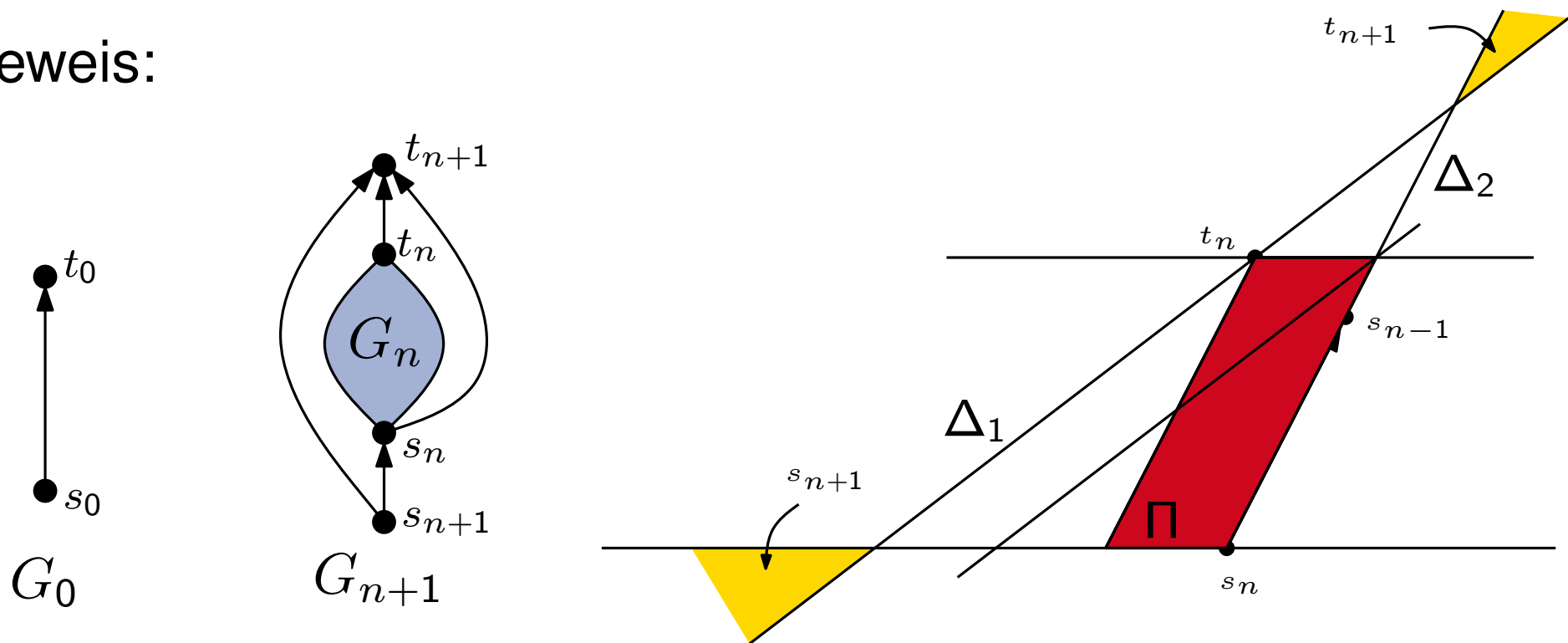


# Untere Schranke für die Fläche

## Satz

Jedes kreuzungsfreie Aufwärtlayout für geordnete einfache serien-parallele Graphen mit  $n$  Knoten benötigt im worst case ein Gitter der Größe  $\Omega(2^n)$ .

Beweis:

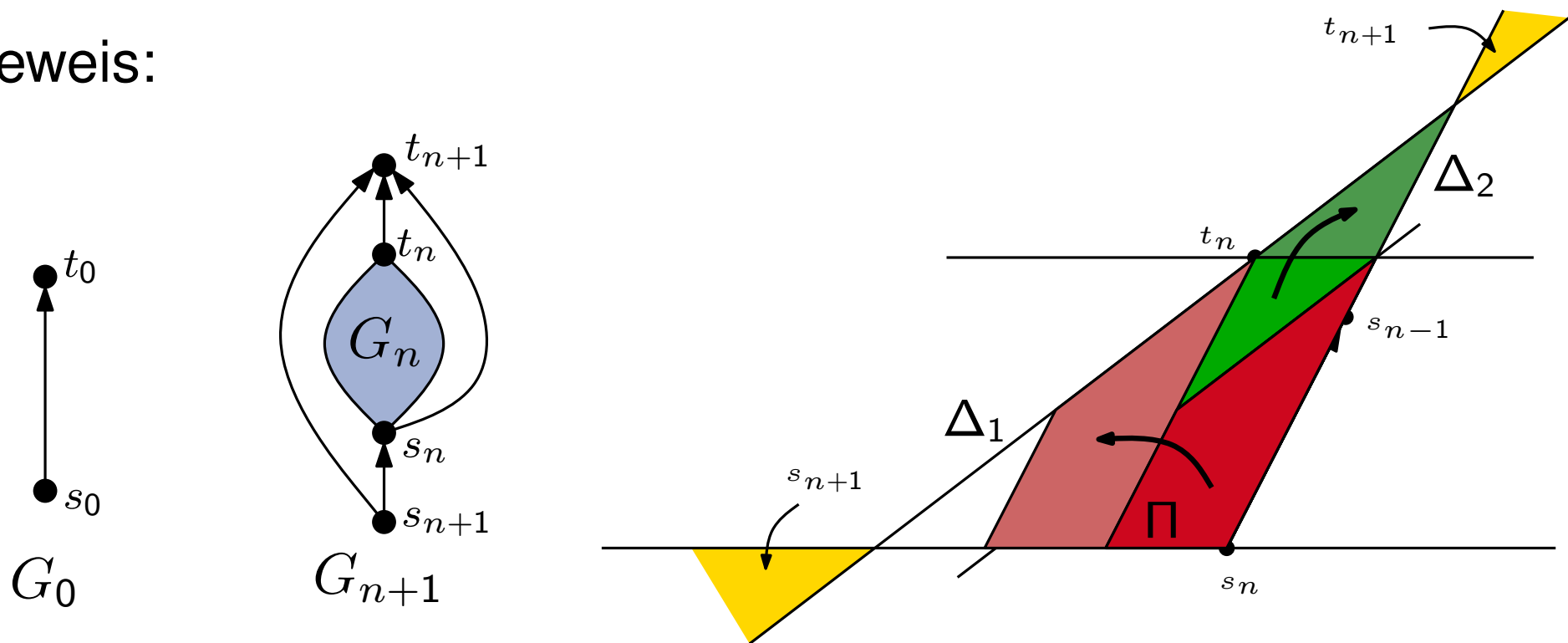


# Untere Schranke für die Fläche

## Satz

Jedes kreuzungsfreie Aufwärtlayout für geordnete einfache serien-parallele Graphen mit  $n$  Knoten benötigt im worst case ein Gitter der Größe  $\Omega(2^n)$ .

Beweis:

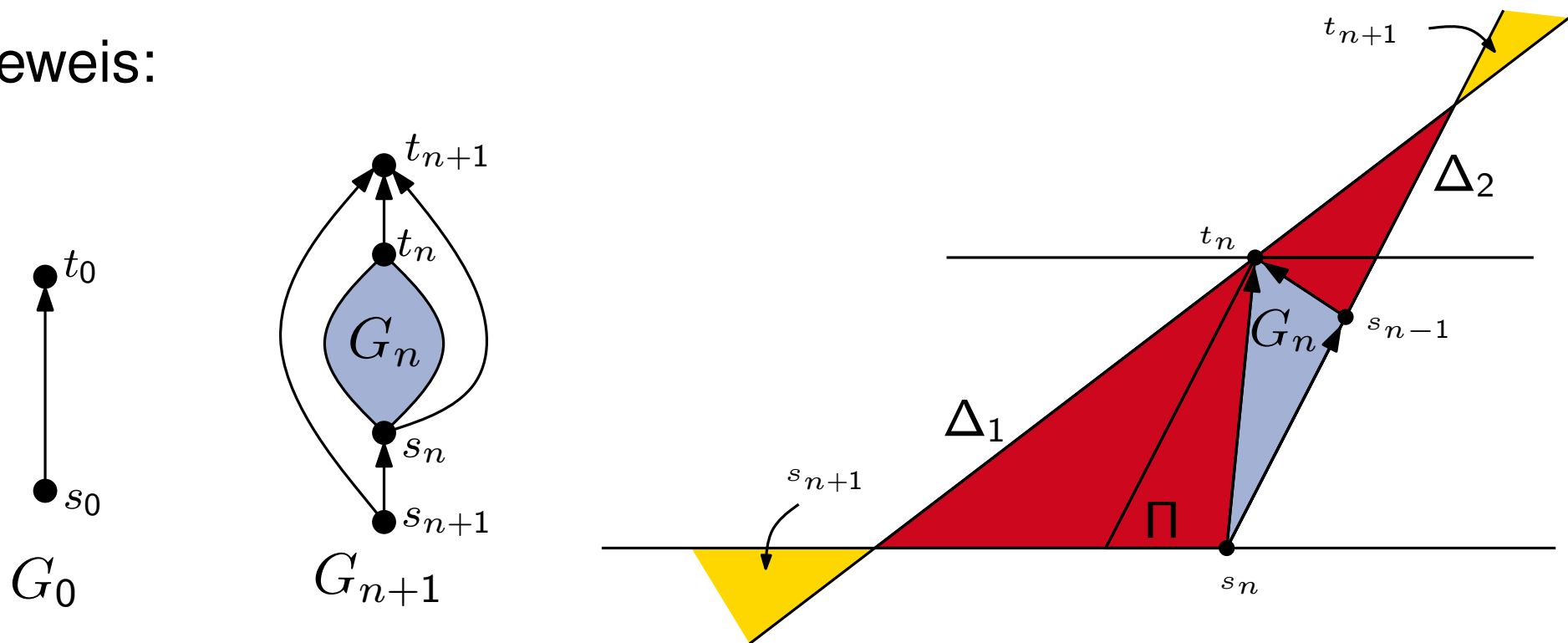


# Untere Schranke für die Fläche

## Satz

Jedes kreuzungsfreie Aufwärtlayout für geordnete einfache serien-parallele Graphen mit  $n$  Knoten benötigt im worst case ein Gitter der Größe  $\Omega(2^n)$ .

Beweis:



# Linkslastige Ordnungen

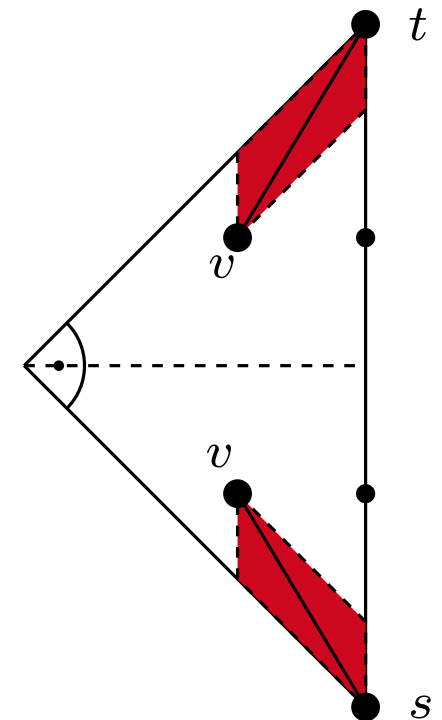
Ordnung heißt **linkslastig**, wenn Q-Knoten nur als rechte Nachfolger von P-Knoten vorkommen.

## Satz

Wenn  $G$  serien-parallel, einfach und linkslastig geordnet, so besitzt  $G$  Zeichnung der Größe  $O(n^2)$ .

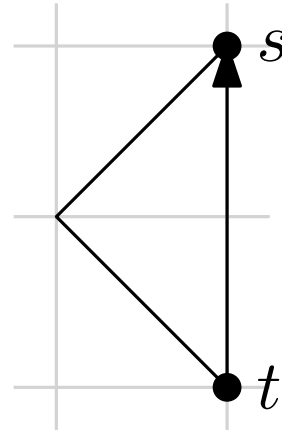
Komponenten des Dekompositionsbaums:

- Layout von  $G$  passt in rechtwinkliges, gleichschenkliges Dreieck mit vertikaler Basis, Schenkel nach links.
- Quelle in unterer Ecke, Senke in oberer Ecke, linke Ecke frei
- rechtester Nachbar von  $s \neq t$  ( $t \neq s$ ) liegt unterhalb (oberhalb) der Mitte
- $v$  Nachbar der Quelle (Senke)  $\Rightarrow$  kein Knoten liegt im **Parallelogramm** von  $v$  und  $s$  ( $t$ ).



# Konstruktion

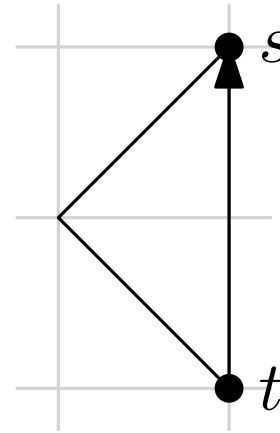
Q-Knoten (Induktionsanfang):



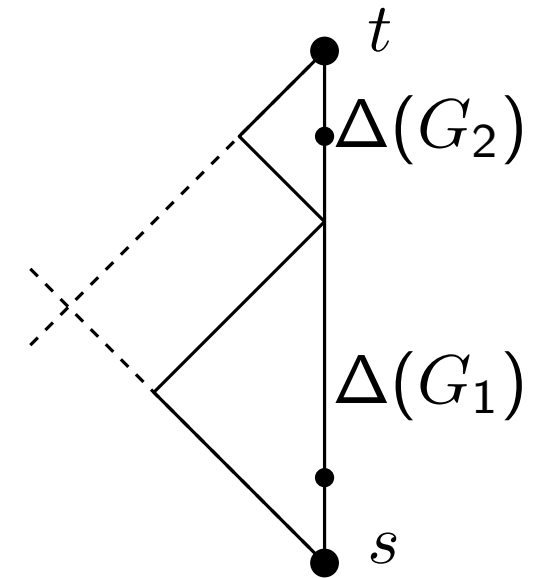


# Konstruktion

Q-Knoten (Induktionsanfang):

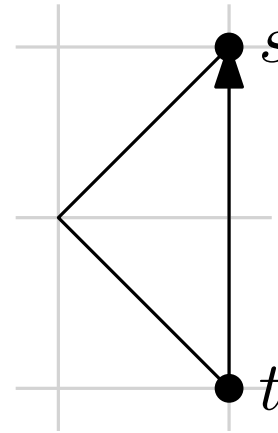


S-Knoten (serielle Komposition):

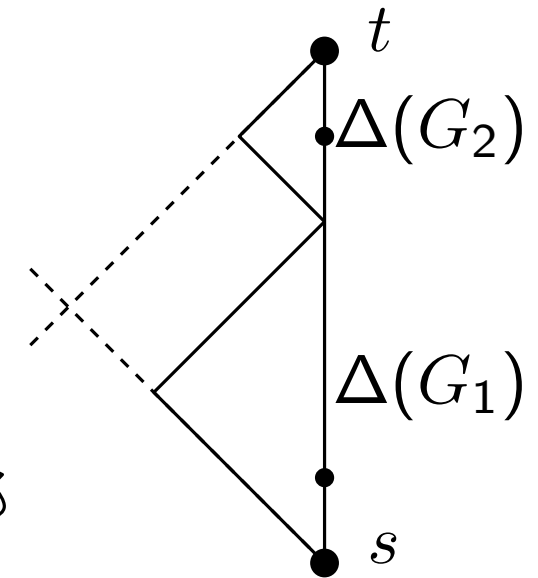


# Konstruktion

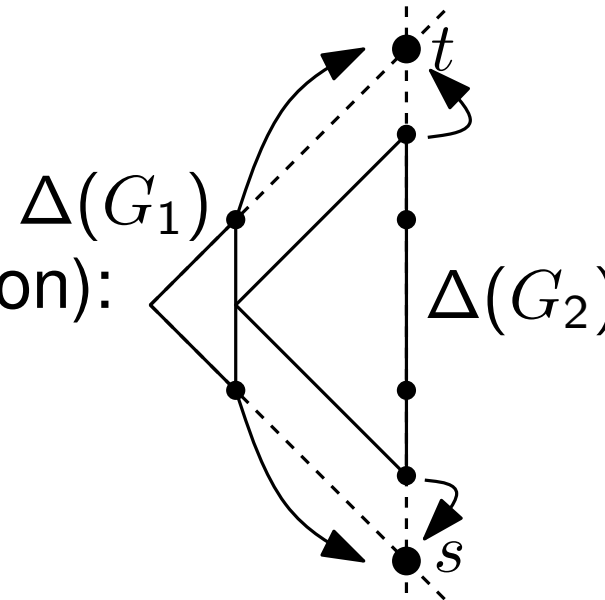
Q-Knoten (Induktionsanfang):



S-Knoten (serielle Komposition):

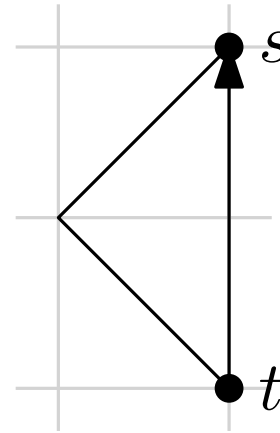


P-Knoten (parallele Komposition):

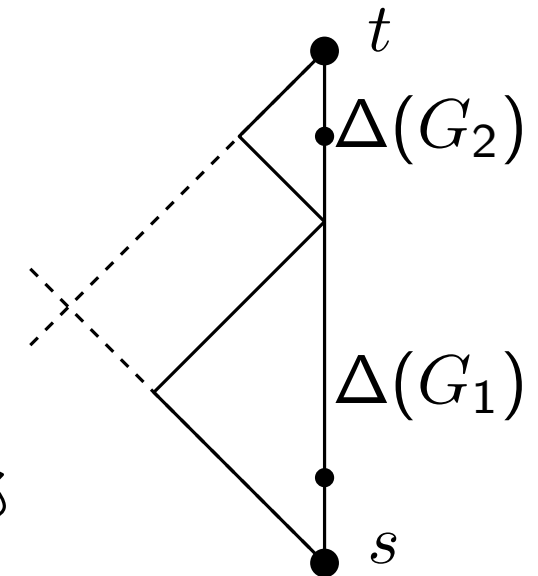


# Konstruktion

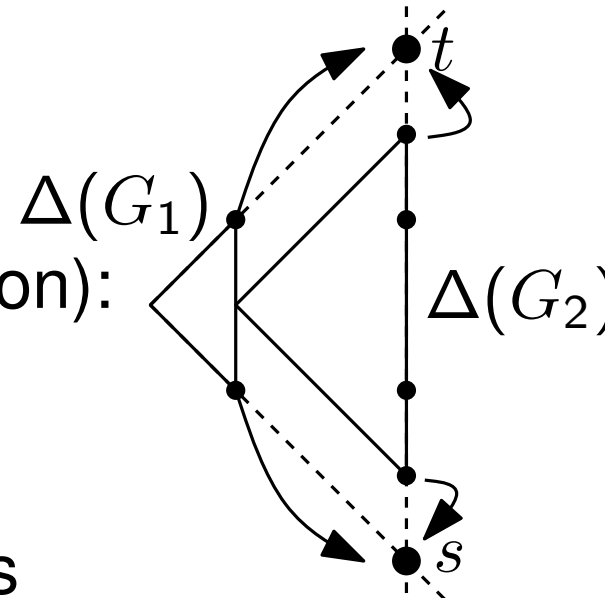
Q-Knoten (Induktionsanfang):



S-Knoten (serielle Komposition):



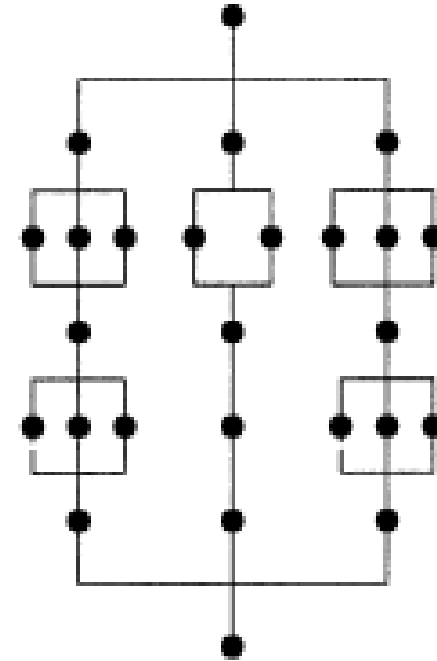
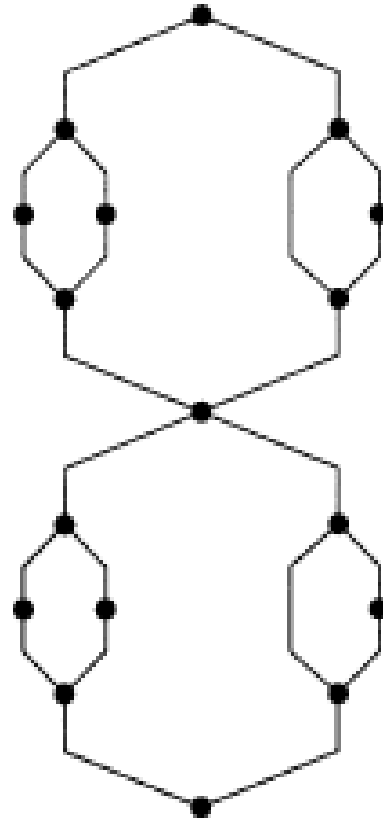
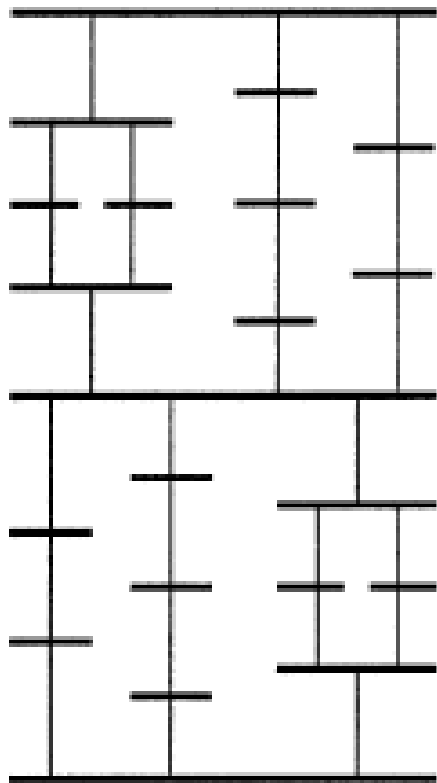
P-Knoten (parallele Komposition):



Eigenschaften:

- kreuzungsfrei und aufwärts
- höchstens quadratische Fläche

# Darstellung von Symmetrien in Graphen



aus Hong, Eades, Lee '00

## Definition: Automorphismen eines DAG

Ein Automorphismus eines DAG  $G = (V, E)$  ist eine Knotenpermutation  $\pi : V \rightarrow V$ , die Adjazenzen respektiert und alle Kantenrichtungen erhält oder alle Kantenrichtungen umdreht:

$$(u, v) \in E \Leftrightarrow (\pi(u), \pi(v)) \in E$$

oder

$$(u, v) \in E \Leftrightarrow (\pi(v), \pi(u)) \in E.$$

Die Automorphismen von  $G$  bilden mit der Hintereinanderausführung eine Gruppe.

## Definition: Automorphismen eines DAG

Ein Automorphismus eines DAG  $G = (V, E)$  ist eine Knotenpermutation  $\pi : V \rightarrow V$ , die Adjazenzen respektiert und alle Kantenrichtungen erhält oder alle Kantenrichtungen umdreht:

$$(u, v) \in E \Leftrightarrow (\pi(u), \pi(v)) \in E$$

oder

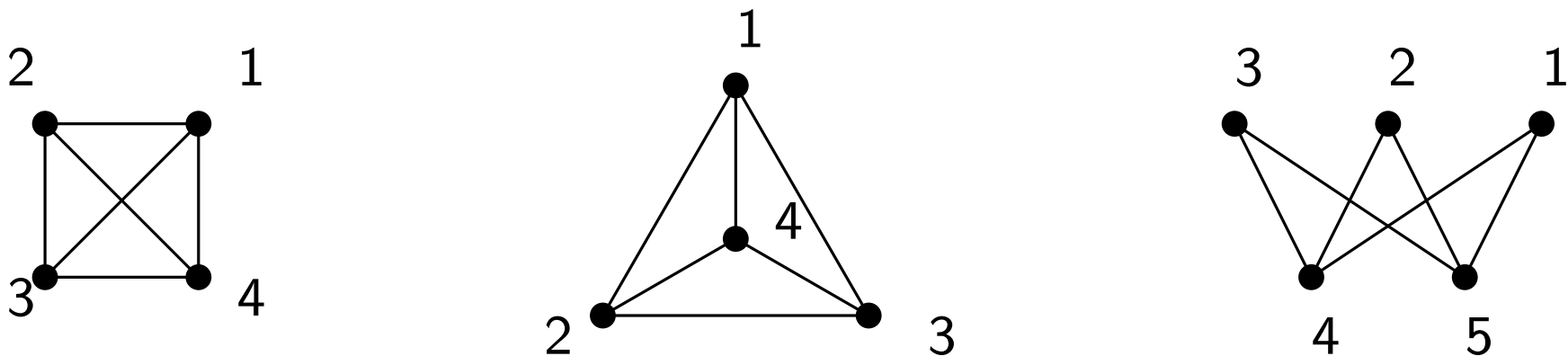
$$(u, v) \in E \Leftrightarrow (\pi(v), \pi(u)) \in E.$$

Die Automorphismen von  $G$  bilden mit der Hintereinanderausführung eine Gruppe.

- die Automorphismengruppe eines Graphen zu bestimmen ist GI-vollständig
- für Graphen mit beschränktem Maximalgrad und planare Graphen geht das in Polynomialzeit

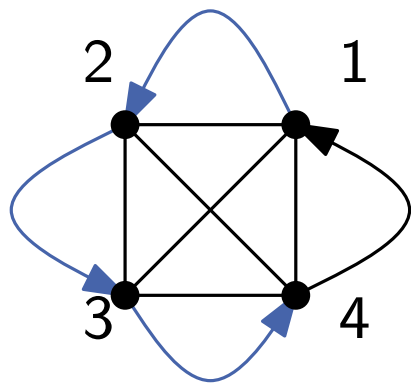
# Darstellbare Symmetrien

- ein Automorphismus  $\pi$  eines Graphen ist **darstellbar**, wenn es eine Zeichnung gibt, die eine Symmetrie enthält, welche  $\pi$  induziert
- Lin charakterisiert darstellbare Automorphismen [Lin '92]
- Darstellbare Automorphismen eines Graphen zu finden ist NP-schwer
- für planare Graphen ist das wieder in Polynomialzeit möglich

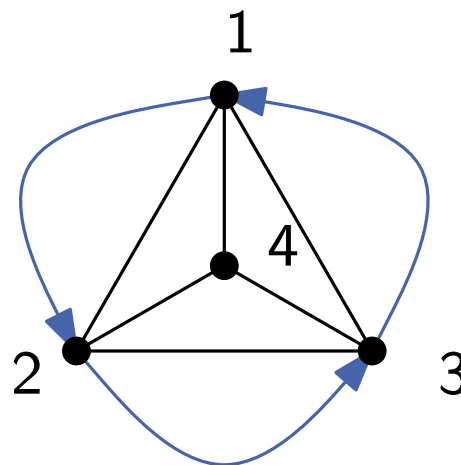


# Darstellbare Symmetrien

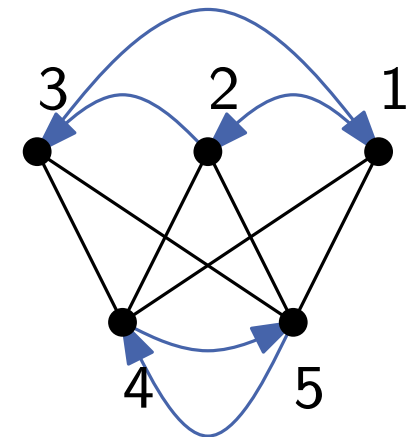
- ein Automorphismus  $\pi$  eines Graphen ist **darstellbar**, wenn es eine Zeichnung gibt, die eine Symmetrie enthält, welche  $\pi$  induziert
- Lin charakterisiert darstellbare Automorphismen [Lin '92]
- Darstellbare Automorphismen eines Graphen zu finden ist NP-schwer
- für planare Graphen ist das wieder in Polynomialzeit möglich



stellt  $1 \rightarrow 2 \rightarrow 3 \rightarrow 4 \rightarrow 1$  dar,  
aber nicht  $1 \rightarrow 2 \rightarrow 3 \rightarrow 1$



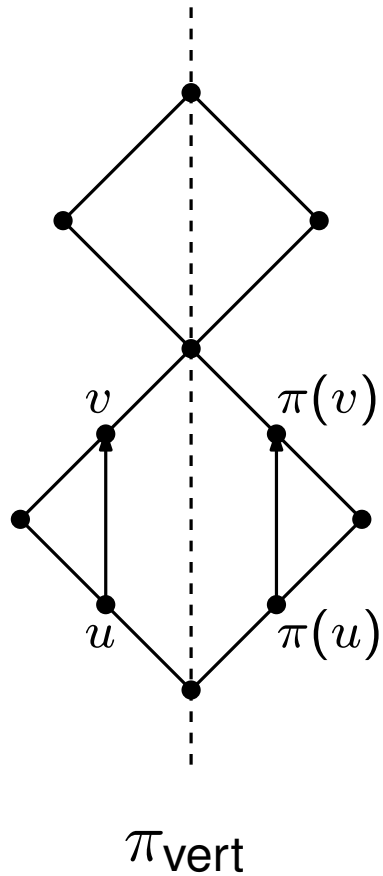
stellt  $1 \rightarrow 2 \rightarrow 3 \rightarrow 1$  dar, aber  
nicht  $1 \rightarrow 2 \rightarrow 3 \rightarrow 4 \rightarrow 1$



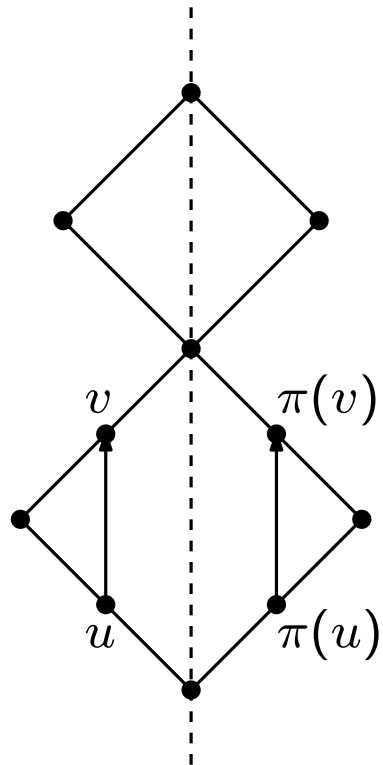
$1 \rightarrow 2 \rightarrow 3 \rightarrow 1, 4 \rightarrow 5 \rightarrow 4$   
nicht darstellbar



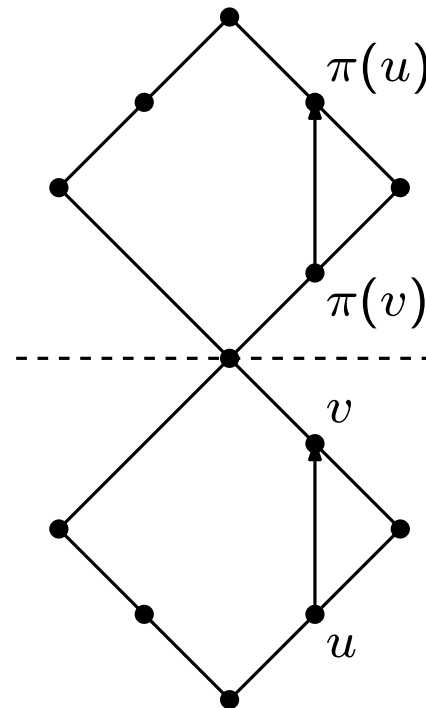
# Symmetrien in SP-Graphen



# Symmetrien in SP-Graphen

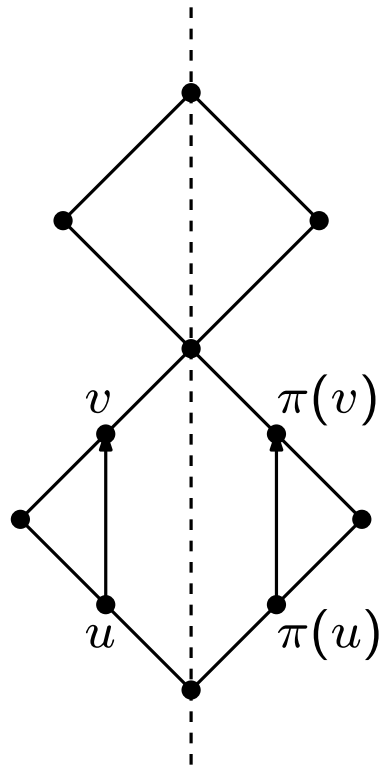


$\pi_{\text{vert}}$

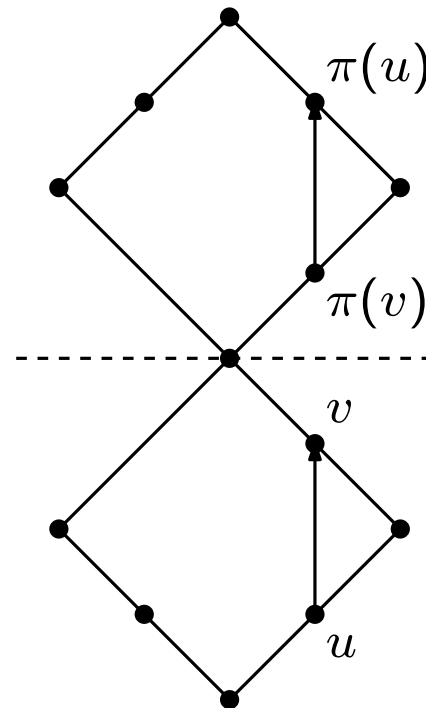


$\pi_{\text{hor}}$

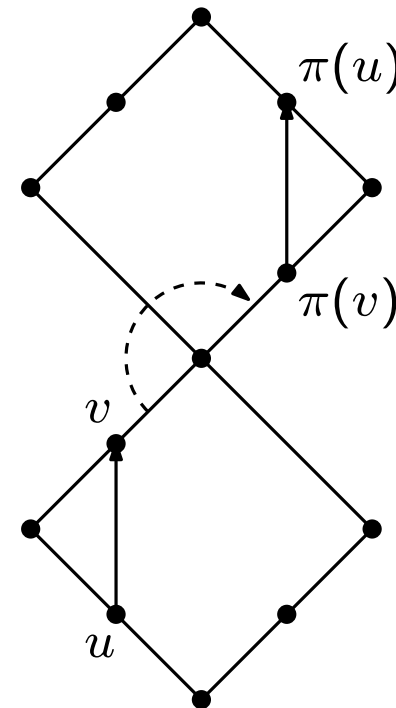
# Symmetrien in SP-Graphen



$\pi_{\text{vert}}$

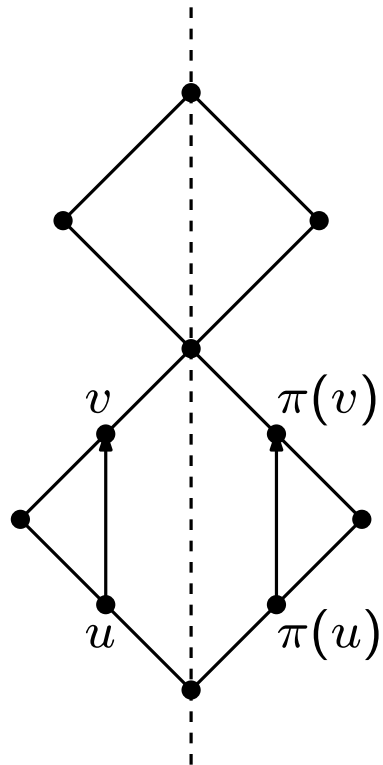


$\pi_{\text{hor}}$

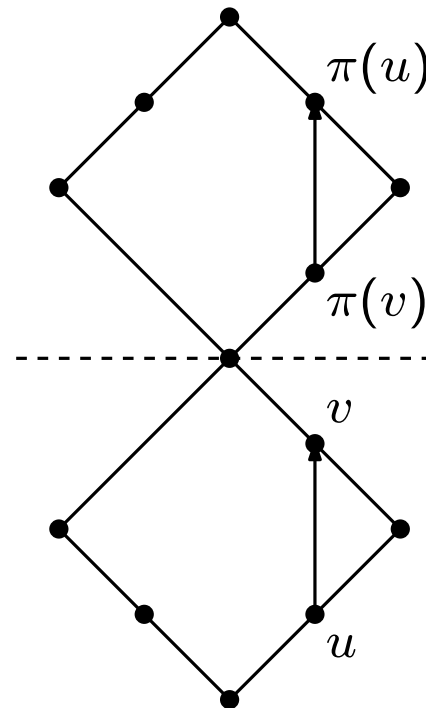


$\pi_{\text{rot}}$

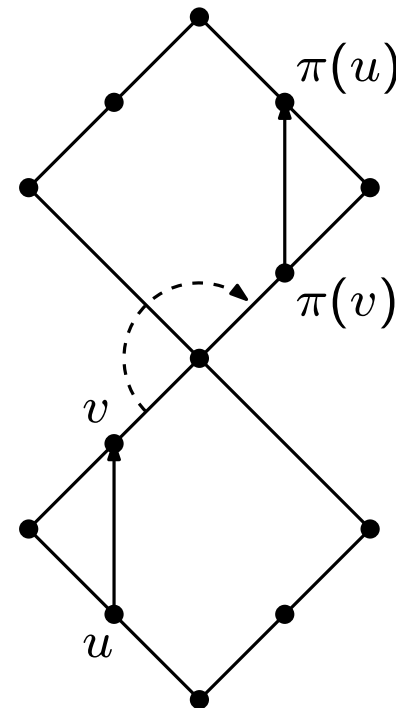
# Symmetrien in SP-Graphen



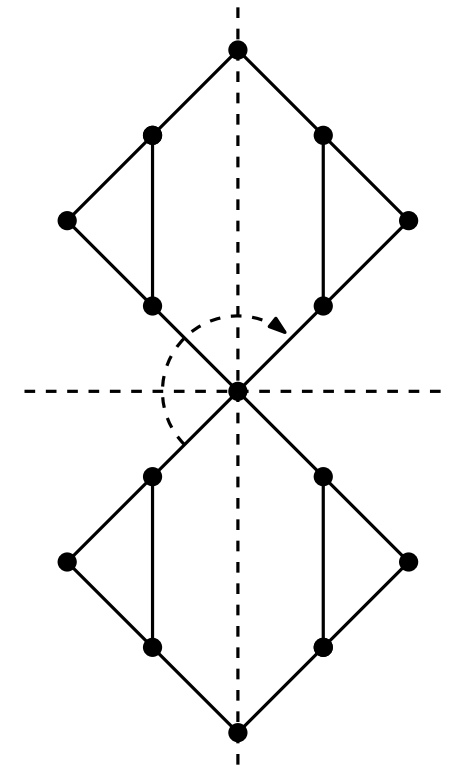
$\pi_{\text{vert}}$



$\pi_{\text{hor}}$



$\pi_{\text{rot}}$



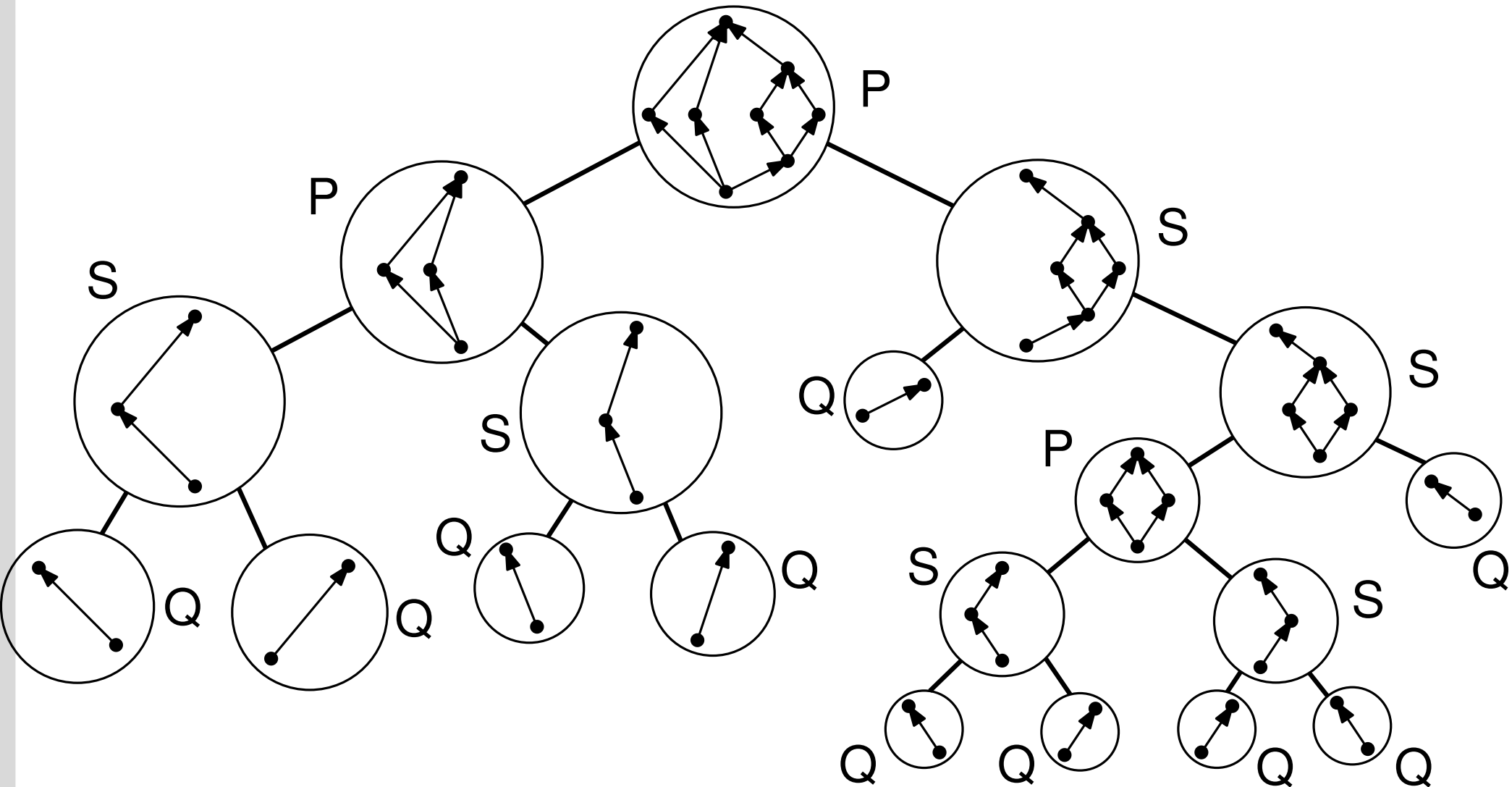
$\{\pi_{\text{vert}}, \pi_{\text{hor}}, \pi_{\text{rot}}\}$

## Satz (Hong, Eades, Lee '00)

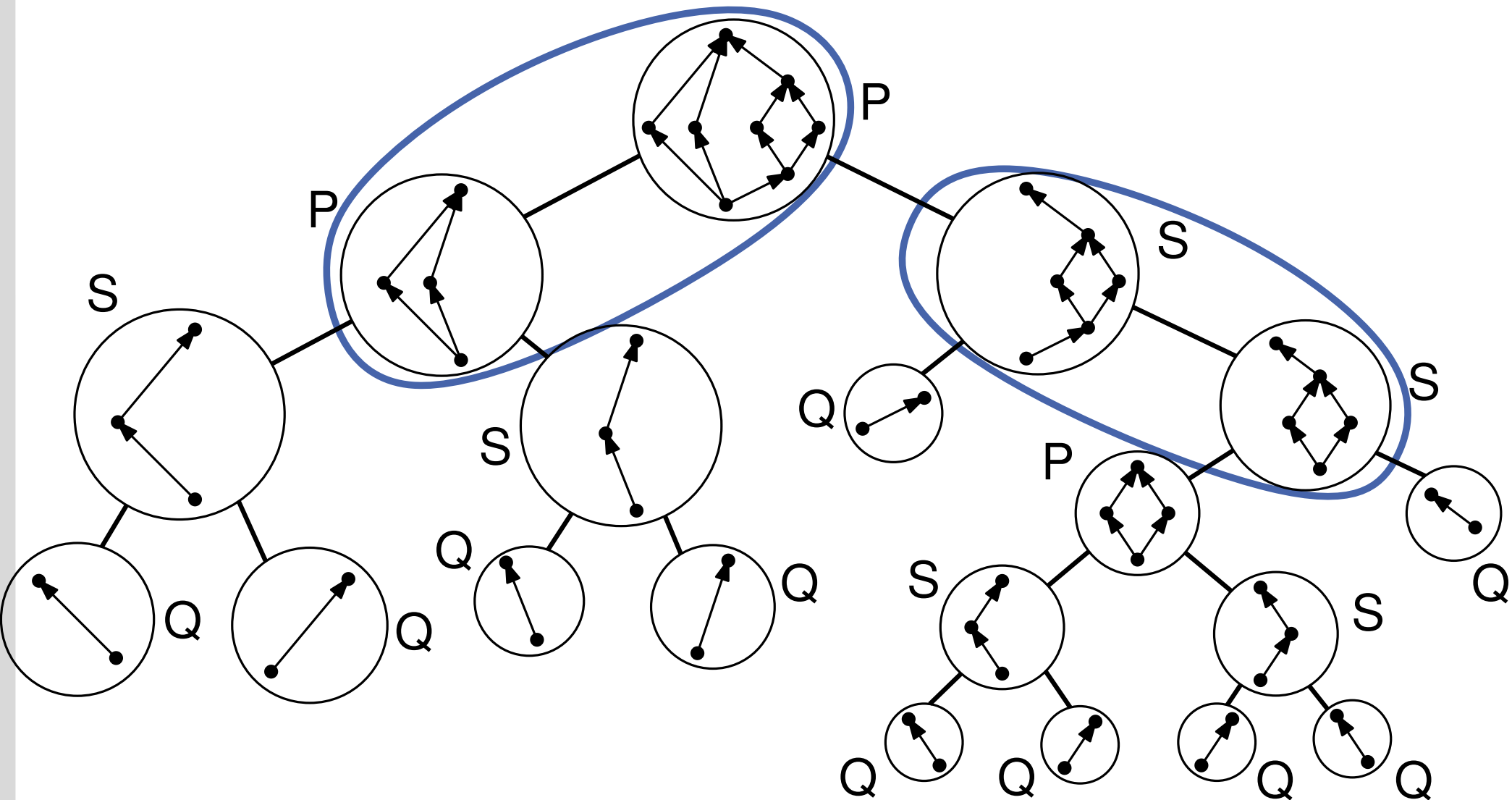
Die in einem kreuzungsfreien Aufwärtslayout eines SP-Graphen darstellbaren Symmetrien sind entweder

- $\{\text{id}\}$
- $\{\text{id}, \pi\}$  mit  $\pi \in \{\pi_{\text{vert}}, \pi_{\text{hor}}, \pi_{\text{rot}}\}$
- $\{\text{id}, \pi_{\text{vert}}, \pi_{\text{hor}}, \pi_{\text{rot}}\}$ .

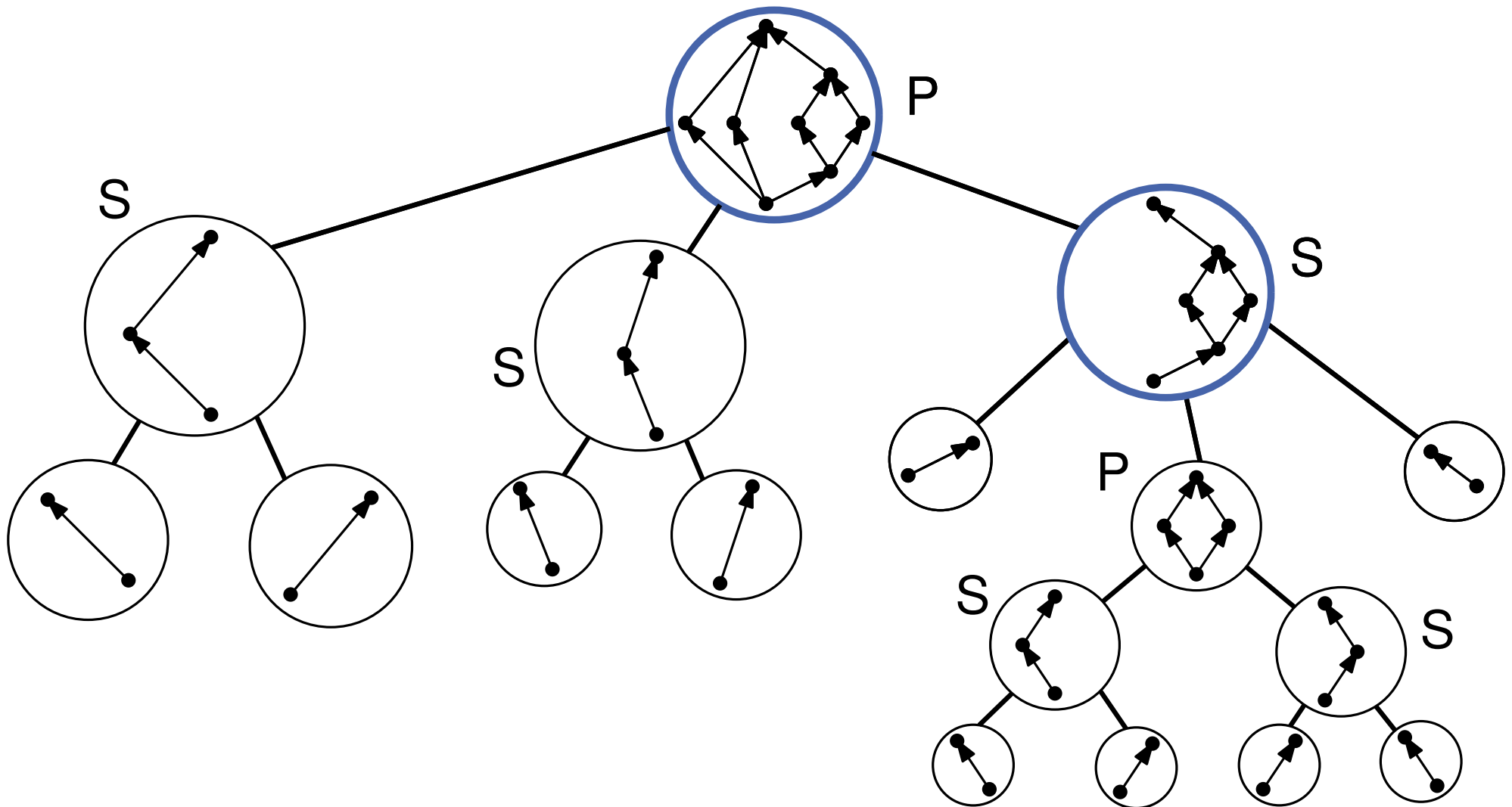
# Knotenkodierung im Dekompositionsbaum



# Knotenkodierung im Dekompositionsbaum



# Knotenkodierung im Dekompositionsbaum





## Kanonische Kodierung

- Setze  $C(G) = \langle 0 \rangle$  für alle Q-Knoten  $G$ .

## Kanonische Kodierung

- Setze  $C(G) = \langle 0 \rangle$  für alle Q-Knoten  $G$ .
- Für jede Tiefe  $t = \max_G \text{tiefe}(G), \dots, 0$ 
  - Für jeden S- oder P-Knoten  $G$  der Tiefe  $t$  mit Nachfolgern  $G_1, \dots, G_k$  setze  $C(G) = \langle c(G_1), \dots, c(G_k) \rangle$  und sortiere  $C(G)$  nichtabsteigend, falls  $G$  ein P-Knoten ist.

## Kanonische Kodierung

- Setze  $C(G) = \langle 0 \rangle$  für alle Q-Knoten  $G$ .
- Für jede Tiefe  $t = \max_G \text{tiefe}(G), \dots, 0$ 
  - Für jeden S- oder P-Knoten  $G$  der Tiefe  $t$  mit Nachfolgern  $G_1, \dots, G_k$  setze  $C(G) = \langle c(G_1), \dots, c(G_k) \rangle$  und sortiere  $C(G)$  nichtabsteigend, falls  $G$  ein P-Knoten ist.
  - Sortiere die Menge der Tupel aller Knoten der Tiefe  $t$  lexikographisch.

## Kanonische Kodierung

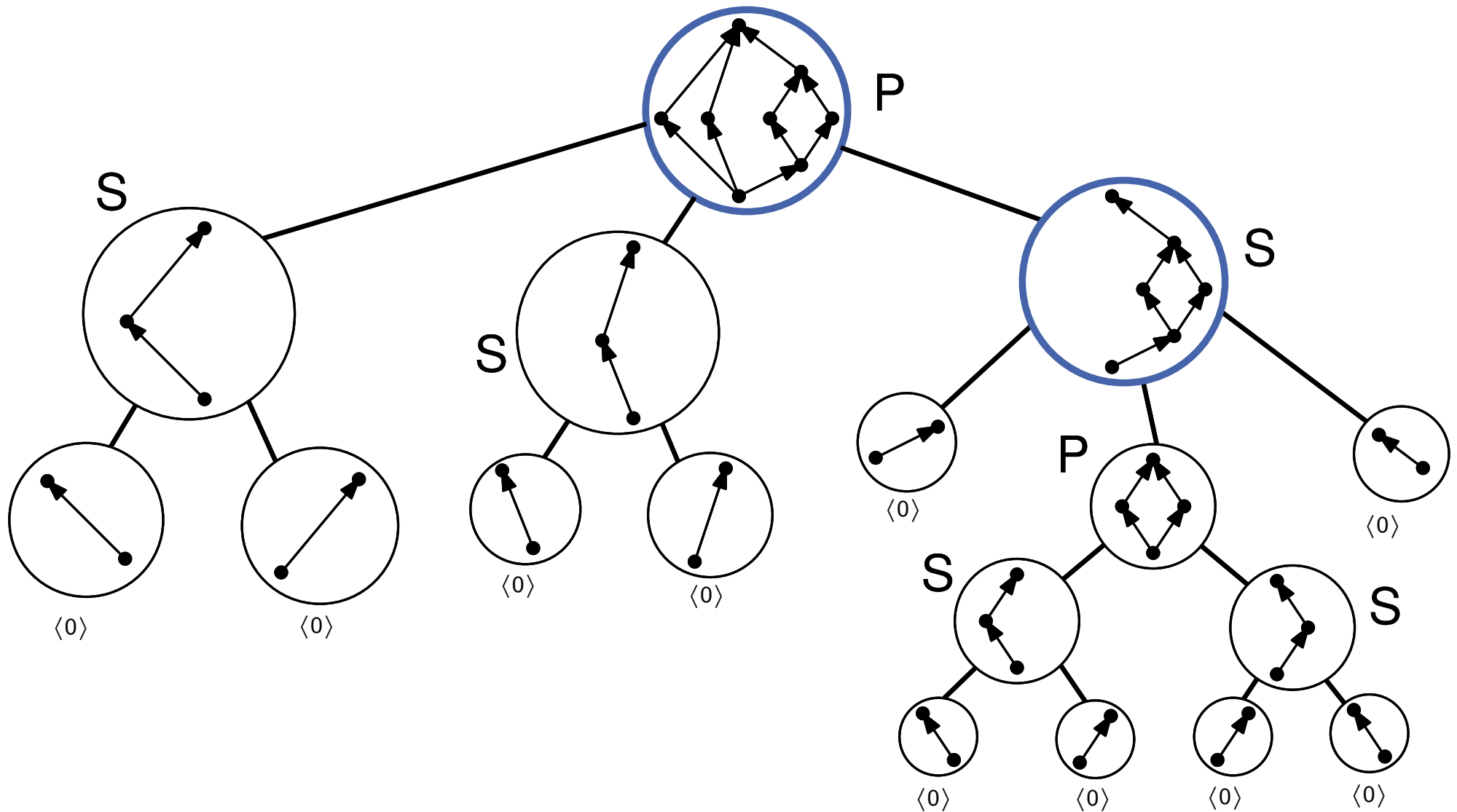
- Setze  $C(G) = \langle 0 \rangle$  für alle Q-Knoten  $G$ .
- Für jede Tiefe  $t = \max_G \text{tiefe}(G), \dots, 0$ 
  - Für jeden S- oder P-Knoten  $G$  der Tiefe  $t$  mit Nachfolgern  $G_1, \dots, G_k$  setze  $C(G) = \langle c(G_1), \dots, c(G_k) \rangle$  und sortiere  $C(G)$  nichtabsteigend, falls  $G$  ein P-Knoten ist.
  - Sortiere die Menge der Tupel aller Knoten der Tiefe  $t$  lexikographisch.
  - Für jede Komponente  $G$  der Tiefe  $t$  setze ihre Kodierung auf  $c$ , falls ihr Tupel in der sortierten Tupelfolge als  $c$ -tes verschiedenes Tupel auftritt.

## Kanonische Kodierung

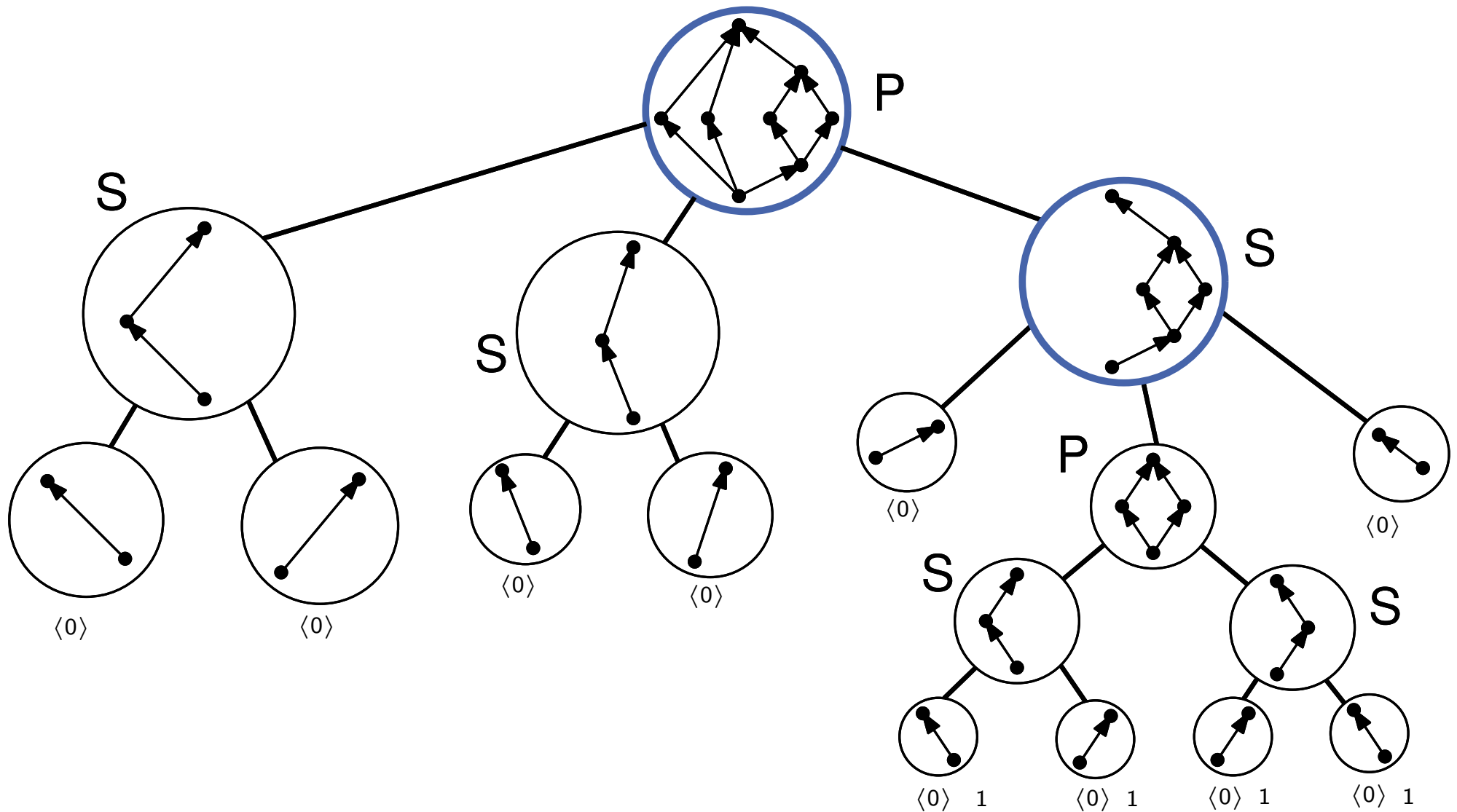
- Setze  $C(G) = \langle 0 \rangle$  für alle Q-Knoten  $G$ .
- Für jede Tiefe  $t = \max_G \text{tiefe}(G), \dots, 0$ 
  - Für jeden S- oder P-Knoten  $G$  der Tiefe  $t$  mit Nachfolgern  $G_1, \dots, G_k$  setze  $C(G) = \langle c(G_1), \dots, c(G_k) \rangle$  und sortiere  $C(G)$  nichtabsteigend, falls  $G$  ein P-Knoten ist.
  - Sortiere die Menge der Tupel aller Knoten der Tiefe  $t$  lexikographisch.
  - Für jede Komponente  $G$  der Tiefe  $t$  setze ihre Kodierung auf  $c$ , falls ihr Tupel in der sortierten Tupelfolge als  $c$ -tes verschiedenes Tupel auftritt.

Zwei Knoten  $u$  und  $v$  gleicher Tiefe sind genau dann isomorph, wenn sie den gleichen Code haben.

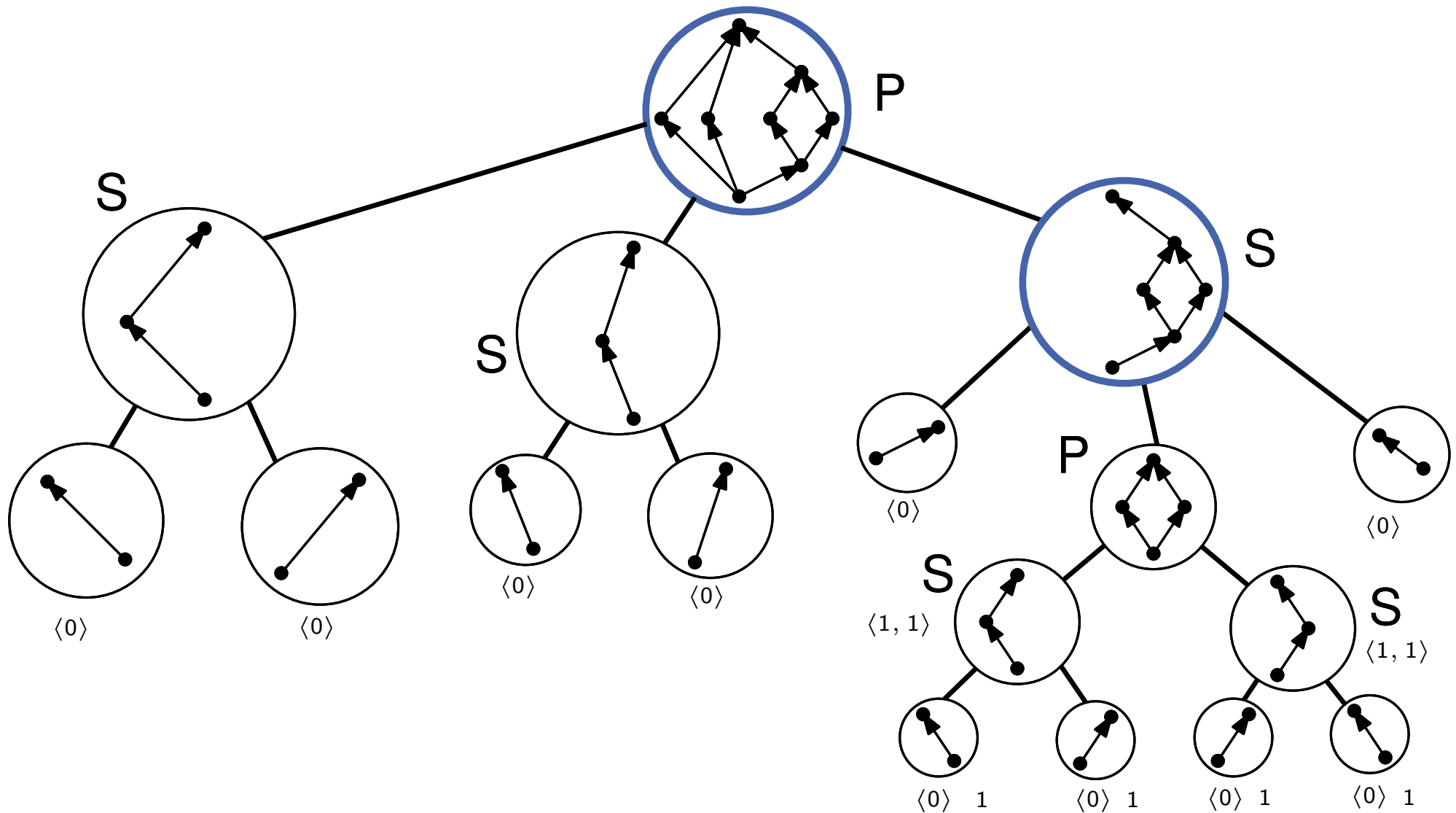
# Knotenkodierung im Dekompositionsbaum



# Knotenkodierung im Dekompositionsbaum

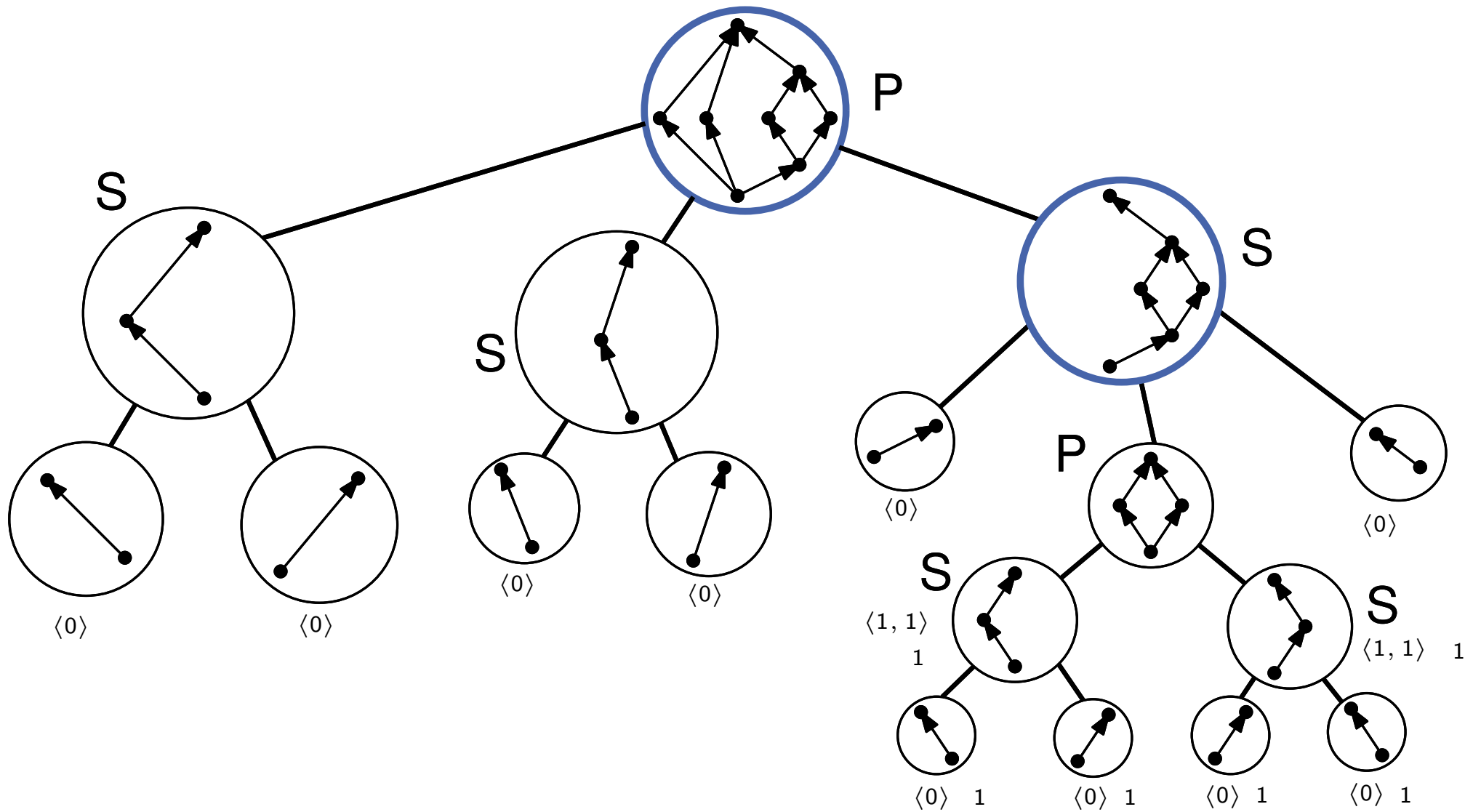


# Knotenkodierung im Dekompositionsbaum

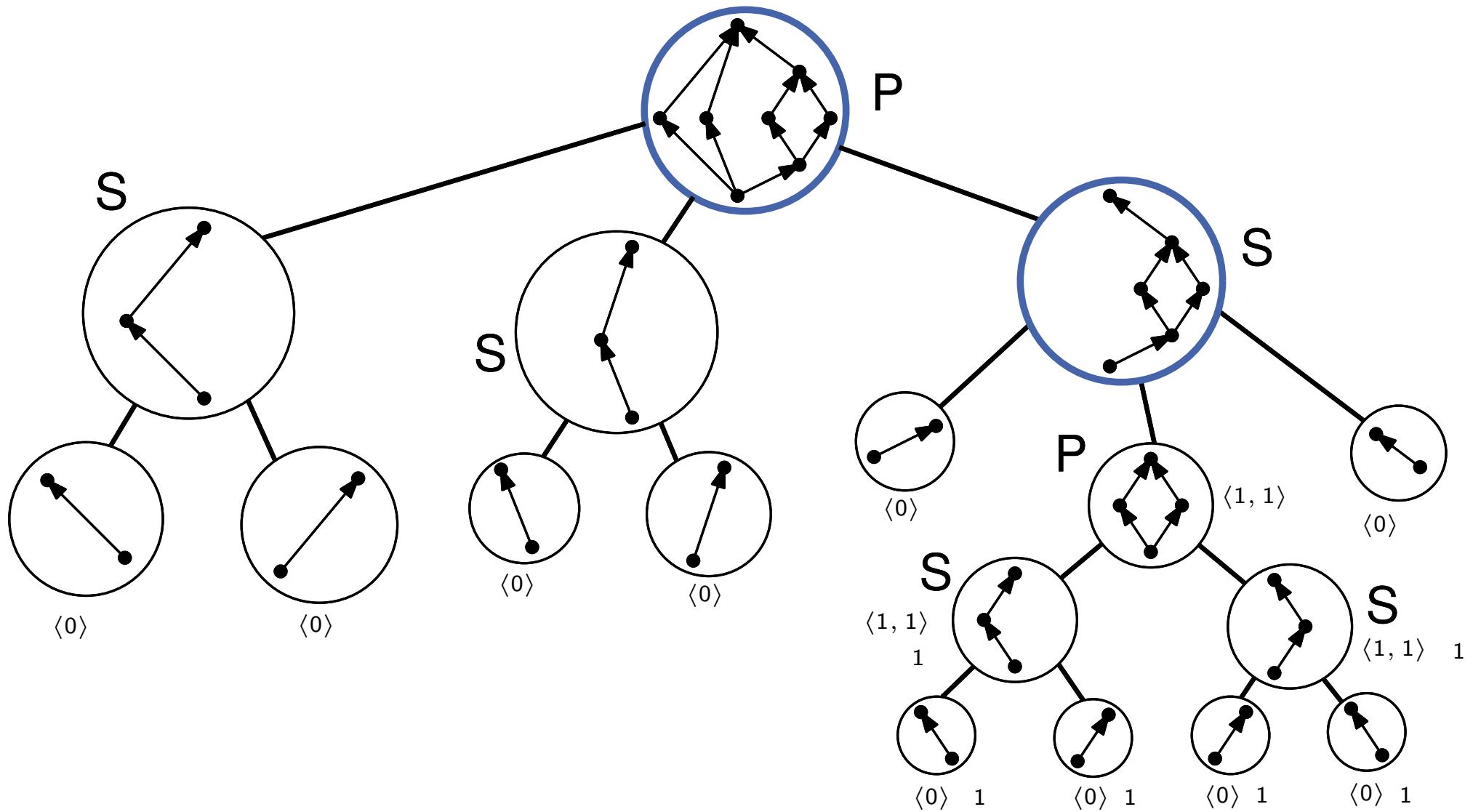




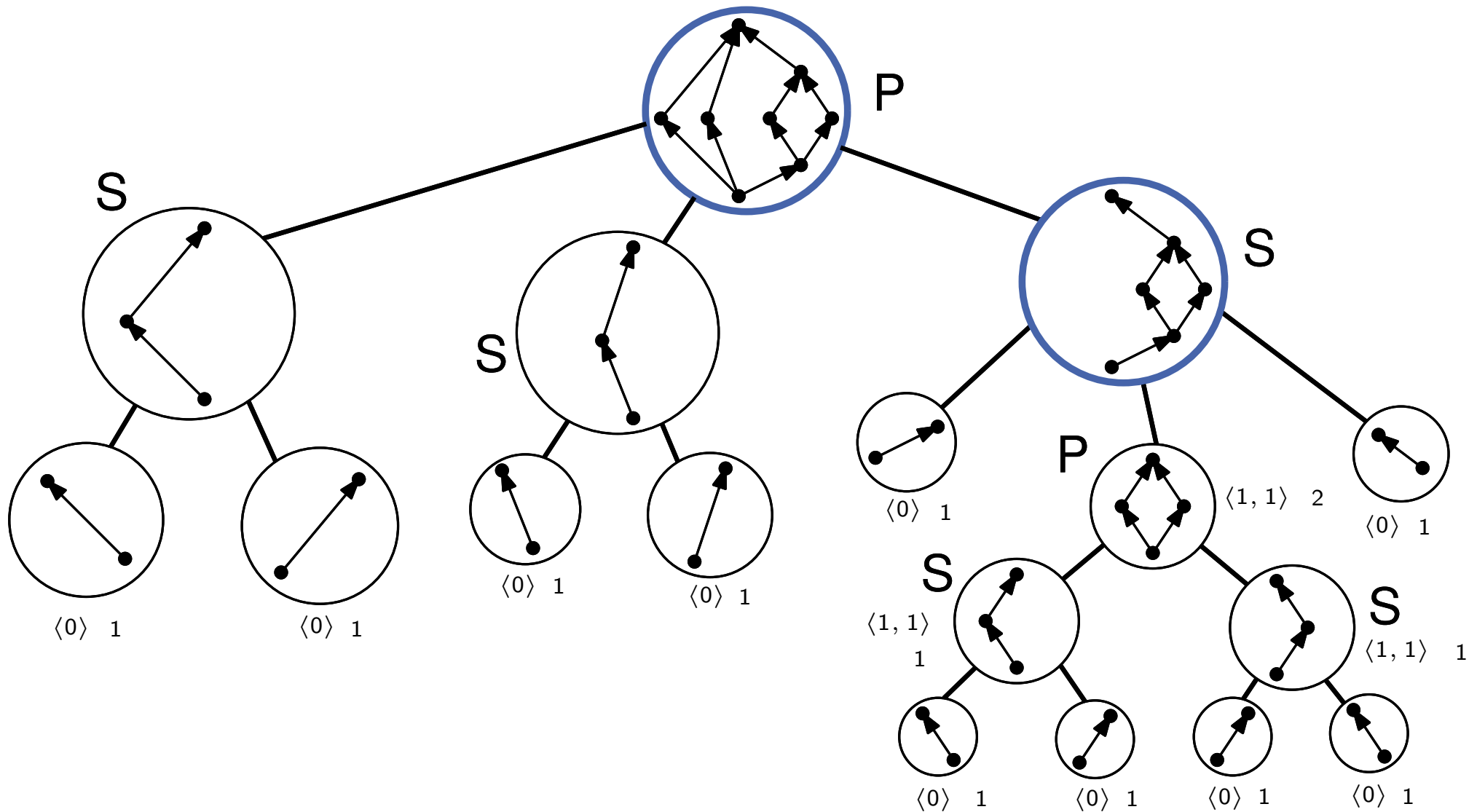
# Knotenkodierung im Dekompositionsbaum



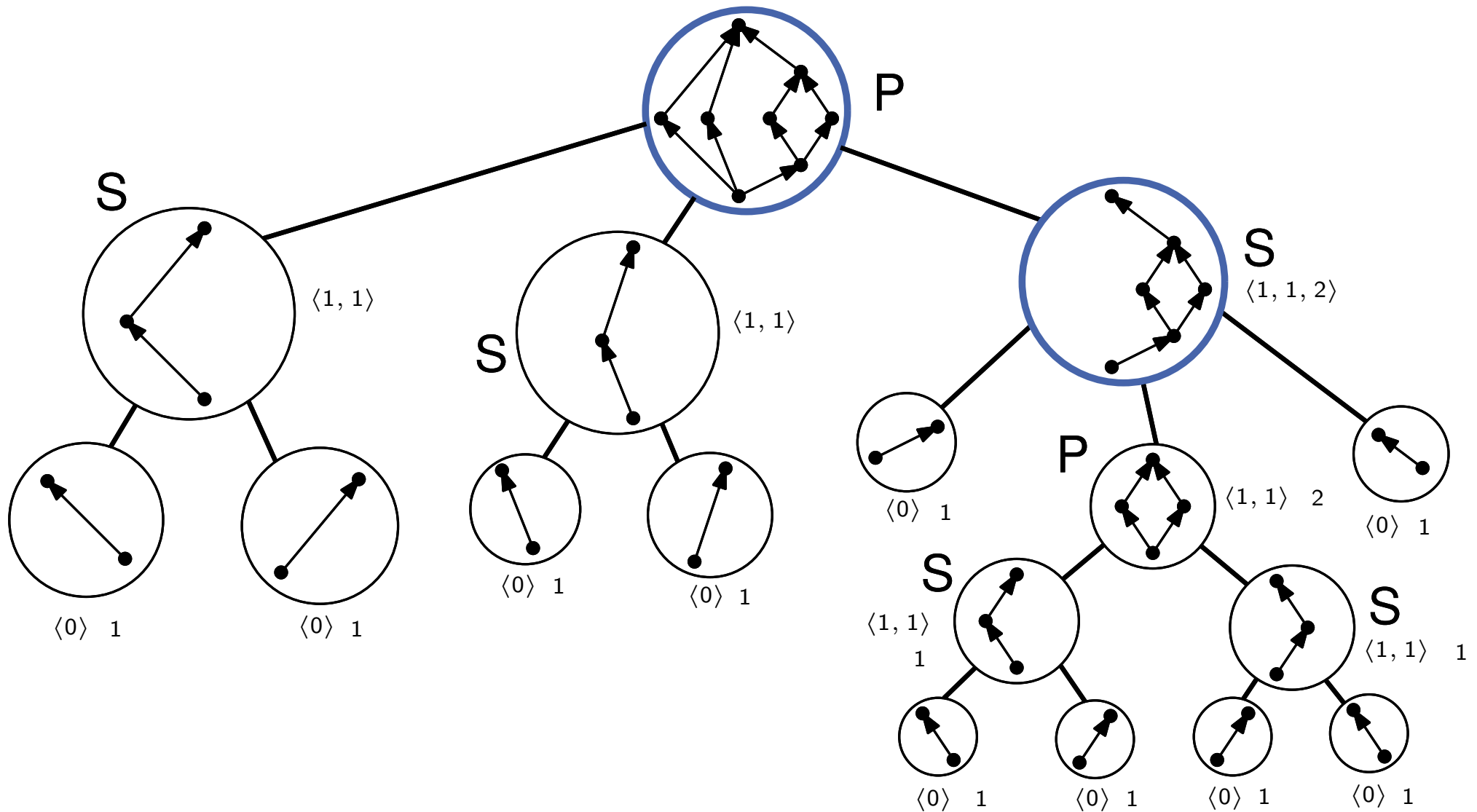
# Knotenkodierung im Dekompositionsbaum



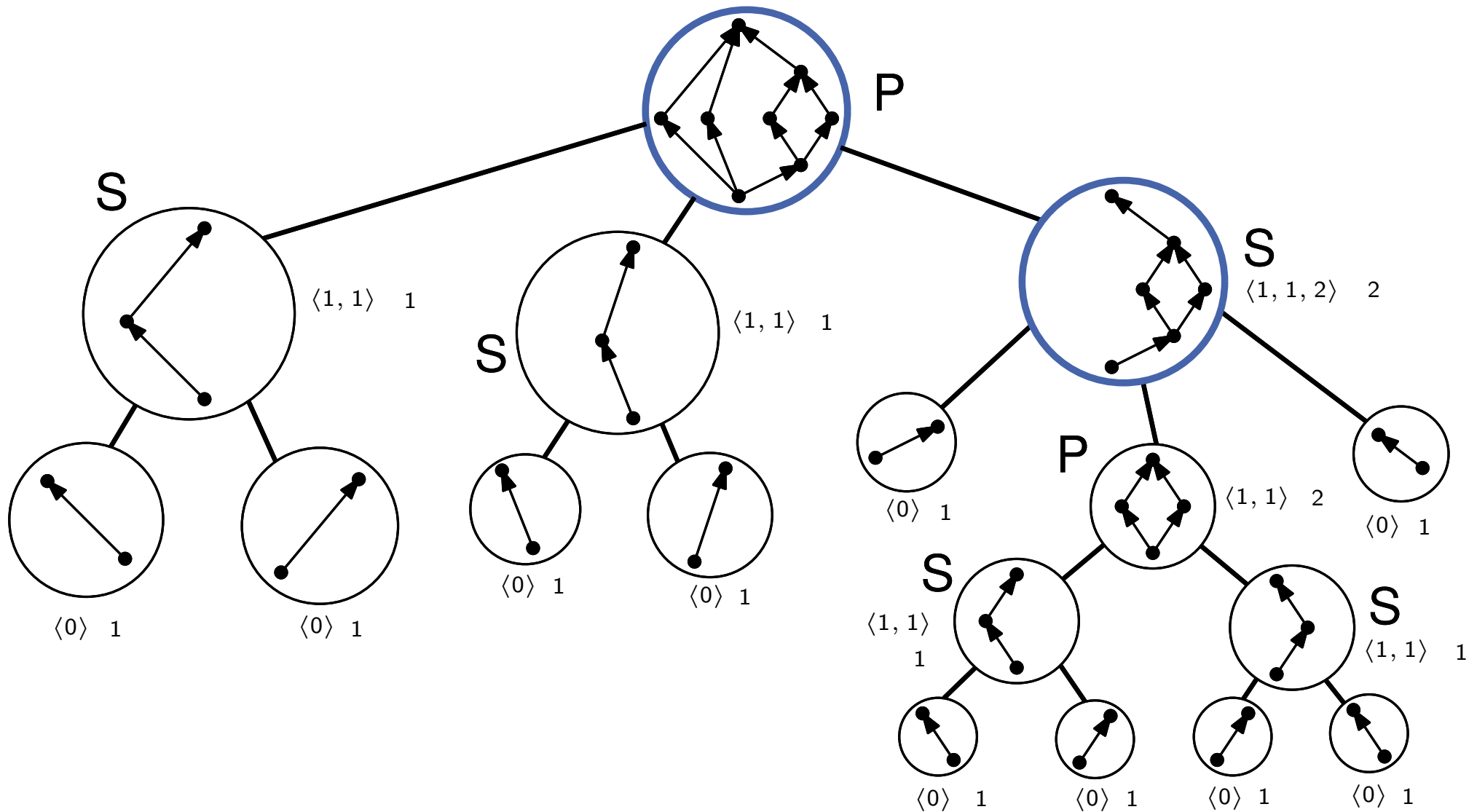
# Knotenkodierung im Dekompositionsbaum



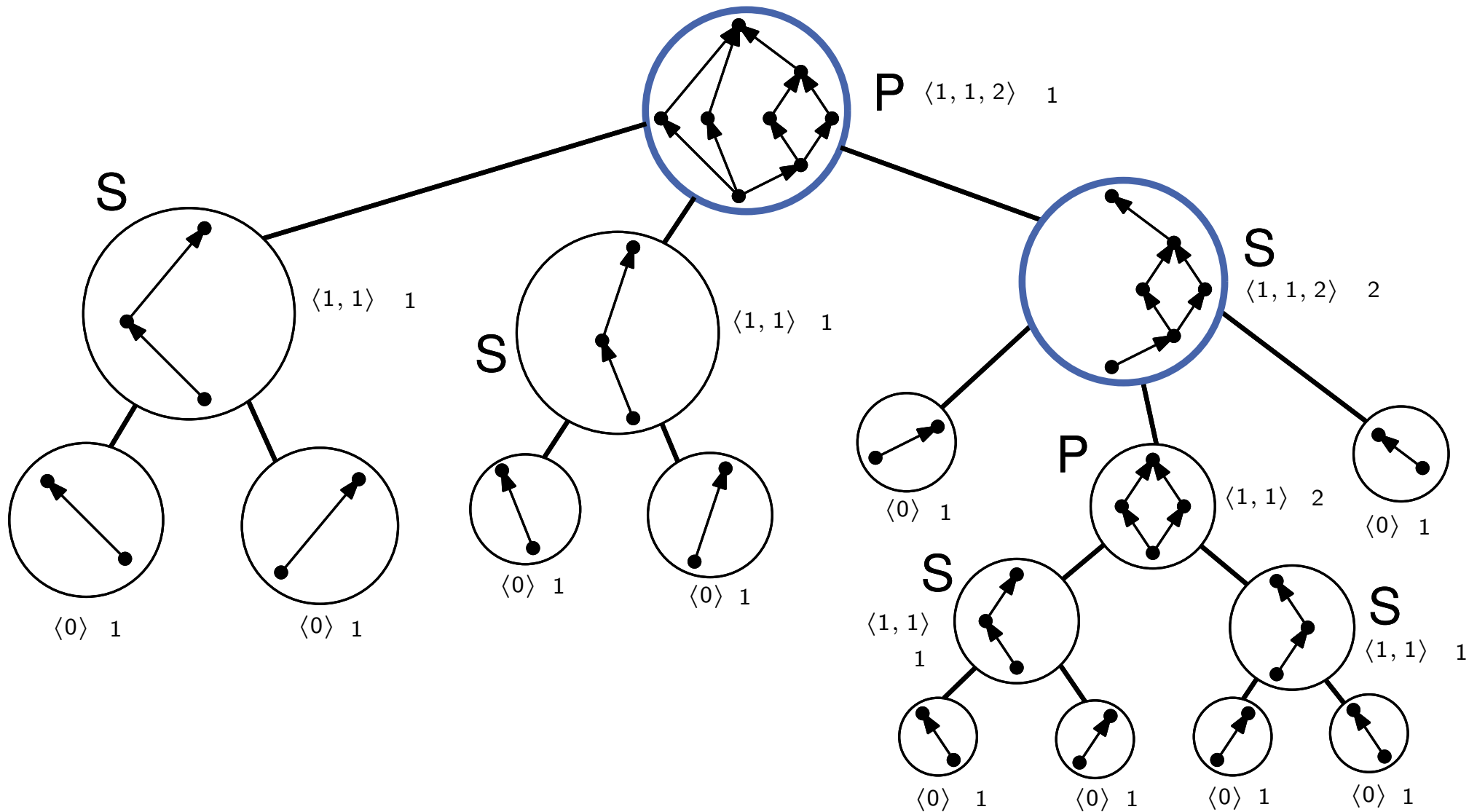
# Knotenkodierung im Dekompositionsbaum



# Knotenkodierung im Dekompositionsbaum



# Knotenkodierung im Dekompositionsbaum



## Satz (Hong, Eades, Lee '00)

Gegeben sei der kanonische Dekompositionsbaum eines serienparallelen Graphen. Es sei  $G$  eine Komponente, die durch Komposition der Komponenten  $G_1, \dots, G_k$  entstehe.

- Ist  $G$  ein S-Knoten, dann ist  $G$  vertikal symmetrisch, wenn alle  $G_1, \dots, G_k$  vertikal symmetrisch sind.

## Satz (Hong, Eades, Lee '00)

Gegeben sei der kanonische Dekompositionsbaum eines serienparallelen Graphen. Es sei  $G$  eine Komponente, die durch Komposition der Komponenten  $G_1, \dots, G_k$  entstehe.

- Ist  $G$  ein S-Knoten, dann ist  $G$  vertikal symmetrisch, wenn alle  $G_1, \dots, G_k$  vertikal symmetrisch sind.
- Ist  $G$  ein P-Knoten, so betrachten wir die Klassen  $\mathcal{G}_j = \{G_i : 1 \leq i \leq k, c(G_i) = j\}$ ,  $j = 1, \dots, k$ , von isomorphen Teilgraphen.
  - $|\mathcal{G}_j|$  gerade  $\forall j \Rightarrow$  vertikal symmetrisch



## Satz (Hong, Eades, Lee '00)

Gegeben sei der kanonische Dekompositionsbaum eines serienparallelen Graphen. Es sei  $G$  eine Komponente, die durch Komposition der Komponenten  $G_1, \dots, G_k$  entstehe.

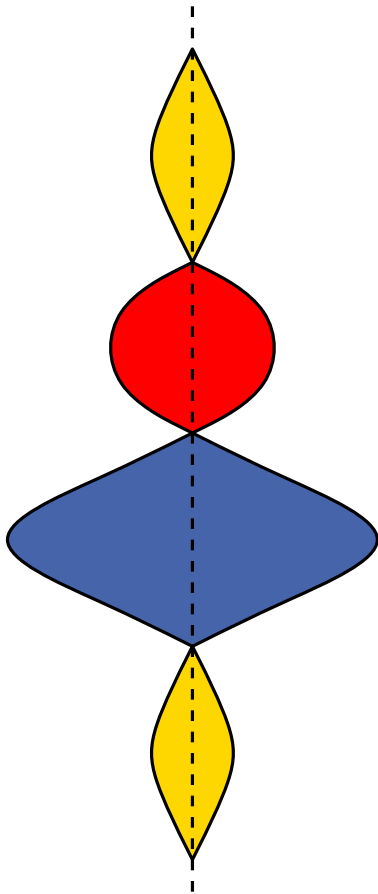
- Ist  $G$  ein S-Knoten, dann ist  $G$  vertikal symmetrisch, wenn alle  $G_1, \dots, G_k$  vertikal symmetrisch sind.
- Ist  $G$  ein P-Knoten, so betrachten wir die Klassen  $\mathcal{G}_j = \{G_i : 1 \leq i \leq k, c(G_i) = j\}$ ,  $j = 1, \dots, k$ , von isomorphen Teilgraphen.
  - $|\mathcal{G}_j|$  gerade  $\forall j \Rightarrow$  vertikal symmetrisch
  - $|\mathcal{G}_j|$  ungerade für genau ein  $j \Rightarrow G$  vertikal symmetrisch g.d.w. Graphen in  $\mathcal{G}_j$  vertikal symmetrisch

## Satz (Hong, Eades, Lee '00)

Gegeben sei der kanonische Dekompositionsbaum eines serienparallelen Graphen. Es sei  $G$  eine Komponente, die durch Komposition der Komponenten  $G_1, \dots, G_k$  entstehe.

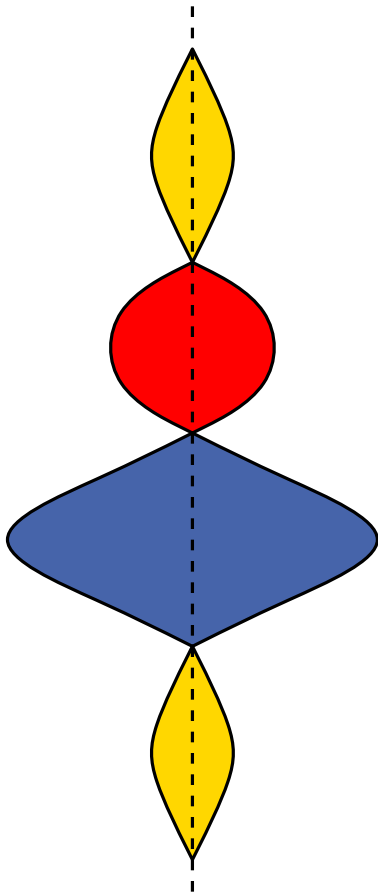
- Ist  $G$  ein S-Knoten, dann ist  $G$  vertikal symmetrisch, wenn alle  $G_1, \dots, G_k$  vertikal symmetrisch sind.
- Ist  $G$  ein P-Knoten, so betrachten wir die Klassen  $\mathcal{G}_j = \{G_i : 1 \leq i \leq k, c(G_i) = j\}$ ,  $j = 1, \dots, k$ , von isomorphen Teilgraphen.
  - $|\mathcal{G}_j|$  gerade  $\forall j \Rightarrow$  vertikal symmetrisch
  - $|\mathcal{G}_j|$  ungerade für genau ein  $j \Rightarrow G$  vertikal symmetrisch g.d.w. Graphen in  $\mathcal{G}_j$  vertikal symmetrisch
  - $|\mathcal{G}_i|, |\mathcal{G}_j|$  ungerade für  $i \neq j \Rightarrow G$  nicht vertikal symmetrisch

# Beweisidee vertikale Symmetrie

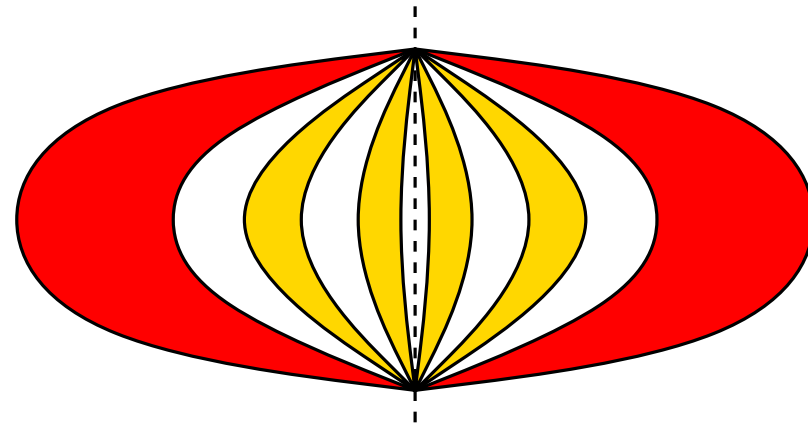


S-Knoten

# Beweisidee vertikale Symmetrie

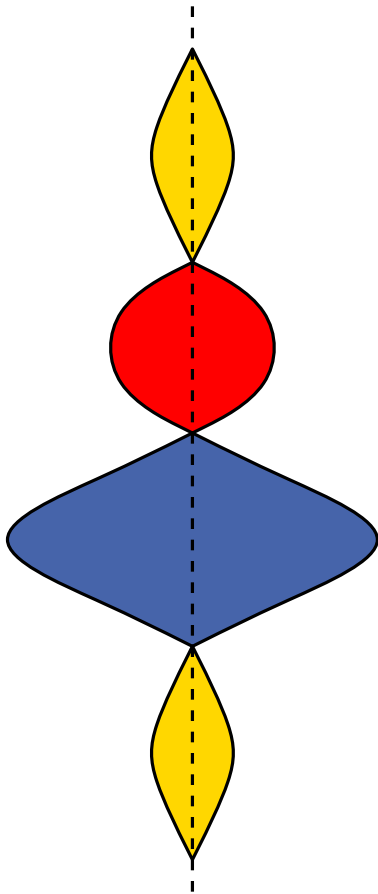


S-Knoten

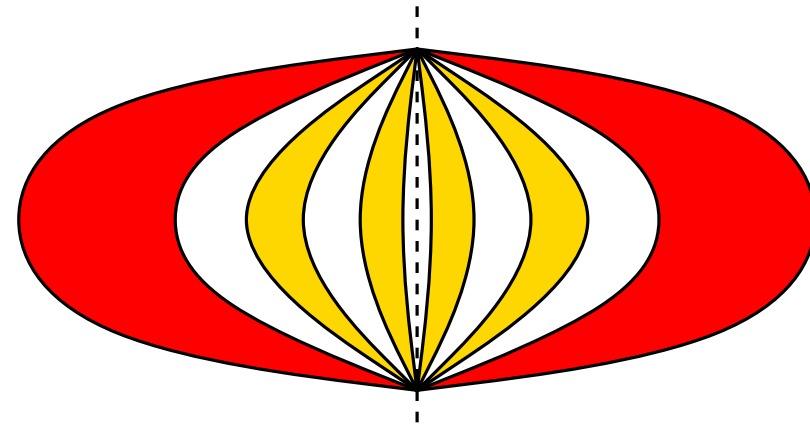


P-Knoten, alle Klassen gerade Anzahl

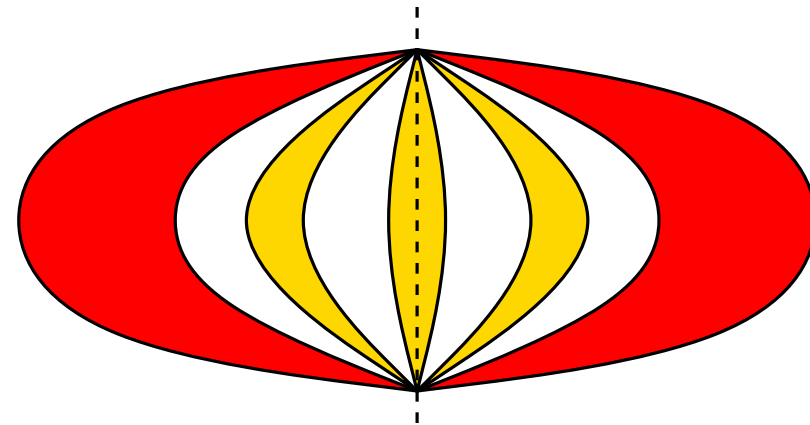
# Beweisidee vertikale Symmetrie



S-Knoten  
alle Knoten v-symm.

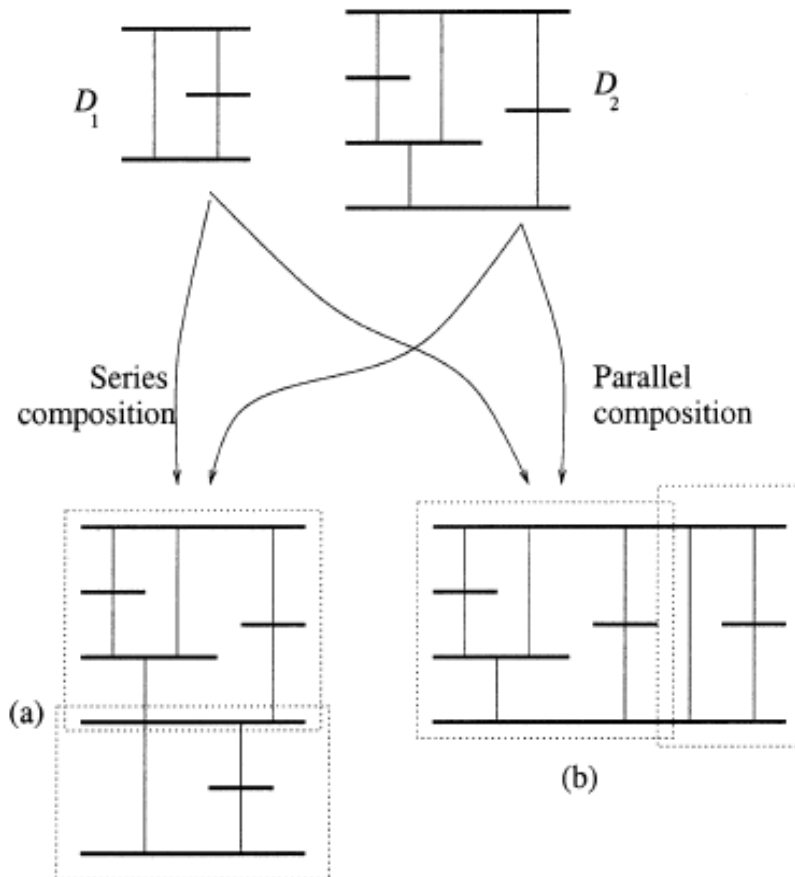


P-Knoten, alle Klassen gerade Anzahl



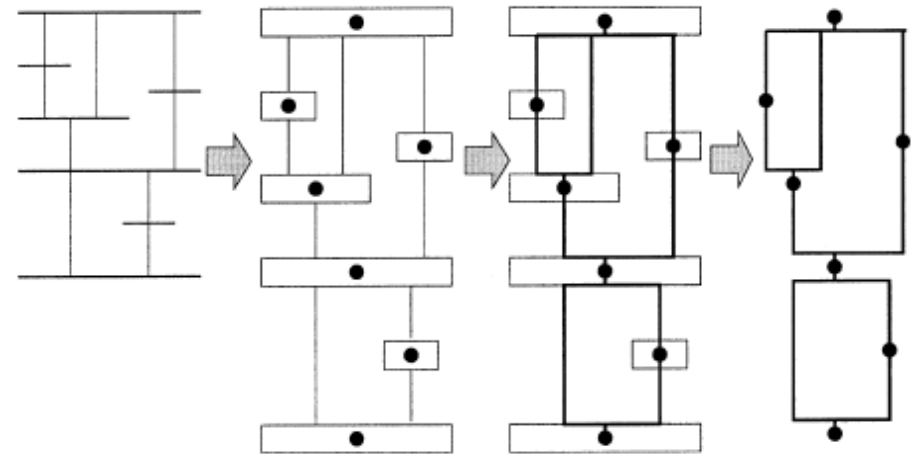
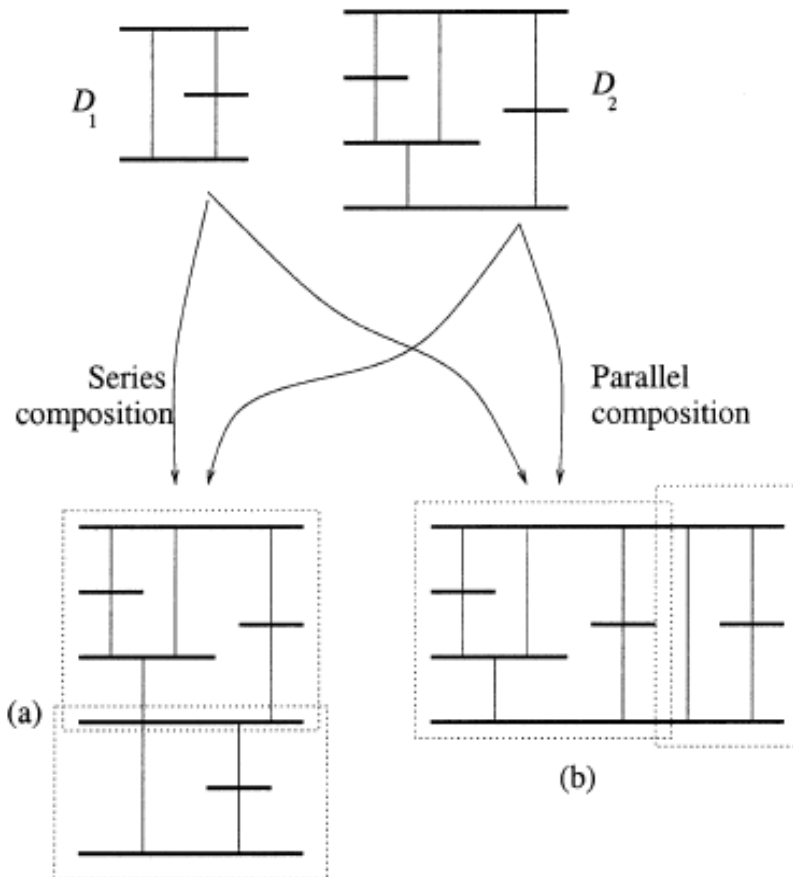
P-Knoten, eine Klasse ungerade Anzahl & v-symm.

# Symmetrien zeichnen



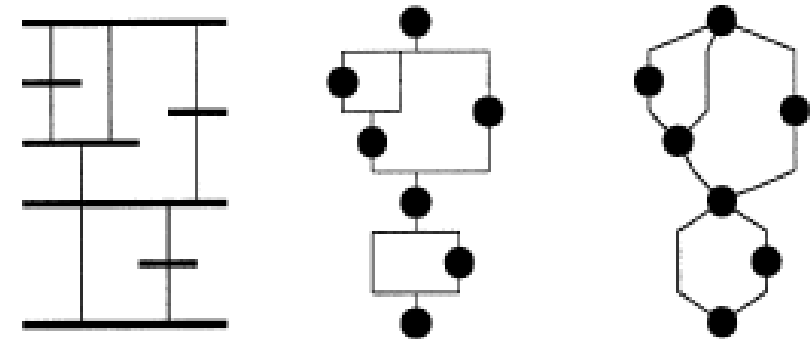
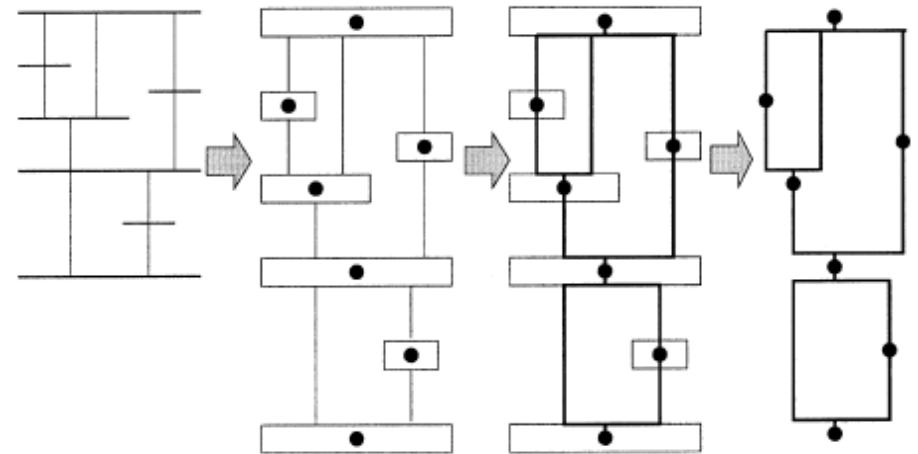
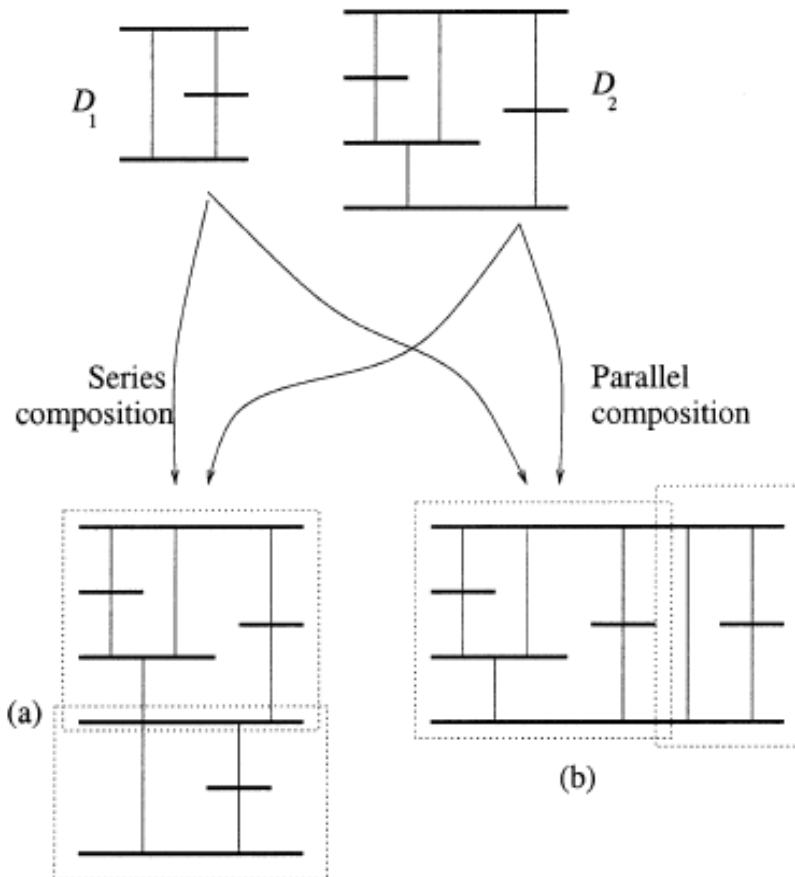
aus Hong, Eades, Lee '00

# Symmetrien zeichnen



aus Hong, Eades, Lee '00

# Symmetrien zeichnen



aus Hong, Eades, Lee '00